



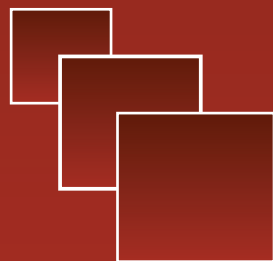
Вестник

Уральского
государственного
университета
путей сообщения

Научный журнал

Herald
of the Ural State University
of Railway Transport

Scientific journal



Научный журнал
«Вестник Уральского государственного
университета путей сообщения»
№ 4 (8), 2010 год

Главный редактор,
научный редактор
Василий Михайлович Сай

Литературный и выпускающий редактор
Людмила Станиславовна Барышникова

Техническое редактирование и верстка
Андрей Викторович Трубин

Дизайн обложки
Ольга Петровна Игнатьева

Переводчики
Елена Владимировна Ершова
Анна Викторовна Бочкарева

Учредитель и издатель:
Уральский государственный
университет путей сообщения
(УрГУПС)

Адрес для корреспонденции:
620034, Екатеринбург,
ул. Колмогорова, 66, УрГУПС,
редакция журнала
«Вестник УрГУПС»

Телефон редакции: (342) 367-41-11.
Веб-сайт: www.vestnik.usurt.ru;
e-mail: vestnik@usurt.ru.

Журнал издается по решению
ученого совета университета
©УрГУПС

Свидетельство о регистрации
средства массовой информации
Роскомнадзора ПИ № ФС77–38188
от 30 ноября 2009 г.

Отпечатано в издательстве
Уральского государственного
университета путей сообщения,
620034, Екатеринбург,
ул. Колмогорова, 66.

Подписано в печать 28.12.2010.

Тираж 300. 1-й з-д.: 1–100.
Формат 70×100/16.
Заказ № 917.

Scientific journal «Herald of the
Ural State University
of Railway Transport»
№ 4 (8), 2010

Editor-in-chief,
Science editor
Vasily M. Say

Script and copy editor
Lyudmila S. Baryshnikova

Technical editing and make-up
Andrey V. Trubin

Cover design
Olga P. Ignatjeva

Translators:
Elena V. Ershova
Anna V. Bochkareva

Founder and publisher:
The Ural State University
of Railway Transport
(USURT)

Correspondence address:
‘Herald of USURT’ editorial office
The Ural State University of
Railway Transport
66 Kolmogorov Street,
620034, Ekaterinburg,

Telephone: +7 (342) 367-41-11.
Web-site: www.vestnik.usurt.ru;
e-mail: vestnik@usurt.ru.

The journal is published by the decision of
University Academic Board
©USURT

Certificate of registration of mass media
by the Federal Service for Supervision
in the sphere of communications,
information technology and mass communications
(Roskomnadzor) PI № FS77–38188
of November 30, 2009.

Printed in the Publishing house
of the Ural State University of
Railway Transport
66 Kolmogorov Street,
620034, Ekaterinburg.

Passed for printing 28.12.2010.

Circulation 300. 1-й з-д.: 1–100.
Format 70×100/16.
Order № 917.

Международный редакционный совет

Кейт Бурнхам, профессор, Университет г. Ковентри, факультет машиностроения и вычислительной техники, Великобритания

Владимир Анциферов, д-р техн. наук, профессор академик РАН, Пермь, Россия

Петер Копачек, профессор, Венский технологический университет, Венский институт транспорта и робототехники, интеллектуальный транспорт и робототехника, Вена, Австрия

Владимир Цыганов, д-р техн. наук, профессор, Институт проблем управления Российской академии наук, Москва, Россия

Мареk Ситаж, профессор, Силезийский технический университет, транспортный факультет, кафедра «Железнодорожный транспорт», Польша

Клаус Беккер, профессор, Университет прикладных наук г. Кельна, Институт автомобильной техники, лаборатория NVH, Германия

Василий Сай, д-р техн. наук, профессор, Уральский государственный университет путей сообщения, Екатеринбург, Россия

Редколлегия

Вовк Алексей Александрович, д-р эконом. наук, профессор, МГУПС, Москва

Воскресенская Тамара Петровна, д-р тех. наук, профессор, СибГИУ, Новокузнецк

Воробьев Александр Алексеевич, д-р техн. наук, профессор, МГУПС, Москва

Ефимов Александр Васильевич, канд. техн. наук, профессор, УрГУПС, Екатеринбург

Корнилов Сергей Николаевич, д-р тех. наук, профессор, МГТУ, Магнитогорск

Нестеров Валерий Леонидович, д-р тех. наук, профессор, УрГУПС, Екатеринбург

Сапожников Валерий Владимирович, д-р техн. наук, профессор, С.-ПГУПС, Санкт-Петербург

Черемисин Василий Титович, д-р техн. наук, профессор, ОмГУПС, Омск

Щурин Константин Владимирович, д-р техн. наук, профессор, ОГУ, Оренбург

Тимофеева Галина Адольфовна, д-р ф.-м. наук, профессор, УрГУПС, Екатеринбург

International editorial board

Keith Burnham, professor, Coventry University, Faculty of Engineering and Computing, Great Britain

Vladimir Antsiferov, DSc, professor, academician of Russian Academy of Sciences, Perm, Russia

Peter Kopachek, professor, Vienna University of Technology, Vienna Institute Of Transportation and Robotics, Intelligent Transportation and Robotics, Vienna, Austria

Vladimir Tsyganov, DSc, professor, Russian Academy of Sciences, Institute of Control Sciences, Moscow, Russia

Marek Sitarz, professor, Silesian University of Technology, Faculty of Transport Railway Engineering Department, Poland

Klaus Becker, professor, Cologne University of Applied Science, Institute of Automotive Engineering, NVH Laboratory, Germany

Vasily Say, DSc, professor, The Ural State University of Railway Transport, Ekaterinburg, Russia

Editorial board

Efimov Alexander Vasilievich, DSc, professor, The Ural State University of Railway Transport, Ekaterinburg

Timofeeva Galina Adolfovna, DSc, professor, The Ural State University of Railway Transport, Ekaterinburg

Nesterov Valery Leonidovich, DSc, professor, The Ural State University of Railway Transport, Ekaterinburg

Vovk Alexei Aleksandrovich, DSc, professor, Moscow State University of Railway Transport, Moscow

Vorobiev Alexander Alexeevich, DSc, professor, Moscow State University of Railway Transport, Moscow

Sapozhnikov Valery Vladimirovich, DSc, professor, Saint-Petersburg State University of Railway Transport, Saint-Petersburg

Cheremisin Vasily Titovich, DSc, professor, Omsk State University of Railway Transport, Omsk

Voskresenskaya Tamara Petrovna, DSc, professor, Siberian State Industrial University, Novokuznetsk

Kornilov Sergey Nikolaevich, DSc, professor, Magnitogorsk State Technical University, Magnitogorsk

Shchurin Konstantin Vladimirovich, DSc, professor, Orenburg State University, Orenburg

Содержание

МАТЕМАТИЧЕСКИЕ МОДЕЛИ ТЕХНОЛОГИЧЕСКИХ ПРОЦЕССОВ

- 4 С. А. Румянцев, О. Н. Алексеева. Динамика двухмассных вибротранспортирующих машин с самосинхронизирующимися вибровозбудителями на нижней массе
- 11 С. Герман-Галкин. Модельное исследование вторичного источника питания полупроводникового электропривода с рекуперацией энергии в сеть
- 17 В. Д. Шевеленко, К. В. Щурин. Повышение точности и быстродействия идентификации амплитудно-частотных характеристик каналов информационно-измерительных систем

МЕХАНИКА МАШИН И РОБОТОВ

- 23 Р. Я. Сулейманов, Е. В. Пуговкин. Противобоксовочная защита при импульсном автоматическом регулировании тягового привода
- 30 М. Г. Дурандин, И. А. Кузьминых. Расчет электрических полей в якорной изоляции тяговых электродвигателей локомотивов с учетом теплового фактора
- 38 И. А. Иванов, И. Г. Киселёв. Исследование термических процессов при индукционном нагреве железнодорожных колес

УПРАВЛЕНИЕ. ЭКОНОМИКА

- 46 М. Корнашевски, М. Хшан, В. Новаковски. ETCS как способ унификации систем управления железнодорожным движением в Польше и в Европе
- 55 М. Б. Петров. Некоторые проблемы территориального освоения и транспортного развития севера Урала и Западной Сибири

СТРОИТЕЛЬНЫЕ КОНСТРУКЦИИ

- 63 С. М. Скоробогатов, В. А. Хомяков, О. Н. Морданов, Е. С. Морданова. Классификация катастроф железобетонных конструкций

ИССЛЕДОВАНИЯ МОЛОДЫХ УЧЕНЫХ

- 72 Д. И. Югова. Моделирование продолжительности логистических цепей при организации контейнерных перевозок

82 ИНТЕЛЛЕКТУАЛЬНАЯ СОБСТВЕННОСТЬ

Contents

MATHEMATIC MODELS OF TECHNOLOGICAL PROCESSES

- 4 S. A. Rumyantsev, O. N. Alekseeva. Dynamics of two-mass vibro-transporting machines with autosynchronous vibroexciters on a lower mass
- 11 S. German-Galkin. Model study of the secondary electric power source of a semiconductor drive with power recuperation
- 17 V. D. Shevelenko, K. V. Shchurin. Precision and velocity increase of spectral amplitudes identification of information-measuring systems' channels

MECHANICS OF MACHINES AND ROBOTS

- 23 R. Ya. Suleimanov, E. V. Pugovkin. Antiskid protection during impulsive automated regulation of traction drive
- 30 M. G. Durandin, I. A. Kuzminykh. The calculation of electric field in anchor isolation of locomotives' traction electric motors with the regard for thermal factor
- 38 I. A. Ivanov, I. G. Kiselyov. Investigation of thermal processes by the induction heat of railway wheels

MANAGEMENT. ECONOMICS

- 46 M. Kornaszewski, M. Chrzan, W. Nowakowski. ETCS as a method of systems' unification of controlling train movement in Poland and Europe
- 55 M. B. Petrov. Some problems of territories assimilation and transport development of northern Urals and Western Siberia

BUILDING STRUCTURES

- 63 S. M. Skorobogatov, V. A. Khomyakov, O. N. Mordanov, E. C. Mordanova. Classification of catastrophes of reinforced concrete structures

RESEARCH OF YOUNG SCIENTISTS

- 72 D. I. Yugova. Simulation of logistic chains duration at container shipment organization

82 INTELLECTUAL PROPERTY

МАТЕМАТИЧЕСКИЕ МОДЕЛИ ТЕХНОЛОГИЧЕСКИХ ПРОЦЕССОВ

С. А. Румянцев, О. Н. Алексеева

УДК 531:518

Динамика двухмассных вибротранспортирующих машин с самосинхронизирующимися вибровозбудителями на нижней массе

S. A. Rumyantsev, O. N. Alekseeva

UDC 531.518

Dynamics of two-mass vibro-transporting machines with autosynchronous vibroexciters on a lower mass

Аннотация

Статья посвящена исследованию динамики нового перспективного типа вибротранспортирующих машин (ВТМ) — двухмассных машин с двумя самосинхронизирующимися вибровозбудителями на нижней массе. Исследование осуществлялось методом математического моделирования пусковой и ударной динамики этих машин. Наибольший интерес представлял случай частичного резонанса верхней массы (резонанса по одному из направлений вибрации). Результаты численного моделирования представлены в удобном для восприятия графическом виде.

Рассмотренный в статье пример иллюстрирует возможность использования во благо явление резонанса, которое в большинстве случаев оказывается нежелательным и даже опасным. Использование резонанса позволяет ограничиться небольшой амплитудой вибрации нижней массы, что может привести к существенной экономии электроэнергии за счет снижения мощности приводных электродвигателей.

Ключевые слова:

вибрация, вибротранспортирующие машины, нелинейная динамика, дифференциальные уравнения движения, математическая модель, резонанс.

Abstract

The article is devoted to the dynamics investigation of new perspective type of vibro-transporting machines — two-mass machines with two auto synchronous vibroexciters on a lower mass. The research was carried out through the method of mathematical modeling of these machines' starting and shock dynamics. The case of partial resonance of upper mass (resonance by one of vibration direction) was of great interest. The results of numerical simulation are presented in an easy for perception graphic format.

The example studied in the article illustrates the possibility to use resonance for the good, which in most cases is undesirable and even dangerous. Use of resonance allows to limit by small amplitude of lower mass vibration, which can lead to electric power saving at the expense of drive motor power loss.

Key words:

vibration, vibro-transporting machines, nonlinear dynamics, differential equations of motion, mathematical model, resonance.

Сергей Алексеевич Румянцев — д-р техн. наук; заведующий кафедрой «Механика деформируемого твердого тела, основания и фундаменты» Уральского государственного университета путей сообщения, Екатеринбург, Россия. SRumyantsev@math.usurt.ru.

Ольга Николаевна Алексеева — аспирант; кафедра «Механика деформируемого твердого тела, основания и фундаменты» Уральского государственного университета путей сообщения, Екатеринбург, Россия.

Исследования поддержаны грантом РФФИ № 08-08-00127 а.

Sergey Alekseyevich Rumyantsev — DSc, Head of the department «Mechanics of deformable rigid body and foundations» of the Ural State University of Railway Transport; Ekaterinburg, Russia. SRumyantsev@math.usurt.ru.

Olga Nikolaevna Alekseeva — postgraduate student; department «Mechanics of deformable rigid body and foundations» of the Ural State University of Railway Transport; Ekaterinburg, Russia.

The investigations are supported by the grant of RFFR (Russian Fund of Fundamental Research) № 08-08-00127 a.

Статья посвящена исследованию динамики нового перспективного типа вибротранспортирующих машин (ВТМ) — двухмассных машин с двумя самосинхронизирующимися вибровозбудителями на нижней массе. Вибротранспортирующие машины используются для транспортировки и разделения фракций (грохочения) сыпучих материалов. Исследование осуществлялось методом математического моделирования пусковой и ударной динамики этих машин. Наибольший интерес представлял случай частичного резонанса верхней массы (резонанса по одному из направлений вибрации).

В работах [1–4] описана математическая модель динамики двухмассных вибротранспортирующих машин (ДВТМ) двух типов — с расположением вибровозбудителей (ВВ) на верхней и нижней массе. Машины второго типа — с расположением ВВ на нижней массе (ДВТМ-2) — могут

работать не только в зарезонансной области, как большинство ВТМ [5–7], но также и в случае, когда верхняя масса входит в резонанс с вынуждающими колебаниями, передаваемыми через пружины от нижней массы.

Расчетная схема ДВТМ-2 в случае n дебалансных вибровозбудителей приведена на рис. 1 (показан только один ВВ, обозначенный индексом i). Движение рассматривается в абсолютной системе координат Oxy , связанной с фундаментом машины. Ось Oy вертикальна (параллельна силе тяжести), ось Ox горизонтальна.

В работе [3] получена система дифференциальных уравнений движения двухмассной вибротранспортирующей машины с независимо вращающимися вибровозбудителями на нижней массе:

$$\ddot{x}_1 = \frac{1}{M_1} \begin{bmatrix} -c_{11x}(x_1 - x_2) - c_{11x\theta}\dot{\theta}_1 + c_{12x\theta}\dot{\theta}_2 - \\ -k_{11x}(\dot{x}_1 - \dot{x}_2) - k_{11x\theta}\dot{\theta}_1 + k_{12x\theta}\dot{\theta}_2 \end{bmatrix};$$

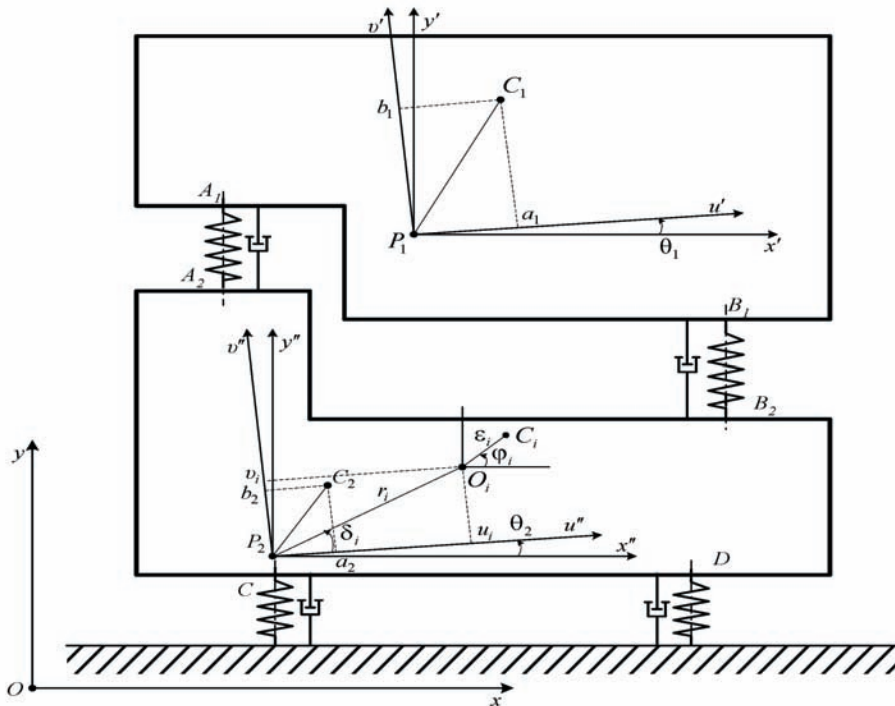


Рис. 1. Расчетная схема двухмассной ВТМ с вибровозбудителями на нижней массе

$$\begin{aligned}
\ddot{y}_1 &= \frac{1}{M_1} \begin{bmatrix} -c_{11y}(y_1 - y_2) + c_{11y\theta}\theta_1 - \\ -c_{12y\theta}\theta_2 - k_{11y}(\dot{y}_1 - \dot{y}_2) + \\ + k_{11y\theta}\dot{\theta}_1 - k_{12y\theta}\dot{\theta}_2 - F_{уд.} \end{bmatrix}; \\
\ddot{\theta}_1 &= \frac{1}{J_1} \begin{bmatrix} -c_{11x\theta}(x_1 - x_2) - c_{11y\theta}(y_2 - y_1) - \\ -c_{11\theta}\theta_1 + c_{12\theta}\theta_2 - k_{11x\theta}(\dot{x}_1 - \dot{x}_2) - \\ -k_{11y\theta}(\dot{y}_2 - \dot{y}_1) - k_{11\theta}\dot{\theta}_1 + \\ + k_{12\theta}\dot{\theta}_2 + F_{уд.} l_{уд.} \end{bmatrix}; \\
\ddot{x}_2 &= \frac{1}{M_2} \begin{bmatrix} \sum m_i \varepsilon_i (\ddot{\varphi}_i \sin \varphi_i + \dot{\varphi}_i^2 \cos \varphi_i) - \\ -c_{22x}x_2 + c_{11x}x_1 + c_{11x\theta}\theta_1 - \\ -c_{22x\theta}\theta_2 - k_{22x}\dot{x}_2 + k_{11x}\dot{x}_1 + \\ + k_{11x\theta}\dot{\theta}_1 - k_{22x\theta}\dot{\theta}_2 \end{bmatrix}; \\
\ddot{y}_2 &= \frac{1}{M_2} \begin{bmatrix} \sum m_i \varepsilon_i (\ddot{\varphi}_i^2 \sin \varphi_i - \ddot{\varphi}_i \cos \varphi_i) - \\ -c_{22y}y_2 + c_{11y}y_1 - c_{11y\theta}\theta_1 + \\ + c_{22y\theta}\theta_2 - k_{22y}\dot{y}_2 + k_{11y}\dot{y}_1 - \\ -k_{11y\theta}\dot{\theta}_1 + k_{22y\theta}\dot{\theta}_2 \end{bmatrix}; \\
\ddot{\theta}_2 &= \frac{1}{J_2} \begin{bmatrix} \sum m_i \varepsilon_i r_i (\ddot{\varphi}_i^2 \sin(\varphi_i - \alpha_i) - \\ -\ddot{\varphi}_i \cos(\varphi_i - \alpha_i)) - \\ -c_{22x\theta}x_2 + c_{12x\theta}x_1 + c_{22y\theta}y_2 - \\ -c_{12y\theta}y_1 + c_{12\theta}\theta_1 - c_{22\theta}\theta_2 - \\ -k_{22x\theta}\dot{x}_2 + k_{12x\theta}\dot{x}_1 + k_{22y\theta}\dot{y}_2 - \\ -k_{12y\theta}\dot{y}_1 + k_{12\theta}\dot{\theta}_1 - k_{22\theta}\dot{\theta}_2 \end{bmatrix}; \\
\ddot{\varphi}_i &= \frac{1}{J_i^*} m_i \varepsilon_i \begin{bmatrix} \ddot{x}_2 \sin \varphi_i - \ddot{y}_2 \cos \varphi_i - \\ -g \cos \varphi_i - \ddot{\theta}_2 r_i \cos(\varphi_i - \alpha_i) - \\ -\ddot{\theta}_2^2 r_i \sin(\varphi_i - \alpha_i) \end{bmatrix} + \\
&+ \frac{I_i}{J_i^*} [L_i(\dot{\varphi}_i) - R_i(\dot{\varphi}_i, \varphi_i)], \quad (i = 1 \dots n).
\end{aligned}$$

Здесь использованы следующие обозначения:

$$\begin{aligned}
M_2 &= M_2^* + \sum_{i=1}^n m_i; \\
J_1 &= M_1 (a_1^2 + b_1^2) + J_{C1}; \\
J_2 &= M_2^* (a_2^2 + b_2^2) + J_{C2} + \sum m_i r_i^2; \\
J_i^* &= J_{Ci} + \sum_{i=1}^n m_i \varepsilon_i^2, \quad (2)
\end{aligned}$$

где M_1 — масса основного тела ДВТМ; M_2^* — масса вспомогательного тела; J_{C1} , J_{C2} — их моменты инерции относительно осей, проходящих через центры масс каждого из тел, перпендикулярно плоскости Oxy ; m_i и J_{Ci} — масса i -го дебаланса и центральный момент инерции его ротора соответственно; $\alpha_i = \delta_i + \theta_2$; n — количество дебалансных вибровозбудителей, где $l_{уд.} = x_{C1} - x_{уд.}$ — плечо силы $F_{уд.}$ относительно центра масс; c — коэффициенты упругости пружин; k — коэффициенты вязкости.

Величина I_i , входящая в выражение (1), является индексом направления вращения и принимает значение (+1), если вращение i -го двигателя происходит в положительном направлении (против хода часовой стрелки), и значение (–1), если вращение происходит в обратном направлении. Вращательный момент $L_i(\dot{\varphi}_i)$ и момент сил сопротивления $R_i(\dot{\varphi}_i)$ считаются функциями угловой скорости; x_1 и x_2 — горизонтальные колебания центра масс РО и ДТ; y_1 и y_2 — вертикальные колебания центра масс РО и ДТ; θ_1 и θ_2 — углы поворота РО и ДТ по отношению к неподвижной оси Ox ; φ_i — углы поворота центров масс дебалансов по отношению к неподвижной оси Ox . Все углы отсчитываются против хода часовой стрелки.

Математическая модель динамики ДВТМ-2 реализована в виде программного комплекса, позволяющего варьировать геометрические и физические параметры моделируемой ДВТМ-2 и численно решать систему дифференциальных уравнений движения машины. Полученные решения представляются в виде графиков зависимости обобщенных координат от времени. Примеры таких зависимостей приведены на рис. 2, 3.

На рис. 2 показаны графики изменения обобщенных координат машины в течение первых двадцати секунд после пуска. Графики демонстрируют динамику прохождения резонан-

са и выхода машины на синхронный режим движения.

По горизонтальной оси откладывается время (отрезок от начала координат до окончания графиков соответствует двадцати секундам). Верхний график показывает движение РО

вибромашины, а нижний — движение ДТ и вибровозбудителей. Выпрямление темно-серой линии на нижнем графике показывает момент наступления самосинхронизации вибровозбудителей. Их дальнейшее вращение синхронно.

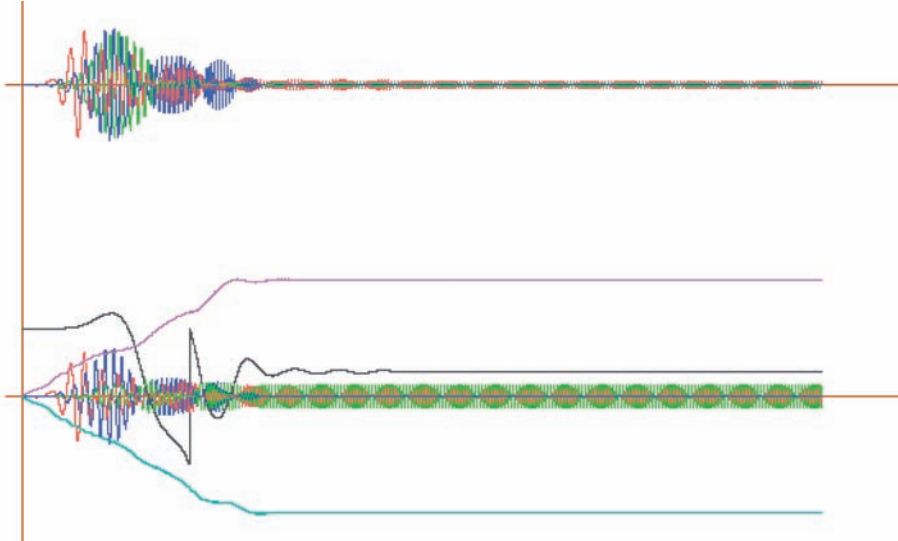


Рис. 2. Пусковая динамика ДВТМ-2

зеленая линия — горизонтальные колебания центра масс РО и ДТ (x_1 и x_2); красная — вертикальные колебания центра масс РО и ДТ (y_1 и y_2); синяя — угол поворота РО и ДТ относительно начального положения (θ_1 и θ_2); малиновая — угловая скорость вращения первого ВВ ω_1 ; светло-голубая — угловая скорость вращения второго ВВ ω_2 ; темно-серая — суммарная фаза ВВ (разность фаз)

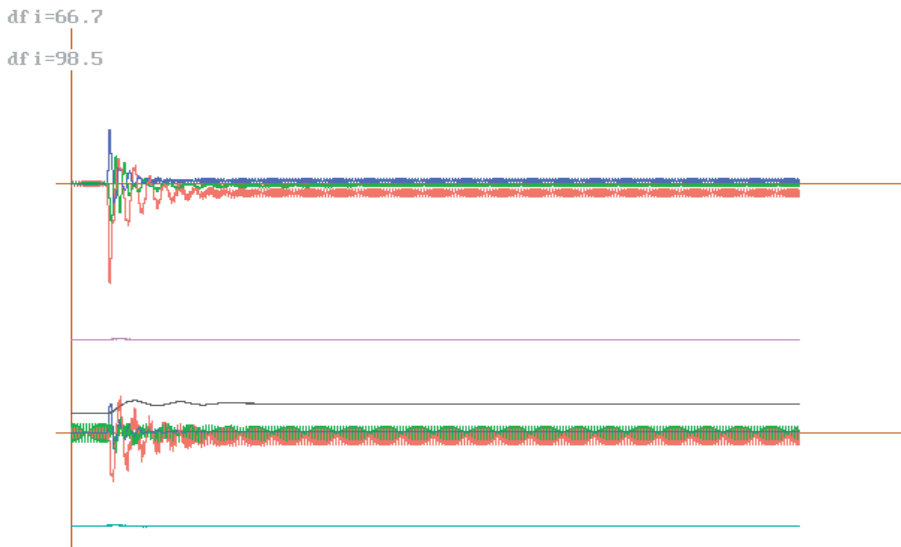


Рис. 3. Динамика ДВТМ-2 после падения на РО значительной массы

На рис. 3 показана динамика ДВТМ-2 после падения на РО машины (верхнее тело) массы, равной трети массы РО. Суммарная фаза ВВ (темно-серая линия) при ударе испытывает возмущение. Связанные с этим возмущением колебания угловой скорости на графиках почти не различимы, но вызванные ими колебания суммарной фазы ВВ заметны хорошо. После более или менее продолжительного переходного процесса движение ВВ снова становится синхронным, причем величина суммарной фазы стабилизируется на новом значении.

Динамика, иллюстрируемая рис. 2–3, характерна для случая «мягких» пружин как в основании машины, так и между верхней и нижней массами. В этом случае собственные частоты колебаний верхней и нижней масс намного меньше частоты вынуждающих колебаний. Сказанное справедливо с учетом того, что жесткости пружин в осевом направлении обычно превосходят их жесткости в поперечном направлении приблизительно в два раза.

Мягкость промежуточных пружин приводит к тому, что амплитуда вибрации верхней массы намного меньше амплитуды вибрации нижней. Между тем, в машинах этого типа именно верхняя масса является рабочим органом, осуществляющим грохочение (разделение фракций сыпучих материалов).

Гораздо больший интерес представляла бы собой машина, у которой нижняя масса совершает вибрации с меньшей амплитудой, чем верхняя. Еще больший интерес может представлять машина, обе массы которой совершают незначительные колебания, пока она не нагружена сыпучим материалом, но после нагружения верхняя масса входит в резонанс и амплитуда ее вибрации возрастает.

Авторам удалось подобрать такие параметры машины, при которых реализуется упомянутый выше тип ди-

намики (рис. 4, 5). Промежуточные пружины между верхней и нижней массами в этом случае намного жестче нижних пружин (см. рис. 1).

На рис. 4 показана динамика такой машины в первые 20 с после пуска. Здесь верхняя масса вибрирует с большей амплитудой, чем нижняя. Для возбуждения таких небольших колебаний нижней массы можно использовать двигатели гораздо меньшей мощности, чем в машинах, динамика которых показана на рис. 2, 3.

На рис. 5 показана динамика этой же машины после того как на ее верхний рабочий орган помещена (без падения с высоты, как в первом случае) дополнительная масса (разделяемая и транспортируемая порода).

Суммарная масса верхнего тела теперь увеличилась, и поперечная жесткость промежуточных пружин стала «резонансной», то есть частота собственных колебаний верхнего тела (вместе с присоединенной массой) стала совпадать с частотой вынуждающих колебаний, передаваемых от нижней массы.

Амплитуда горизонтальных колебаний верхнего тела (зеленая линия) значительно увеличилась за счет явления резонанса (рис. 5). При этом амплитуды горизонтальных и вертикальных колебаний нижнего тела, равно как и амплитуда вертикальных колебаний верхнего тела, остались без изменений.

Очевидно, что можно подобрать такую жесткость промежуточных пружин, при которой увеличится амплитуда вертикальных колебаний (без увеличения амплитуды горизонтальных). Но затруднительно получить резонанс одновременно в вертикальном и горизонтальном направлениях. Впрочем, ценой некоторого изменения конструкции ВТМ можно достичь и этого.

Выводы

Рассмотренный в статье второй пример показывает, как можно использо-



Рис. 4

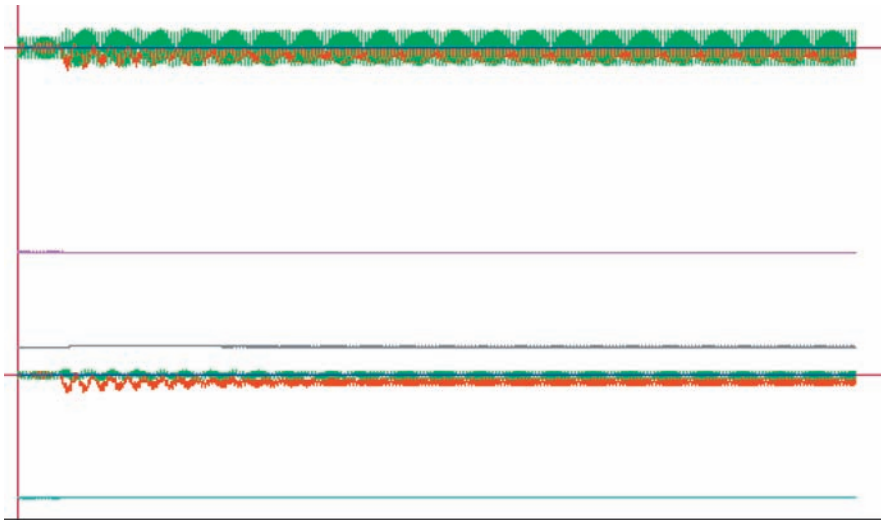


Рис. 5

вать во благо явление резонанса, которое в большинстве случаев оказывается нежелательным и даже опасным.

Использование резонанса позволяет ограничиться небольшой ам-

плитудой вибрации нижней массы, что может привести к существенной экономии электроэнергии за счет снижения мощности приводных электродвигателей. ■

Литература

1. Васильева Г. В., Румянцев С. А. Математическое моделирование нестационарной динамики двухмассной вибротранспортирующей машины // Транспорт Урала, 2006, № 4 (11). — С. 29–32. ISSN 1815–9400.
2. Васильева Г. В., Румянцев С. А. Математическая модель двухмассной вибрационной машины // Изв. вузов. Горный журнал, 2007, № 4. — С. 73–79. ISSN 0536–1028.

3. Васильева Г.В., Румянцев С.А. Математическая модель динамики двухмассной вибротранспортирующей машины с вибровозбудителями на нижней массе // Транспорт Урала, 2008, № 1 (16). — С. 33–35. ISSN 1815–9400.

4. Румянцев С.А., Васильева Г.В., Алексеева О.Н. Численное моделирование динамики двухмассных вибротранспортирующих машин с расположением вибровозбудителей на нижней массе // Вестник Уральского государственного университета путей сообщения, 2009, № 3–4. — С. 87–91. ISSN 2079–0392.

5. Вибрации в технике: Справочник. В 6-ти т. / Ред. совет: В.Н. Челомей (пред.). — М. : Машиностроение, 1981, Т. 4. Вибрационные процессы и машины / Под ред. Э.Э. Лавендела. 1981. 509 с.

6. Блехман И.И. Синхронизация динамических систем. М. : Наука, 1971. — 654 с.

7. Румянцев С.А. Моделирование динамики переходных процессов самосинхронизирующихся вибрационных машин // Изв. вузов: Горный журнал, 2003, № 6. — С. 111–118. ISSN 0536–1028.

References

1. Vasilieva G.V., Rumyantsev S.A. Mathematical simulation of nonstationary dynamics of two mass vibro transporting machines // Transport of the Urals, 2006, № 4 (11). — P. 29–32. ISSN 1815–9400.

2. Vasilieva G.V., Rumyantsev S.A. Mathematical model of two mass vibro transporting machines // Proceedings of the Universities. Mining journal, 2007, № 4. — P. 73–79. ISSN 0536–1028.

3. Vasilieva G.V., Rumyantsev S.A. Mathematical model of two mass vibro transporting machines model with the vibration exciters on the low mass // Transport of the Urals, 2008, № 1 (16). — P. 33–35. ISSN 1815–9400.

4. Rumyantsev S.A., Vasilieva G.V., Alekseeva O.N. Numerical simulation of two mass vibro transporting machines dynamics with the vibration exciters on the low mass // Herald of USURT, 2009, № 3–4. — P. 87–91. ISSN 2079–0392.

5. Vibrations in technics. Manual. In 6 volumes / Editorial board: V.N. Chelomey (chairman). — M. : Mechanical engineering, 1981, V.4. Vibration processes and machines / Edited by E. E. Lavendela. 1981. 509 p.

6. Blekhman I.I. Synchronization of dynamics' systems. M. : Nauka, 1971. — 654 p.

7. Rumyantsev S.A. Simulation of transient process dynamics of self-synchronizing vibration machines // Proceedings of the Universities: Mining journal, 2003, № 6. — P. 111–118. ISSN 0536–1028.

References (transliteration)

1. Vasilieva G.V., Rumyantsev S.A. Matematicheskoe modelirovanie nestatsionarnoj dinamiki dvukhmassnoj vibrotransportiruyushchej mashiny // Transport Urala, 2006, № 4 11. — S. 29–32. ISSN 1815–9400.

2. Vasilieva G.V., Rumyantsev S.A. Matematicheskaya model dvukhmassnoj vibratsionnoj mashiny // Izv. Vuzov. Gornyj zhurnal, 2007, № 4. — P. 73–79. ISSN 0536–1028.

3. Vasilieva G.V., Rumyantsev S.A. Matematicheskaya model dinamiki dvukhmassnoj vibrotransportiruyushchej mashiny s vibrovozbuditelyami na nizhnej masse // Transport Urala 2008, № 1 (16). — P. 33–35. ISSN 1815–9400.

4. Rumyantsev S.A., Vasilieva G.V., Alekseeva O.N. Chislennoe modelirovanie dinamiki dvukhmassnykh vibrotransportiruyushchikh mashin s raspolozheniem vibrovozbuditelej na nizhej masse // Vestnik Uralskogo Gosudarstvennogo Universiteta Putej Soobshcheniya, 2009 № 3–4. — S. 87–91. ISSN 2079–0392.

5. Vibratsii v tekhnike. Spravochnik. V 6-ti t. / Red. совет. V.N. Chelomey (pred.). — M. : Mashinostroyeniye, 1981, T. 4. Vibratsionnye protsessy i mashiny / Pod red. E. E. Lavendela. 1981. 509 s.

6. Blekhman I.I. Sinkhronizatsiya dinamicheskikh sistem. M. : Nauka, 1971. — 654 s.

7. Rumyantsev S.A. Modelirovanie dinamiki perehodnykh protsessov samosinkhroniziruyushchikhsya vibratsionnykh mashin // Izv. vuzov. Gornyj zhurnal, 2003, № 6. — S. 111–118. ISSN 0536–1028.

Статья сдана в редакцию 1 ноября 2010 г.

УДК 62.503.51, 62.503.54, 62.503.55

С. Герман-Галкин

Модельное исследование вторичного источника питания полупроводникового электропривода с рекуперацией энергии в сеть

UDC 62.503.51, 62.503.54, 62.503.55

S. German-Galkin

Model study of the secondary electric power source of a semiconductor drive with power recuperation

Abstract

In high-power systems of direct and alternating drive the task of mechanical energy recuperation into alternating current supply main.

The universal solution to provide all operating modes of a machine in the electric drive and improve systems' performance is realized through the use of a network inverter.

This inverter acts as a secondary source of electric power drive.

The main advantage of the network inverter in the electric drive system is its ability to recuperate energy in the ac network.

In this paper the issue of electromagnetic and energetic characteristics of the network inverter using a virtual model is investigated.

The virtual model of the secondary electric power source is developed in Matlab-Simulink environment. Using this model the investigation of transient and steady processes in the secondary electric power source is performed. This model can be used for scientific and industrial laboratories when developing power supplies with two-way coupling energy for electric power drive.

Key words:

secondary electric power source, electric power drive, modeling, design, electromagnetic characteristics, power characteristics, virtual model.

Introduction

It is shown in [1] that in a dc drive with a pulse-width converter and a rectifier with a capacitive filter energetic processes in the power supply depend on the structure and parameters of the closed electric drive.

In particular, in a single-loop electric drive, running in the generator mode, a mechanical energy of the shaft is stored in a filter capacitor, or scattered in a special electric circuit of energy dump.

Ac drive systems with a voltage inverter behave themselves in a similarly way.

In low power systems of (approximately up to 1000 W) the noted features do not usually lead to significant degradation of energy characteristics.

In the event of larger power systems the used of a rectifier in the power supply does not provide the generator mode of operation both with transient and a steady state modes.

A universal solution for all modes of in the electric drive and improvement of system performance is realized through the use of a network inverter.

The main advantage of the network inverter in the electric drive system is its ability to recuperate energy in the ac network.

Сергей Германович Герман-Галкин — д-р техн. наук, профессор; Институт инженеров по электротехнике и автоматизации Морского университета; Щецин, Польша. E-mail: ggsg@yandex.ru.

Sergey Germanovich German-Galkin — DSc, Professor, Institute of Electrical Engineering and Automation of Maritime University; Szczecin, Poland. E-mail: ggsg@yandex.ru.

**Design model of a subsystem
of the electric network — a secondary source
of power — power semiconductor
converter — an electric machine**

Design model of a subsystem, which includes a secondary power source and power converter with an electric vehicle, shown in Figure 1.

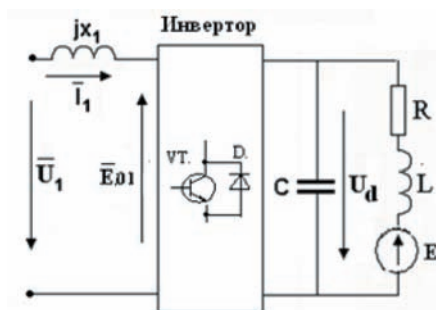


Fig. 1

In this scheme, power converter along with the machine is given to the link of the DC and replaced by a passive R, L load and a source of emf E .

Such a substitution is valid for systems with DC SHIP, and for ac systems with AIN. The output of SSEP always included a capacitor filter.

Load current is determined from equation

$$L \frac{di_H}{dt} + Ri_H = U_d - E(t). \quad (1)$$

If an electric machine included in the output of the converter is working in the motor mode, the voltage U_d capacitor filter exceeds the emf $E(t)$ and load current is positive, and the energy is directed from the network to the machine.

If an electric machine included in the output of the converter operates in generator mode, the emf $E(t)$ exceeds the voltage U_d at the filter capacitor, load current is negative, and the energy is directed away from the machine to the network.

Semiconductor converter in this case would create a path for the occurrence of negative load current to avoid voltage rise on the capacitor above the allowable.

The dynamics of the electric drive in equation (1) defines the behavior of emf $E(t)$.

However, for the energy characteristics are predominant in the steady-state processes.

In other words, if the steady-state conditions (motor or generator) power supply provides the energy transfer between the source of AC power and executive power machine, and in transient regimes of two-way transmission of electric energy will be provided and the voltage on the capacitor will not rise.

**Model study of the voltage
on the capacitor SSEP
in a electric drive**

The model, which allows to investigate the energy characteristics of the network inverter at a given stabilized voltage in the DC link and separate management of the projections of the current network I_x and I_y , presented in Figure 2 [2].

To network inverter is not consumed reactive power current along the axis $y(I_y)$ is set equal to zero.

Stabilization of the voltage on the capacitor is in a closed circuit.

Fig. 3 are quasi-stationary processes in the system when the output current varies according to the SSEP trapezoidal law.

In this case, the time interval, where the load current is constant, there is a steady-state behavior of the system (motor with a positive current, the generator — with a negative current).

At the time interval, where the current varies linearly, there is a transition mode of the system.

Thus, with a trapezoidal current in the load SSEP can investigate how transient and steady state of the system.

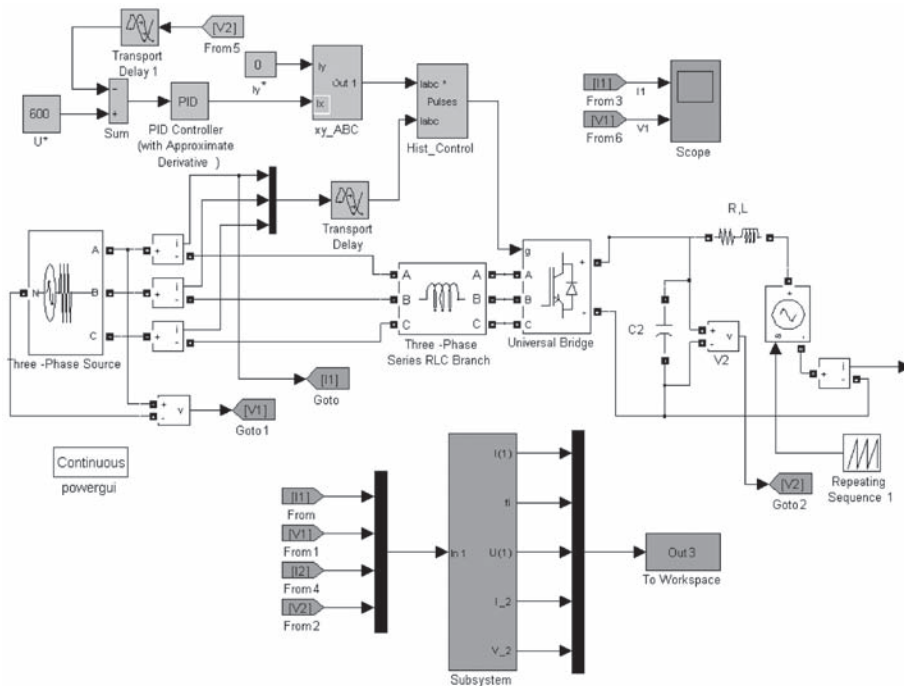


Fig. 2

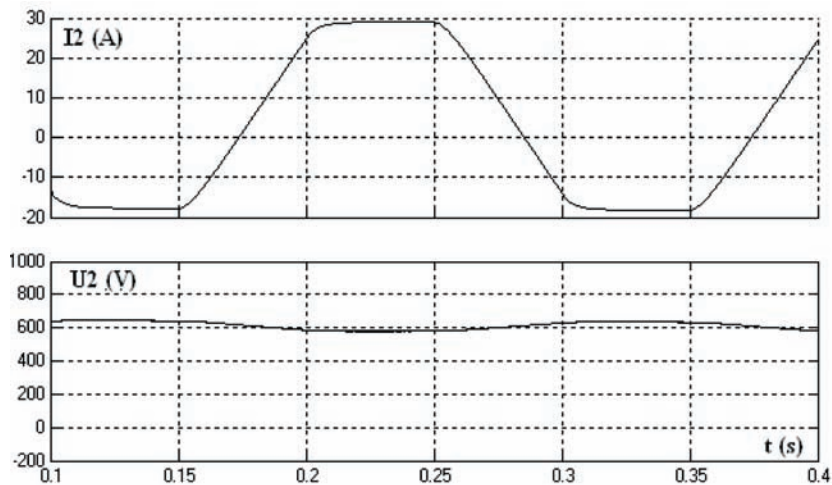


Fig. 3

The simulation results show that the voltage on the capacitor when considering the quasi-stationary modes of the system changes slightly.

To construct the basic characteristics of the steady state is the program that is placed in listing 1.

Electromagnetic characteristics in the steady state of the system shown in Figure 4.

For the electromagnetic characteristics in the whole range of load current in the SSEP model Repeating Sequence block is formed linearly changing signal.

The rate of change of this signal is chosen such that the component $L \frac{di_H}{dt}$ as compared with Ri_H the

equation (1) can be neglected, and this is achieved steady-state behavior of SSEP at various current loads.

This negative current corresponds to the generator mode of the system, and the positive current — motor.

Characteristics (Fig. 4) obtained on the model show that the current I_1 in the network increases with increasing load current in the motor and in generator mode, the electric system.

Energy consumption of the network or energy recovery in the network is determined by the current phase of the voltage.

In generator mode, the current phase of the voltage is 180 deg. And in the motor mode — 0 deg.

The external characteristics of SSEP, which is the dependence of the voltage at the output from current output, rather stiff when changing the current in the load (Fig. 4).

Energy characteristics of the system, obtained on the model presented in Figure 5.

Positive active power at the input and output of SSEP corresponds to the energy transfer from the network to the load (rectifier mode), negative — energy recovery mode in the network.

Power loss in the inverter is determined by the value of P_2 at $P_1 = 0$.

The current in the supply network and its spectrum are shown in Fig. 6.

Listing 1

```
I1=Out3(:,1);
I=I1./1.41;
fi=Out3(:,2);
Fi=pi/2-(fi.*pi/180);
V1=Out3(:,3);
I2=Out3(:,4);
V2=Out3(:,5);
S11=(1.5*V1.*I1);
Q11=S11.*sin(Fi);
P11=S11.*cos(Fi);
P2=V2.*I2;
subplot(2,1,1);
plot(I2,V2,I2,0);
grid on;
xlabel('I2 (A)');
ylabel('V2 (V)');
subplot(2,1,2);
plot(I2,I,I2,Fi);
grid on;
ylabel('I1(A), Fi(rad)');
xlabel('I2 (A)');
```

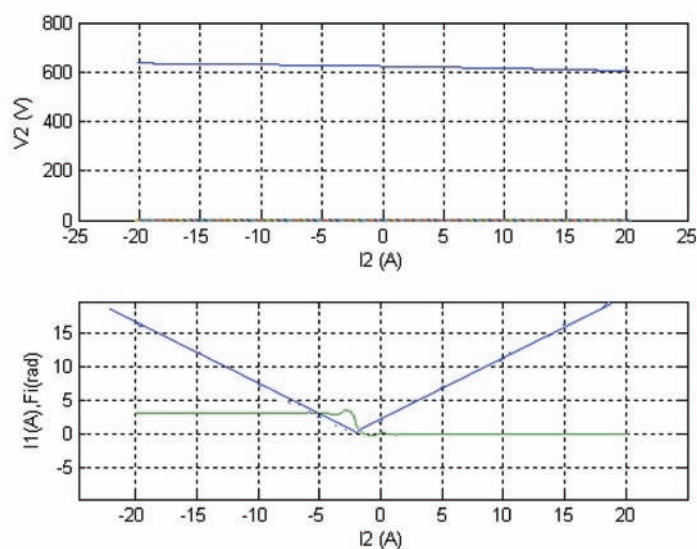


Fig. 4

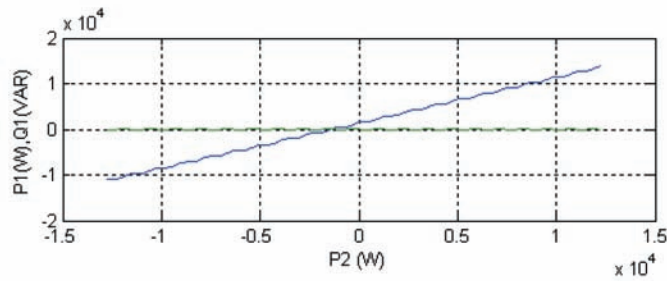


Fig. 5

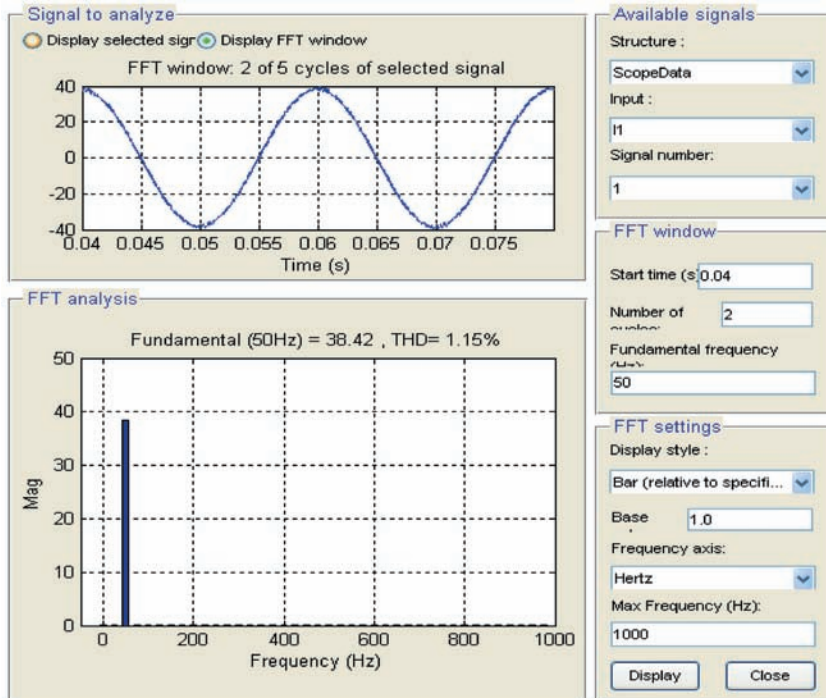


Fig. 6

Conclusion

The virtual model of the secondary power source is developed. This model can be used for scientific and industrial laboratories in the design of power supplies with two-way coupling energy for electric power drive. ■

Литература

1. Герман-Галкин С. Г., Гаврилов Р. С. Энергетические свойства моментного электропривода пространственной стабилизации опорно-поворотного устройства: м-лы Международ. конф. «Экстремальная мехатроника и робототехника», Дзубга, 2009.
2. Герман-Галкин С. Г. Matlab & Simulink. Проектирование мехатронных систем на ПК: учеб. пособ. для вузов. СПб : Корона-Век, 2008.
3. Зиновьев Г. С. Основы силовой электроники. Новосибирск, 2000.
4. Розанов Ю. К. Силовая электроника. М. : Изд. дом МЭИ, 2007.
5. Чехет Э., Соболев В., Полищук С. Современные тенденции построения 4-кварнтных преобразователей частоты для электропривода. Proc. Of the 3-rd Scient.

And Techn.Confer. Unconventional Elektromechanical and Elektrotechnical Systems. Alushta, 1997. Vol. 1.

6. Шрейнер Р. Т., Ефимов А. А. Активный фильтр как новый элемент энергосберегающих систем электропривода // Электричество, 2000, № 3.

7. Mohan N., Underland T., Robbins W. Power electronics. Converters, Applications and Design. New York, 1995.

References

1. German-Galkin S. G., Gavrilov R. S. Energetic characteristics of torque electric drive of spatial stabilization of a rotary support. The materials of International conference «Extreme mechatronics and robotics». Dzhubga, 2009.

2. German-Galkin S. G. Matlab & Simulink. Mechatronic systems computer design. Tutorial for educational institutions of higher education. SPb : Korona-Vek, 2008.

3. Zinovjev G. S. The fundamentals of power electronics. Novosibirsk, 2000.

4. Rozanov J. K. Power electronics. M.: Publishing MEI, 2007.

5. Chekhet E., Sobolev V., Polishchuk S. Modern design tendencies of quadruple frequency converter for an electric drive. Proc. Of the 3-rd Scient. And Techn.Confer. Unconventional Elektromechanical and Elektrotechnical Systems. Alushta, 1997. Vol. 1.

6. Shreiner R. T., Efimov A. A.: Active filter as a new element of electric drive energy saving systems. Electricity. 2000. № 3.

7. N. Mohan, T. Underland, W. Robbins.: Power electronics. Converters, Applications and Design. New York, 1995.

References (transliteration)

1. German-Galkin S. G. Gavrilov R. S. Energeticheskie svoystva momentnogo elektrop-rivoda prostranstvennoj stabilizatsii oporno-povorotnogo ustrojstva. Materialy mezhdun-aroednoj konferentsii «Ekstremalnaya mekhatronika i robototekhnika». Dzhubga 2009.

2. German-Galkin S. G. Matlab & Simulink. Proektirovanie mekhatronnykh sistem na PK. Uchebnoe posobie dlya vuzov. SPb: Korona-Vek, 2008.

3. Zinovjev G. S. Osnovy silovoj elektroniki. Novosibirsk, 2000.

4. Rozanov Yu. K. Silovaya elektronika. M. : Izd. dom MEI, 2007.

5. Chekhet E., Sobolev V., Polishchuk S. Sovremennye tendentsii postroeniya 4kh kvadrantnykh preobrazovatelej chastoty dlya elektrop-rivoda. Proc. of the 3rd Scient. and techn. confer. Unconventional elektromechanical and elektrotechnical systems. Alushta, 1997.

6. Shrejner R. T., Efimov A. A. Aktivnyj filtr kak novyj element energosberegayush-chikh sistem elektrop-rivoda. Elektrichestvo. 2000. № 3.

7. Mohan N., Underland T., Robbins W. Power electronics. Converters, Applications and Design. New York, 1995.

Статья сдана в редакцию 15 ноября 2010 г.

УДК 681.518

В. Д. Шевеленко, К. В. Щурин

Повышение точности и быстродействия идентификации амплитудно-частотных характеристик каналов информационно-измерительных систем

UDC 681.518

V. D. Shevelenko, K. V. Shchurin

Precision and velocity increase of spectral amplitudes identification of information-measuring systems' channels

Аннотация

Констатируется, что известные методы определения частотных характеристик каналов информационно-измерительных систем не обеспечивают получения амплитудно-частотных характеристик в неискаженном виде без проведения процедуры нормировки.

Показано, что только переход к параллельным измерительным процедурам ведет к сокращению времени идентификации и переводит аппаратуру в режим кратковременной неустойчивости, чем обеспечивается уменьшение погрешностей на один-два порядка.

На основе теории спектров синтезирована структура испытательного сигнала, представляющего равноамплитудный полином. Показана возможность воспроизведения испытательного сигнала в виде амплитудно-модулированного колебания с неизвестным ранее законом модуляции.

Показано, что изменения амплитуды колебаний несущей частоты воздействий долговременных дестабилизирующих факторов сопровождаются одновременным и одинаковым изменением амплитуды каждого члена испытательного сигнала, а потому его использование не требует процедуры нормировки при любом методе определения выходного эффекта.

При экспериментальной проверке возможности идентификации амплитудно-частотных характеристик эталонного и контролируемого каналов одновременным воздействием испытательного сигнала на их входы выходные сигналы каналов поступали на входы дифференциального усилителя осциллографа, что позволило обеспечить относительную приведенную погрешность порядка 10^{-3} и сократить время измерений до единиц минут для диапазона звуковых частот.

Ключевые слова:

структура испытательного сигнала; равноамплитудный полином; дестабилизирующие факторы; процедура нормировки; амплитудно-частотная характеристика; идентификация.

Abstract

There is determined that known methods of frequency characteristics detection of information measuring systems' channels don't provide the production of spectral amplitudes characteristics in undistorted state without the normalization.

It is shown that the transition to parallel measuring processes leads to identification time decrease and transfer the equipment to short-time instability mode that provides the decrease of errors to 1 or 2 degrees.

On the basis of spectrum theory there is synthesized the structure of test signal that is a uniform-linear polynomial. There is shown the possibility of test signal reproduction in the mode of amplitude-modulated signal with the unknown before modulation law.

It is shown that the oscillation amplitude changes of carrier frequency influence of long-term destabilizing factors are accompanied with the simultaneous and equal amplitude changes of test signal every member so its usage doesn't require the normalization with the help of any output effect detection method.

While experimental check the identification possibilities of reference and controlled channels amplitude-frequency characteristics with test signal simultaneous influence on their entrances so that channels' exit signals come to the entrances of oscillograph's differential amplifier that allowed to provide the relative error of 10^{-3} degree and decrease the measurement time to minutes' units for a range of acoustic frequency.

Key words: Structure of test signal, uniform-linear polynomial, destabilizing factors, normalization, amplitude-frequency characteristics, identification.

Владимир Дмитриевич Шевеленко — д-р тех. наук, профессор; кафедра промышленной электроники и информационно-измерительной техники Оренбургского государственного университета, Оренбург, Россия. Тел.: +7 (3532) 560725.

Константин Владимирович Щурин — д-р тех. наук, профессор; декан транспортного факультета Оренбургского государственного университета; Оренбург, Россия. E-mail: tteng@mail.ru.

Vladimir Dmitrievich Shevelenko — DSc, professor, Industrial electronics and data measuring equipment of Orenburg State University, Orenburg, Russia. Tel.: +7 (3532) 560725.

Konstantin Vladimirovich Shchurin — DSc, professor, dean of transport faculty of Orenburg State University, Orenburg, Russia. E-mail: tteng@mail.ru.

Известные методы определения амплитудно-частотных характеристик (АЧХ) четырехполюсников и каналов связи, заключающиеся в воздействии на входе сигналами сложного спектрального состава [1–3], не обеспечивают определения АЧХ в неискаженном виде без проведения процедуры нормировки. Поэтому определение структуры входного воздействия и характера преобразований для определения АЧХ в неискаженном виде без проведения процедуры нормировки с высокой точностью представляет значительный интерес [4].

Проведение идентификации АЧХ измерительных каналов реализацией ручных процедур (установка частоты и амплитуды гармонических колебаний, подаваемых на вход исследуемого четырехполюсника) с одновременным измерением амплитуды выходных колебаний четырехполюсника в десятках точек занимает временные интервалы, измеряемые часами.

В этом случае точность измерений определяется долговременной нестабильностью частоты и амплитуды гармонических колебаний

$$\frac{\Delta f}{f_0} \cong 10^{-3} - 10^{-4} \text{ для частоты и}$$

$$\frac{\Delta U_m}{U_m} = 10^{-3} \text{ — для амплитуды.}$$

При одновременном (параллельном) воздействии конечной суммы гармонических колебаний кратных частот для установления переходных процессов формирования структуры спектров испытательных сигналов требуется счетное число их периодов повторения. Так, для установления амплитуд гармоник испытательного сигнала вида

$$U_n(t) = \sum_{k=1}^M \cos k\omega t$$

с относительной погрешностью 1 % требуемое число периодов повторения составляет величину $L = 10^4$ и требует временного интервала

$$t_L = LT_0 = \frac{L}{f_0} = 1 \text{ с.}$$

Такие временные интервалы соответствуют понятию кратковременной нестабильности параметров колебаний генератора

$$\left(\frac{\Delta f}{f_0} \cong 10^{-5} - 10^{-7} \text{ и } \frac{\Delta U_m}{U_m} = 10^{-4} - 10^{-5} \right).$$

Поэтому выбор метода взаимодействия источника испытательного сигнала с исследуемым измерительным каналом (образцовым или контролируемым) существенным образом влияет на точность измерений ЧХ этого канала.

Необходимость в проведении нормировки отпадает только в одном случае: амплитуды всех частотных компонентов входного воздействия равны между собой, а частоты кратны. При таком воздействии в процессе нормировки амплитуды частотных компонентов выходного сигнала нужно будет делить на одну и ту же величину, чего можно не делать вообще.

Действительно, если имеется возможность синтезировать испытательный сигнал, представляющий сумму N гармонических колебаний равных амплитуд, с частотами, кратными основной частоте $f_0 = \omega_0 / 2\pi = 1 / T_0$, то N -я частичная сумма ряда Фурье в комплексной форме запишется как

$$U_{\text{вх.}N}(t) = \sum_{n=-N}^N C_n \exp(jn\omega_0 t), \quad (1)$$

$$\text{где } C_n = \frac{1}{T_0} \int_{-T_0/2}^{T_0/2} U_{\text{вх.}}(\tau) \exp(-jn\omega_0 \tau) d\tau. \quad (2)$$

При подстановке (2) в (1) получаем

$$U_{\text{вх.}N}(t) = \sum_{n=-N}^N \left[\frac{1}{T_0} \int_{-T_0/2}^{T_0/2} U_{\text{вх.}}(\tau) \exp(-jn\omega_0 \tau) d\tau \right] \times$$

$$\begin{aligned} & \times \exp(jn\omega_0\tau) = \frac{1}{T_0} \int_{-T_0/2}^{T_0/2} U_{\text{вх.}}(\tau) \times \\ & \times \left[\sum_{n=-N}^N \exp(jn\omega_0(t-\tau)) \right] d\tau = U_{\text{вх.},N}(t), \\ \text{но } \sum_{n=-N}^N e^{jnU} &= D_N(U) = \\ &= [\sin(N+1/2)U] / \sin(U/2), \end{aligned}$$

где $D_N(U)$ — N -е ядро Дирихле, что позволяет представить частичную сумму $U_{\text{вх.}}(t) = U_{\text{вх.}}(t)$ в интегральной форме, близкой по функциональному содержанию к интегралу Дюамеля:

$$\begin{aligned} U_{\text{вх.}}(t) &= \frac{1}{T_0} \int_{-T_0/2}^{T_0/2} U_{\text{вх.}}(\tau) D_N[\omega_0(t-\tau)] dt = \\ &= U_{\text{вх.}}(t). \end{aligned} \quad (3)$$

Однако существенное отличие интеграла Дирихле проявляется в частотной области. Действительно, для спектра выходного сигнала (3) имеем:

$$\begin{aligned} U_{\text{вх.},N}(jk\omega_0) &= \\ &= \frac{1}{T_0} \int_{-T_0/2}^{T_0/2} U_{\text{вх.},N}(t) \exp(-jk\omega_0 t) dt = \\ &= \frac{1}{T_0} \int_{-T_0/2}^{T_0/2} \exp(-jk\omega_0 t) \times \\ & \times \left[\frac{1}{T_0} \int_{-T_0/2}^{T_0/2} U_{\text{вх.}}(\tau) D_N[\omega_0(t-\tau)] d\tau \right] dt = \\ &= \frac{1}{T_0} \int_{-T_0/2}^{T_0/2} \exp(-jk\omega_0 \xi) D_N(\omega_0 \xi) d\xi \times \\ & \times \left[\frac{1}{T_0} \int_{-T_0/2}^{T_0/2} U_{\text{вх.}}(\tau) \exp(-jk\omega_0 \tau) d\tau \right] = \\ &= K(jk\omega_0) U_{\text{вх.}}(jk\omega_0), \end{aligned} \quad (4)$$

$$\begin{aligned} \text{где } U_{\text{вх.}}(jk\omega_0) &= \\ &= \frac{1}{T_0} \int_{-T_0/2}^{T_0/2} U_{\text{вх.}}(\tau) \exp(-jk\omega_0 \tau) d\tau — \end{aligned}$$

спектр периодически повторяемого испытательного сигнала;

$$K(jk\omega_0) = \frac{1}{T_0} \sum_{n=-N}^N \int_{-T_0/2}^{T_0/2} \exp[j(n-k)\omega_0 \xi] d\xi =$$

$$= \begin{cases} 1 & \text{для } n \in 1 \dots N \\ 0 & \text{для всех других } n - \text{частотный коэффициент передачи фильтра, реализующего (3).} \end{cases}$$

Технические возможности воспроизведения N -го ядра Дирихле определяется соотношением [5]

$$\begin{aligned} D_N(U) &= \frac{\sin\left(N + \frac{1}{2}\right)U}{\sin \frac{U}{2}} = \\ &= 1 + 2 \sum_{m=1}^N \cos mU, \end{aligned} \quad (5)$$

из которого следует, что для реализации правой части необходимо синхронизировать работу $2N$ генераторов гармонических колебаний кратных частот в процессе суммирования этих колебаний с равными амплитудами и строгими фазовыми соотношениями, а следовательно, необходимо стабилизировать амплитуды и фазы суммируемых колебаний, что является сложной технической проблемой. По этим же причинам необходимость поддерживать строгие связи между амплитудами и фазами первой и $(2N+1)$ -й гармоник периодически воспроизводимой функции $D_N(U)$ препятствует высокоточной реализации левой части (5).

Поиск разрешения противоречий приводит к необходимости анализа возможностей, содержащихся в (5).

В случае синтеза равноамплитудного полинома (5) имеем

$$\begin{aligned} a_{\text{вх.}}(t) &= A_m \sum_{k=1}^N \cos(k\omega_0 t + \varphi_0) = \\ &= \frac{A_m}{2} \left[\sum_{k=1}^N \exp[(jk\omega_0 t + \varphi_0)] + \sum_{k=1}^N \exp[(-jk\omega_0 t + \varphi_0)] \right] = \\ &= \frac{A_m}{2} \frac{\sin \frac{N\omega_0 t}{2}}{\sin \frac{\omega_0 t}{2}} \left[\exp\left[j\left(\frac{N+1}{2}\omega_0 t + \varphi_0\right)\right] + \exp\left[-j\left(\frac{N+1}{2}\omega_0 t + \varphi_0\right)\right] \right] = \\ &= A_m \frac{\sin \frac{N\omega_0 t}{2}}{\sin \frac{\omega_0 t}{2}} \cos\left(\frac{N+1}{2}\omega_0 t + \varphi_0\right) = \\ &= K(t) A_m \cos\left(\frac{N+1}{2}\omega_0 t + \varphi_0\right), \end{aligned} \quad (6)$$

откуда следует возможность воспроизведения равноамплитудного полинома амплитудно-модулированным колебанием, закон изменения огибающей которого запишется как

$$A(t) = A_m \frac{\sin \frac{N\omega_0 t}{2}}{\sin \frac{\omega_0 t}{2}}, \quad (7)$$

где A_m — амплитуда колебаний несущей частоты

$$\frac{N+1}{2} f_0.$$

Изменяя эту частоту, можно проводить настройку на соответствующую

(с номером $M = \frac{N+1}{2}$) гармонику ча-

стоты повторения испытательного сигнала.

Одновременно в (6) содержится информация о необходимости реализации параметрического преобразователя с системным оператором $K(t)$.

При синтезе устройства для воспроизведения амплитудно-модулированного колебания (6) главным требованием является поддержание жесткой связи между параметрами несущего колебания и модулирующего процесса. Это может быть обеспечено резистивной параметрической цепью, периодическое изменение коэффициента передачи $K(t)$ которой внутри интервала

$$t = 2T = \frac{4\pi}{\omega_0}$$

осуществляется переключением резисторов в моменты прохождения нулевых мгновенных значений колебаниями несущей частоты.

Формальную основу для реализации функционального преобразования

$$K(t) = \frac{\sin \frac{N\omega_0 t}{2}}{\sin \frac{\omega_0 t}{2}}$$

составляет известное положение теории операционных усилителей, охваченных отрицательной параллельной обратной связью. Согласно ему, коэффициент передачи по напряжению масштабного усилителя

$$K_U = -\frac{R_2}{R_1},$$

где R_1, R_2 — сопротивления, включенные между входным и выходным зажимами и суммирующей точкой соответственно [6].

Точность задания коэффициента передачи $K(t)$ масштабного преобразователя определяется стабильностью резисторного делителя, то есть достижимым технологическим уровнем долговременной стабильности резисторов. Это позволяет на порядок повысить точность воспроизведения равноамплитудных полиномов. Функцию $U_{\text{вых.}}(t)$ можно воспроизвести с помощью устройства, структурная схема которого приведена на рис. 1

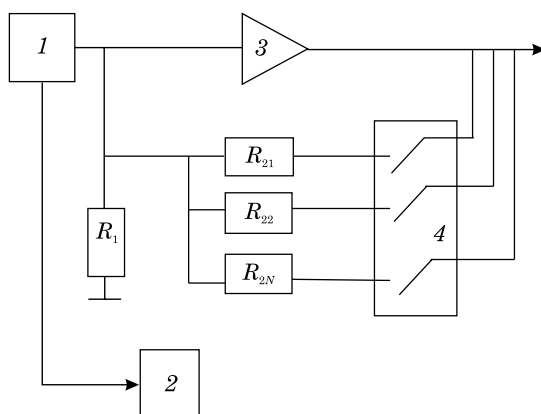


Рис. 1

1 — генератор гармонических колебаний несущей частоты; 2 — формирователь импульсов переключения резисторов R_2 ; 3 — операционный усилитель; 4 — переключатель резисторов R_2

Формирование ядра Дирихле изменением N в широких пределах позволяет осуществить воспроизводить равноамплитудные полиномы

$$a_{\text{вых.нч}}(t).$$

Действительно, формирование $D_{N_{\max}}(U)$ выбором $N = N_{\max}$ обеспечивает получение $a_{\text{вых.нч}}(t) = U_{\text{вх.}} N_{\max}(t)$ с ограниченным количеством членов, то есть воспроизведение низкочастотного равноамплитудного полинома. Формирование $U_{\text{вх.}N_{\min}}(t)$ при $N = N_{\min}$ дает возможность получить $a_{\text{вых.вч}}(t) = U_{\text{вх.}N_{\max}}(t) - U_{\text{вых.}N_{\min}}(t)$ с подавленной низкочастотной частью спектра.

Возможность управления структурой спектров равноамплитудных полиномов $a_{\text{вых.}}(t)$ путем одновременного изменения N и $N + 1$ позволяет использовать не N генераторов колебаний кратных частот, а всего лишь один с частотой колебаний

$$\omega_n = \frac{N+1}{2} f_0.$$

Для достижения высокой точности определения идентичности образцового и контролируемого измерительных каналов при одновременном воздействии на их входах испытательного сигнала

$$f_1(t) = \sum_{k=1}^N U_m \cos(k\omega_0 t + \varphi_0)$$

используется оценка в виде отношения спектра разности выходных сигналов названных каналов к спектру входного испытательного сигнала.

$$\begin{aligned} \frac{\delta \dot{U}_{m \text{ вых.}}(jk\omega_0)}{\dot{U}_{m \text{ вх.}}(jk\omega_0)} &= \\ &= \frac{\dot{U}_{m \text{ вых.обр.}}(jk\omega_0) - \dot{U}_{m \text{ вых.}K}(jk\omega_0)}{\dot{U}_{m \text{ вх.}}(jk\omega_0)} = \\ &= \dot{K}_{\text{обр.}}(jk\omega_0) - \dot{K}_K(jk\omega_0) = \delta \dot{K}_{\text{кон.}}(jk\omega_0). \end{aligned} \quad (8)$$

Так как амплитуды гармоник испытательного сигнала равны между собой

$$\dot{U}_{m1} = \dot{U}_{m2} \dots = \dot{U}_{mN},$$

а их фазы нарастают пропорционально номеру гармоники K , то для определения

$$\delta K_{\text{кон.}}(jk\omega_0)$$

достаточно знать

$$\delta U_{m \text{ вых.}}(jk\omega_0);$$

определение

$$|\delta K_{\text{кон.}}(jk\omega_0)|$$

сводится к делению амплитуды каждой гармоники разности выходных напряжений каналов на одно и то же число

$$|U_{m \text{ вх.}}(jk\omega_0)|,$$

а для определения разности фазочастотных характеристик из разности выходных напряжений каналов необходимо и достаточно вычесть входной испытательный сигнал, так как фазочастотная характеристика образцового канала предполагается идеальной — опорной в процедуре идентификации каналов.

Структурная схема контроля неидентичности частотных характеристик каналов приведена на рис. 2.

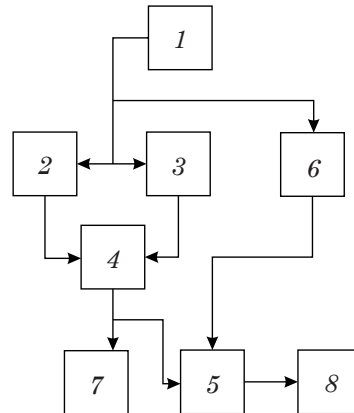


Рис. 2

1 — источник испытательного сигнала; 2 — образцовый канал; 3 — контролируемый канал; 4 — дифференциальный усилитель; 5 — дифференциальный усилитель; 6 — масштабный преобразователь; 7 — вольтметр; 8 — фазометр

Предложенная математическая модель испытательного сигнала позволяет организовать процедуру идентификации частотных характеристик каналов информационно-измерительных систем путем одновременного действия на входах каналов N гармонических колебаний кратных частот и равных амплитуд. Одновременное воздействие

на входах каналов N гармонических колебаний кратных частот и равных амплитуд имеет следствием исключение процедуры нормировки и перевод процедуры идентификации в область кратковременного проявления дестабилизирующих факторов, что уменьшает погрешность и время измерительного преобразования. ■

Литература

1. Патент РФ № 2012140, МКИ 5 H04 B3/46. Способ получения амплитудно-частотной характеристики четырехполюсников и каналов связи. Б.И. № 8, 1994.
2. А.с. РФ № 1712898, МКИ 5G01R 27/28. Способ определения частотных характеристик измерительных каналов информационно-измерительных систем. Б.И. № 6, 1992.
3. Харкевич А.А. Спектры и анализ. М. : Гос. изд-во физ.-мат. лит., 1962, С. 137–148.
4. Патент РФ 2200959 G01R23/16, H04J3/4, H04 B3/46. Б.И. № 8, 2003.
5. Двайт Г.Б. Таблицы интегралов и другие математические формулы. М. : Наука, 1973. С. 82.
6. Гутников В.С. Измерения, контроль, автоматизация // 1983, № 2, С. 3.

References

1. Patent RF № 2012140, MКИ 5 H04 B3/46. Sposob polucheniya amplitudno-chastotnoj kharakteristiki chetyrekhpolysnikov i kanalov svyazi. B.I. № 8, 1994.
2. A.s. RF № 1712898, MКИ 5G01R 27/28. Sposob opredeleniya chastotnykh kharakteristik izmeritelnykh kanalov informatsionno-izmeritelnykh sistem. B.I. № 6, 1992.
3. Kharkevich A.A. Spektry i analiz. M. : Gos. izd-vo fiz.-mat. lit, 1962, S.137–148.
4. Patent RF 2200959 G01R23/16 H04J3/4 H04B3/46. B.I. № 8, 2003.
5. Dvait G.B. Tablitsy integralov i drugie matematicheskie formuly. M. : Nauka, 1973. P. 82.
6. Gutnikov V.S. Izmereniya, control, avtomatizatsiya // 1983, № 2. S. 3.

References (transliteration)

1. Patent RF № 2012140, MКИ 5 H04 B3/46. The method of amplitude-frequency characteristic detection of four-terminal network and communication channels. B.I. № 8, 1994.
2. A.s. RF № 1712898, MКИ 5G01R 27/28. The method of amplitude-frequency characteristic detection of information-measuring system control channels. B.I. № 6, 1992.
3. Kharkevich A.A. Spectra and analysis. M. State publishing house of fiz.-mat. lit., 1962, P. 137–148.
4. Patent RF 2200959 G01R23/16, H04J3/4, H04 B3/46. B.I. № 8, 2003
5. Dvait G.B. The integrals' tables and other mathematical formulae. M. : Nauka, 1973. P.82
6. Gutnikov V.S. The measurements, control, automation // 1983, № 2, P. 3.

Статья сдана в редакцию 25 сентября 2010 г.

Р. Я. Сулейманов, Е. В. Пуговкин

Противобоксовочная защита при импульсном автоматическом регулировании тягового привода

R. Ya. Suleimanov, E. V. Pugovkin

Antiskid protection during impulsive automated regulation of traction drive

Аннотация

В статье рассматривается вопрос противобоксовочной защиты без датчиков боксования. В электронном блоке управления при импульсном управлении тяговым приводом имеется сигнал ошибки регулирования. Этот сигнал пропорционален ускорению вращения колесной пары. При срыве сцепления ошибка регулирования возрастает в 6–8 раз по сравнению с ускорением нормального разгона и надежно выделяется на фоне других сигналов. После обнаружения срыва сцепления требуется осуществление противобоксовочного воздействия. Рассматриваются противобоксовочное воздействие в виде снижения тока якоря до безопасного значения и двухступенчатого подъема тока до значения уставки. По другому способу ограничивается возрастание напряжения, подаваемого на якорь путем обнуления ошибки регулирования. Отмечается, что устройство дало надежный результат на реальном электропоезде.

Ключевые слова:

тяговый привод, сцепление, противобоксовочная защита, ошибка регулирования, датчик избыточного скольжения, ток якоря, противобоксовочное воздействие.

Abstract

The article studies the issue of antiskid protection without skid sensors. In the electronic control package during pulse control of a traction drive there is a signal of control error. This signal is proportional to rotary acceleration of a wheel pair. During the adhesion break the control error increases 6–8 times as much as compared to the acceleration of the normal starting up and it stands out against other signals. After the adhesion break is detected it is necessary to make an antiskid impact. The authors examine the antiskid impact as armature current reduction to the safe value and two-stage current rise to the target value. Using the other way the voltage increase feeding the armature through control error nulling is limited. It is noted that the device showed good results on the real electric train.

Key words:

traction drive, adhesion, antiskid protection, control error, sensor of excess sliding, armature current, antiskid impact.

Рашит Яхьевич Сулейманов — канд. техн. наук, доцент; кафедра «Теоретические основы электротехники» Уральского государственного университета путей сообщения; Екатеринбург, Россия. E-mail: rasul2@e1.ru.

Евгений Васильевич Пуговкин — аспирант; кафедра «Теоретические основы электротехники» Уральского государственного университета путей сообщения; Екатеринбург, Россия. E-mail: E_Pugovkin@olympus.ru.

Rashit Yakhevich Suleimanov — DSc, associate professor, Theoretical Fundamentals of Electrical Engineering Department of the Ural State University of Railway Transport, Ekaterinburg, Russia. E-mail: rasul2@e1.ru.

Evgeny Vasilevich Pugovkin — post-graduate, Theoretical Fundamentals of Electrical Engineering Department of the Ural State University of Railway Transport, Ekaterinburg, Russia. E-mail: E_Pugovkin@olympus.ru.

Сила тяги на железнодорожном транспорте, как известно, ограничена силой сцепления, сильно зависящей от состояния пути. При срыве сцепления обороты двигателя и колесной пары увеличиваются до недопустимой величины (режим боксования). В настоящее время для реостатного пуска есть много способов обнаружения боксования с помощью специальных датчиков и его прекращения.

Использование импульсного регулирования тягового привода предполагает автоматическое управление выходными параметрами, в том числе током якоря, следовательно, силой тяги. Есть много предложений по регулированию силы тяги на пределе по силе сцепления. По мнению авторов, такое регулирование приводит к большой неравномерности силы тяги, так как сила сцепления зависит от состояния пути, а оно, как известно, непредсказуемо.

Наиболее приемлемым является управление током якоря по алгоритму поддержания заданного значения тока якоря на уровне меньше предельного (по условию сцепления). Так как в качестве тягового используется двигатель последовательного возбуждения, то здесь идея отдельного независимого возбуждения в виде противобоксовочного средства теряет всякий смысл. Система автоуправления и при срыве сцепления поддерживает неизменным ток якоря и возбуждения. Однако это обстоятельство в данном случае идет не на пользу, а только усугубляет, то есть ухудшает противобоксовочные свойства привода.

Исследования, проведенные авторами на математической модели, показали, что скорость развития боксования колеблется в пределах $3,8\text{--}6,9 \text{ м/с}^2$ — возрастает в 7–10 раз по сравнению с нормальным ускорением ($0,7 \text{ м/с}^2$). Это существенно больше, чем при боксовании двигателя последовательного возбуждения при реостатном пуске ($2\text{--}5 \text{ м/с}^2$) [1].

Из сказанного следует, что при импульсном регулировании особенно необходимо применение противобоксовочной защиты.

Для оценки эффективности противобоксовочных средств авторами были проведены исследования процессов развития и прекращения боксования при двух способах противобоксовочного воздействия: а) при создании противобоксовочного воздействия в функции от скорости избыточного скольжения и б) при релейном способе создания противобоксовочного воздействия (ступенчатом снижении тока якоря после обнаружения срыва сцепления).

В реальных условиях нет датчика скорости избыточной скорости скольжения. Исследования на математической модели показали, что при срыве сцепления ток якоря следует снижать на 60–70 % от значения уставки. Также установлено, что ошибка регулирования тока якоря в блоке управления после срыва сцепления возрастает в 7–10 раз по сравнению с режимом нормального разгона.

В реальном блоке управления выходное напряжение регулятора тока якоря пропорционально ошибке регулирования. Так как это напряжение возрастает в 7–10 раз, то обнаружение срыва сцепления осуществляется электронным пороговым устройством без установки отдельного реле боксования.

После обнаружения срыва сцепления необходимо оказать противобоксовочное воздействие. Противобоксовочное воздействие возможно осуществить двумя путями: релейное — снижением тока якоря и ограничением роста напряжения, подаваемого на якорь.

Эффект релейного воздействия тем выше, чем раньше оно создается после срыва сцепления. С другой стороны, во время движения поезда могут происходить кратковременные срывы сцепления, после которых боксование прекращается самостоятельно.

Это происходит потому, что максимальное расчетное значение силы тяги принимается меньшим, чем потенциальное значение силы сцепления на нормальном участке пути. При этом и на падающем участке характеристики сцепления имеется значение силы сцепления, равное максимальной силе тяги (рис. 1, точка А). Скорость избыточного скольжения, соответствующую этой точке, назовем критической скоростью избыточного скольжения ($V_{ск. кр.}$). Если скорость избыточного скольжения колесной пары при выходе на нормальный участок пути будет меньше критического значения, то произойдет прекращение боксования и наоборот.

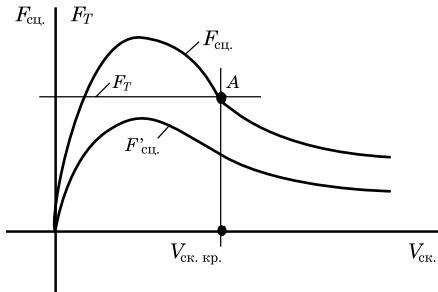


Рис. 1. Характеристики сцепления

Наименьший интервал времени, в течение которого скорость избыточного скольжения достигнет этого значения, определяется инерционностью колесно-моторного блока и минимальным потенциальным значением коэффициента сцепления ψ_{omin} ($\psi_{omin} = 0,12$) [2]. Для электропоезда ЭР2, например, это время составляет около 0,5 с. Следовательно, в течение этого интервала времени после срыва сцепления нет необходимости включать противобоксовочное воздействие.

Ошибка регулирования увеличивается и при изменении уставок, и при реакции системы управления на скачки напряжения в контактной сети. Поэтому возникает задача выделения сигнала о срыве сцепления из общей совокупности сигналов, со-

державшихся в напряжении ошибки регулирования.

В замкнутой системе авторегулирования ошибка регулирования состоит из двух составляющих [3] — из ошибки от управляющих воздействий (X_1) и от возмущающих воздействий (X_2):

$$X(p) = X_1(p) + X_2(p). \quad (1)$$

При этом

$$X_1(p) = \frac{G(p)}{1 + W(p)}, \quad (2)$$

$$X_2(p) = \frac{W_f(p)}{1 + W(p)} F(p), \quad (3)$$

где $X(p)$ — ошибка регулирования в операторной форме; $G(p)$ — управляющее воздействие (уставка); $F(p)$ — возмущающее воздействие; $W_f(p)$ — передаточная функция объекта регулирования по возмущающему воздействию; $W(p)$ — передаточная функция разомкнутой цепи регулирования.

Выбор передаточной функции регулятора производится исходя из условия компенсации больших постоянных времени объекта регулирования [4]. С учетом эго имеем

$$W(p) = \frac{1}{pb\sigma}. \quad (4)$$

Функция управляющего воздействия $G(p)$ определяется из условия комфорта для пассажиров. По этому условию ток якоря должен возрастать по экспоненциальному закону ($u_{3.т}$)

$$u_{3.т}(t) = U_{3.т}(1 - e^{-\alpha t}), \quad (5)$$

где $U_{3.т}$ — напряжение уставки тока якоря; α — коэффициент затухания ($\alpha = 2-5$).

В операторной форме выражение (5) имеет вид

$$G(p) = \frac{U_{3.т}}{p} - \frac{U_{3.т}}{p + \alpha}. \quad (6)$$

Тогда из уравнения (2) с учетом (4) и (6) получим:

$$X_1(p) = \frac{U_{3T}}{p \left(1 + \frac{1}{pb\sigma}\right)} - \frac{U_{3T}}{(p + \alpha) \left(1 + \frac{1}{pb\sigma}\right)} \quad (7)$$

или

$$X_1(p) = \frac{U_{3T}}{(pb\sigma + 1)} - \frac{U_{3T}}{\left(p^2 + p \frac{\alpha b\sigma + 1}{b\sigma} + \frac{\alpha}{b\sigma}\right)} \quad (8)$$

Оригинал этого выражения получается применением формулы разложения:

$$x_1(t) = U_{3T} e^{-t/b\sigma} - U_{3T} b\sigma \frac{p_1 e^{p_1 t} - p_2 e^{p_2 t}}{p_1 - p_2}, \quad (9)$$

где p_1, p_2 — корни характеристического уравнения — знаменателя второго слагаемого в уравнении (8).

Корни характеристического уравнения, вычисленные по реальным коэффициентам, действительные и разные. Поэтому слагаемые с течением времени затухают.

Анализ выражения (9) показывает, что прохождение сигнала $u_{3T}(t)$ через систему авторегулирования эквивалентно прохождению его через дифференцирующую RC-цепь, для которой справедливо аналогичное уравнение

$$u_R(p) = U_{3T} e^{-t/RC} - U_{3T} \frac{p_1 e^{p_1 t} - p_2 e^{p_2 t}}{p_1 - p_2}, \quad (10)$$

где $P_1 = -\alpha$, $P_1 = -1/RC$.

Отсюда следует, что если на вход противобоксовочного устройства подать напряжение уставки, пропущенное через дифференцирующую цепь с соответствующими параметрами и полярностью, противоположной полярности ошибки регулирования, то влияние изменения уставки будет скомпенсировано.

Остается определить реакцию системы автоуправления на срыв сцепления и развитие боксования. Передаточная функция системы по возмущающему воздействию — боксованию — определяется реакцией двигателя на увеличение скорости вращения колесной пары, выражающееся в росте ЭДС якоря и изменении тока:

$$E_{Я}(p) = C\Phi(p)V(p), \quad (11)$$

$$I_{Я}(p) = \frac{U_{дв.}(p) - C\Phi(p)V(p)}{R_{Я}(pT_{Я} + 1)}. \quad (12)$$

Магнитный поток остается постоянным, так как система и при боксовании поддерживает ток возбуждения постоянным. Тогда переменной величиной будет только скорость вращения колесной пары (V). При нулевых условиях ($U_{дв.} = 0$) из выражения (12) получим передаточную функцию по возмущению:

$$W_f(p) = \frac{C\Phi(p)K_{дтЯ}}{R_{Я}(pT_{Я} + 1)}. \quad (13)$$

Сделав допущение, что пуск и боксование происходят с постоянным ускорением ($a = \text{const}$), с учетом $v = at$, получим:

$$F(p) = \frac{a}{p^2}. \quad (14)$$

После подстановки в выражение (3) уравнения (13), (14) имеем

$$X_2(p) = \frac{C\Phi K_{дтЯ}}{R_{Я}(pT_{Я} + 1) \left(1 + \frac{1}{Pb\sigma}\right) p^2} a \quad (15)$$

или

$$X_2(p) = \frac{C\Phi K_{дтЯ} b\sigma}{R_{Я}} \times \frac{1}{pT_{Я} b\sigma \left(p^2 + p \frac{T_{Я} + b\sigma}{T_{Я} b\sigma} + \frac{1}{T_{Я} b\sigma}\right)} a. \quad (16)$$

Оригинал этого выражения:

$$x_2(t) = \frac{\text{СФК}_{\text{ДТЯ}} b \sigma}{R_3} a - \frac{\text{СФК}_{\text{ДТЯ}} b \sigma}{R_3} \times \\ \times \frac{p_1 e^{p_1 t} - p_2 e^{p_2 t}}{p_1 - p_2} a. \quad (17)$$

Знаменатель уравнения (16) является характеристическим уравнением. Положительные знаки членов этого уравнения указывают на затухание процесса. Значения корней говорят о том, что второе слагаемое затухает с постоянной времени электрической цепи, значительно меньшей, чем механическая постоянная. Первое слагаемое является постоянной составляющей, пропорциональной ускорению вращения колесной пары a , которое увеличивается при боксовании в 7–10 раз.

Ошибка регулирования от другого возмущающего воздействия — скачка напряжения в контактной сети получается как результат изменения коэффициента усиления импульсного регулятора (на модели). Исследования показали, что реакция системы регулирования тока якоря на скачки напряжения не превышают 0,1 с, а включение противобоксовочного

воздействия необходимо не ранее, чем через 0,5 с (как было сказано выше). Поэтому эту составляющую ошибки регулирования можно подавить на входе устройства обнаружения срыва сцепления по временному признаку.

Итак, устройство обнаружения боксования должно содержать суммирующее, пороговое и фильтрующие элементы. Схема такого устройства, разработанного одним из авторов [5], приведена на рис. 2.

Здесь изображены регулятор тока якоря (рег. тока — У1, У2) и устройство, формирующее противобоксовочное воздействие (реле времени РВ, транзисторы Т1, Т2). На входе операционного усилителя У3 производится суммирование напряжения ошибки регулирования и компенсирующего напряжения u_R . Кроме того, на вход подается напряжение, компенсирующее напряжение ошибки регулирования при нормальном разгоне и выполняющее роль порогового устройства. Сам операционный усилитель выполняет интегрирование суммы всех входных напряжений и играет роль фильтра совместно с реле напряжения, срабатывающим при достижении порогового значения.

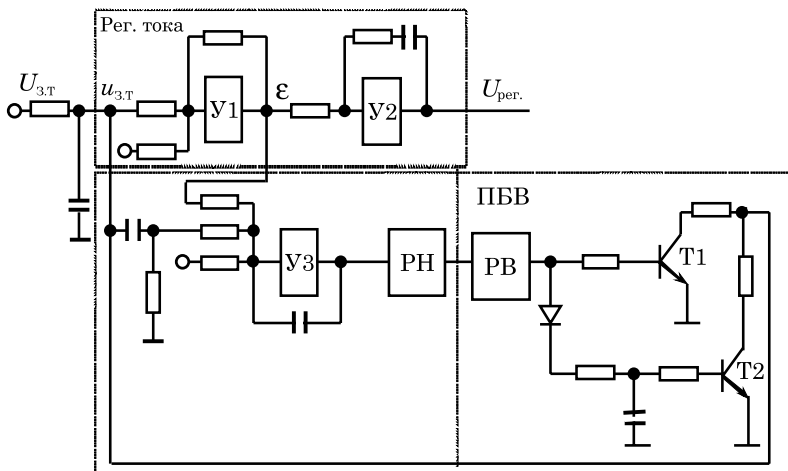


Рис. 2. Схема противобоксовочной защиты

Следует отметить, что значение интеграла на выходе операционно-го усилителя пропорционально (с достаточной точностью) скорости избыточного скольжения $V_{ск}$. Поэтому срабатывание реле происходит при одних и тех же значениях этой скорости независимо от интенсивности боксования.

По сигналу реле напряжения включается противобоксовочное воздействие (ПБВ). Алгоритм ПБВ должен быть создан таким образом, чтобы исключить толчки силы тяги и максимально использовать остаточное сцепления колеса с рельсами.

Минимальное значение коэффициента сцепления находится на уровне 0,12 [2]. Для прекращения боксования ток якоря должен быть снижен до уровня, при котором сила тяги меньше силы сцепления, то есть на 60–70%. При этом происходит затухание боксования за 0,5–0,8 с. По истечении этого времени возможно увеличение тока якоря до значения уставки. Если при этом поезд еще не вышел на участок с нормальной поверхностью рельсов, то произойдет повторный срыв сцепления и новое включение ПБВ с соответствующей потерей силы тяги.

Для сохранения большей силы тяги предлагается поднимать ток якоря в два этапа. На первом этапе ток поднимается до 80% от значения уставки. Срыв сцепления происходит наиболее вероятно на стрелочных переходах и переездах, проезд

которых может занять 2–3 с. По истечении этого времени можно начать второй этап повышения тока до значения уставки (рис. 3).

Описанный алгоритм обнаружения боксования и противобоксовочного воздействия был реализован в блоке управления тиристорного тягового привода электропоезда ЭР2. Испытания устройства дали удовлетворительные результаты.

Другой способ противобоксовочного воздействия осуществляется путем ограничения роста выходного напряжения регулятора тока якоря. Для этого достаточно обнуление напряжения ошибки регулирования (ε). При этом величина избыточного скольжения сохранится на уровне $V_{ск.кр.}$ (см. рис. 1). Ток якоря упадет до величины, поддерживающей получившееся избыточное скольжение.

При выходе колесной пары на нормальный участок пути сцепление восстанавливается. Ток якоря возрастает до значения уставки, так как скорость вращения якоря уменьшается. Ошибка регулирования падает до уровня режима нормального разгона. Соответственно, реле напряжения РН переключается, снимая блокировку регулятора напряжения.

Особенностью предложенного устройства является то, что здесь, в отличие от существующих, не требуется установки датчиков скольжения и сравнения скорости вращения двух или более колесных пар. ■

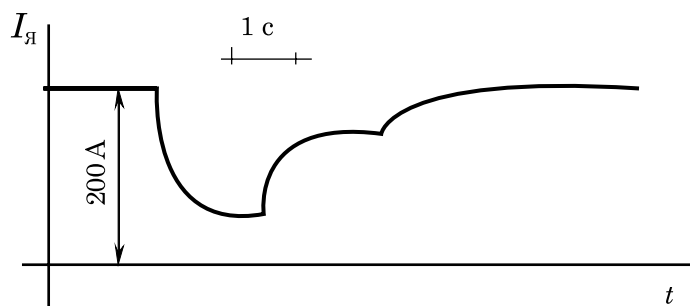


Рис. 3. Осциллограмма противобоксовочного воздействия

Литература

1. Минов Д. К. Повышение тяговых свойств электровозов и тепловозов с электрической передачей. М. : Транспорт, 1965. — 260 с.
2. Розенфельд В. Е. и др. Электрическая тяга. М. : Трансжелдориздат, 1962.
3. Бесекерский В. А., Попов Е. П. Теория автоматического регулирования. М. : Наука, 1966.
4. Сулейманов Р. Я. Динамика процессов управления // Транспорт Урала, 2005, № 3. — С. 52–55. ISSN 1815–9400.
5. А. с. № 1318444 (СССР), МКИ В 60 L 3/10 / Устройство противобоксовочной и противоюзовой защиты тягового привода / Сулейманов Р. Я. Оpubл. 23.06. 87. — Бюл. № 23.

References

1. Minov D. K. The rise of electric and diesel locomotives' traction characteristics with electric gear. M. : Transport, 1965. — 260 p.
2. Rozenfeld V. E. and others. Electric traction. M. : Transzheldorizdat, 1962.
3. Besekersky V. A., Popov E. P. Theory of automatic control. M. : Nauka, 1966.
4. Suleimanov R. Ya. Dynamics of control process // Transport of the Urals, 2005, № 3. — P. 52–55. ISSN 1815–9400.
5. A. s. № 1318444 (USSR), MKI V 60 L 3/10 / Antiskid device and brake-shoe controller of traction drive / Suleimanov R. Ya. Published 23.06. 87. — Bul. № 23.

References (transliteration)

1. Minov D. K. Povyshenie tyagovykh svojstv elektrovov i teplovovov s elektricheskoy peredachej. M. : Transport, 1965. — 260 s.
2. Rozenfeld V. E. i dr. Elektricheskaya tyaga. M. : Transzheldorizdat, 1962.
3. Besekersky V. A., Popov E. P. Teoriya avtomaticheskogo regulirovaniya. M. : Nauka, 1966.
4. Suleimanov R. Ya. Dinamika protsessov upravleniya // Transport Urala, 2005, № 3. — S. 52–55. ISSN 1815–9400.
5. A. s. № 1318444 (SSSR), MKI V 60 L 3/10 / Ustrojstvo protivoboksovochnoj i protivoyuzovoj zachshity tyagovogo privoda / Suleimanov R. Ya. Opubl. 23.06. 87. — Byul. № 23.

Статья сдана в редакцию 2 ноября 2010 г.

УДК 621.333.048

М. Г. Дурандин, И. А. Кузьминых

Расчет электрических полей в якорной изоляции тяговых электродвигателей локомотивов с учетом теплового фактора

UDC 621.333.048

M. G. Durandin, I. A. Kuzminykh

The calculation of electric field in anchor isolation of locomotives' traction electric motors with the regard for thermal factor

Аннотация

Предложена методика расчета электрических и тепловых полей в высоковольтной якорной изоляции тяговых электродвигателей локомотивов, позволяющая учитывать неоднородность ее структуры, нестационарный характер процессов межслойной поляризации, прямоугольную форму пазовых электродов, влияние распределения температурных потенциалов на физические характеристики изоляционных слоев. С помощью предложенной методики исследованы закономерности в распределении электрической загруженности компонентов изоляционной структуры с учетом температурного фактора, а также выявлены локальные области с повышенными электрическими напряжениями в структуре пазовой изоляции активных проводников обмотки якоря тягового электродвигателя ТЛ-2К1 грузовых электровазозов постоянного тока серий ВЛ10 и ВЛ11.

Ключевые слова:

электродвигатель тяговый, изоляция высоковольтная, неоднородное электрическое поле, нестационарное электрическое поле, электрический потенциал, температурный потенциал.

Abstract

There is offered the method of electric and thermal field calculation in high-voltage anchor isolation of locomotives' traction electric motors that allows to consider structural irregularity, non-stationary nature of interlaminar polarization processes, slot electrodes' rectangular shape, temperature voltages' influence on physical characteristics of insulating barriers. With the help of the offered method there are viewed the regularities in distribution of insulating structure components electric workload with the regard to temperature factor and there are also detected the local domains with the higher electric voltages in active conductors' slot insulation structure of traction electric motor anchor TL-2K1 winding of freight electric locomotives of VL10 and VL11 direct current.

Key words:

traction electric motor, high-voltage insulation, non-uniform electric field, non-stationary electric field, electric potential, temperature voltage.

Михаил Гелиевич Дурандин — канд. техн. наук, доцент; кафедра «Электрическая тяга» Уральского государственного университета путей сообщения; Екатеринбург, Россия. E-mail: MDurandin@et.urgups.ru.

Иван Александрович Кузьминых — ассистент кафедры «Электрическая тяга» Уральского государственного университета путей сообщения; Екатеринбург, Россия. E-mail: iakuzminyih@yandex.ru.

Mikhail Gelievich Durandin — DSc, associate professor, «Electric traction» department of the Ural State University of Railway Transport, Ekaterinburg, Russia. E-mail: MDurandin@et.urgups.ru.

Ivan Alexandrovich Kuzminykh — assistant of «Electric traction» department of the Ural State University of Railway Transport, Ekaterinburg, Russia. E-mail: iakuzminyih@yandex.ru.

Наблюдаемое в последнее время непрерывное и зачастую необоснованное увеличение массы поездов в грузовом движении ведет к значительному увеличению нагрузки на локомотивы и их тяговые электродвигатели. Как следствие этого, существует рост числа отказов тяговых электродвигателей, а значит, и неоправданных эксплуатационных, ремонтных расходов на их замену, случаев сбоев графика движения поездов и дорогостоящих внеплановых ремонтов. Данная проблема затрагивает локомотивы как уже находящиеся в эксплуатации продолжительное время, так и вновь строящиеся.

Статистика отказов тяговых электродвигателей свидетельствует, что основной неисправностью по количеству случаев и тяжести их последствий являются пробой и межвитковые замыкания обмоток якоря главных и добавочных полюсов [1]. Технические и организационные мероприятия, проводимые в эксплуатационных и ремонтных локомотивных депо для снижения остроты этой проблемы, не приносят ожидаемого эффекта. Это указывает на то, что ее решение лежит в совершенствовании самих изоляционных структур тяговых электрических машин и методах их проектирования.

Быстрое развитие и широкое внедрение в проектировочный процесс вычислительной техники дает неоспоримые преимущества не только в скорости и объеме выполняемых расчетных операций, но и в возможности снятия физических допущений, которые традиционно использовались в методиках проектирования многослойных изоляций для упрощения процедуры расчета. Такого рода допущения традиционно были связаны с неоднородностью структуры и анизотропностью физических свойств многослойных изоляционных покрытий, сложной геометрической конфигурацией электродов,

трудностями математического расчета пространственно-неоднородных и временно-нестационарных электрических полей. Разрабатываемые в последнее время методики нацелены на отыскание возможностей объединения пространственного расчета стационарных полей с расчетом параметров нестационарного однородного поля в многослойных диэлектрических структурах [2, 3].

Однако изоляция тяговых электрических машин подвергается воздействию не только потенциальных нагрузок. Работа в условиях повышенных температур, влажности, вибрации, механических ударов сказывается на характере распределения и поведении электрических полей внутри многокомпонентной изоляционной структуры. Не отрицая существования таких связей, традиционные методики расчета высоковольтной изоляции уходят от их точного математического расчета, вводя теоретически слабо обоснованные коэффициенты запаса прочности.

Таким образом, разработка современных методик проектирования и расчета изоляционных покрытий должна предусматривать не только расчет главного фактора их нагружения — электрического поля, но и учет других вероятных для реальных условий эксплуатации и значимых по уровню влияния эксплуатационных видов воздействий. Для якорной изоляции тяговых электрических машин, характеризующейся наибольшим числом отказов в эксплуатации, можно выделить два таких определяющих фактора: потенциальные и тепловые нагрузки.

Задача расчета композиционных изоляционных структур в полном объеме ее постановки: нахождение пространственно-временного распределения параметров поля даже при раздельном расчете электрических и тепловых нагрузок представляет собой чрезвычайно сложную теоретическую задачу. Но трудоемкость

возрастает на порядок при моделировании реальных условий функционирования якорной изоляции с учетом воздействия на изоляцию и взаимного влияния потенциального и теплового факторов. В такой постановке задача не рассматривалась, а для ручных методов расчета она недоступна.

С фундаментальных позиций теории электрических и тепловых полей их совместное пространственно-временное распределение с учетом взаимного влияния описывается системой нелинейных дифференциальных уравнений

$$\begin{cases} \frac{\partial^2 \varphi}{\partial x^2} + \frac{\partial^2 \varphi}{\partial y^2} + \frac{\partial^2 \varphi}{\partial z^2} = \sigma(t, \tau); \\ \rho C \frac{\partial \tau}{\partial t} + \lambda_x \frac{\partial^2 \tau}{\partial x^2} + \lambda_y \frac{\partial^2 \tau}{\partial y^2} + \lambda_z \frac{\partial^2 \tau}{\partial z^2} = Q(t, \tau), \end{cases} \quad (1)$$

где φ — электрический потенциал; σ — плотность распределения зарядов межслоевой поляризации; τ — температурный потенциал; ρ — плотность среды; C — удельная теплоемкость среды; λ — коэффициент теплопроводности среды; Q — удельная мощность источника тепловыделений.

Очевидно, что поиск решения такой системы для точек даже двухмерного изоляционного пространства строгими аналитическими методами невозможен. Единственно доступными методами получения решения таких систем являются приближенно-численные методы расчета, которые широко используются в современных программах.

Анализ вычислительных возможностей доступных для использования расчетных сред показал, что условиям поставленной задачи в наибольшей степени подходит интерактивная среда COMSOL Multiphysics, позволяющая получать приближенно-численные решения как для неоднородных, так и для нестационарных полей в физически неоднородных средах с заданной конфигурацией электродов.

С использованием программных возможностей данной среды произведено моделирование многослойной изоляционной структуры якорной изоляции тягового электродвигателя ТЛ-2 К1 грузовых электровозов постоянного тока серий ВЛ10 и ВЛ11.

Основная сложность поставленной расчетной задачи состояла в том, что характер пространственного распределения и временного поведения электрического поля в многослойной изоляционной системе зависит от удельной активной проводимости и показателя относительной диэлектрической проницаемости расчетных точек изоляционной среды, значения которых, в свою очередь, определяют характер распределения температурных потенциалов.

Поскольку конструкция якоря тягового электродвигателя имеет сегментную структуру, то для описания процессов тепловыделений, теплопередачи и теплоотдачи была запрограммирована двумерная модель периодически повторяющегося сегмента якоря двигателя ТЛ-2 К1 (рис. 1).

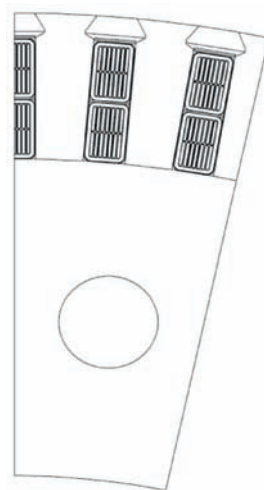


Рис. 1. Расчетный сегмент якоря тягового электродвигателя ТЛ-2 К1

Принятая для моделирования электрических процессов структура якорной изоляции тягового двигате-

ля ТЛ-2 К1 соответствовала принятой технологии изготовления якорных секций на Екатеринбургском электровозоремонтном заводе. Она включает в себя: межвитковую изоляцию на основе стекловолокнистой изоляции провода ПЭТВСД; десять слоев корпусной изоляции из стеклослюдинитовой ленты ЛСЭП-934, намотанных встык, и слой стеклослюдинитовой ленты ЛЭС, намотанной в перекрышу и образующей вместе с выступающим пазом якоря стеклопластом марки «Изофлекс» покровную изоляцию. Между межвитковой, корпусной и покровной изоляциями располагаются стягивающие бандажные ленты из лавсановой ленты ПЭТФ, намотанные вразбежку.

Расчетная модель пазовой изоляции якоря тягового двигателя ТЛ-2 К1 представлена на рис. 2.

В качестве расчетных физических параметров лент принимались их справочные значения, представленные в таблице 1 [4, 5].

Расчет распределения температурных потенциалов производился для номинального значения тока якоря и частоты вращения продолжительного режима мощности ($I_a = 410$ А; $n_a = 830$ об/мин). Температура окружающей среды принималась равной 20 °С. Для задания значений коэффициентов теплоотдачи с внешней поверхности якоря и поверхности вентиляционных каналов использовались данные [6].

Результаты расчета теплового поля паза якоря в номинальном режиме работы тягового электродвигателя ТЛ-2 К1 представлены цветовой диаграммой на рис. 3. Из диаграммы

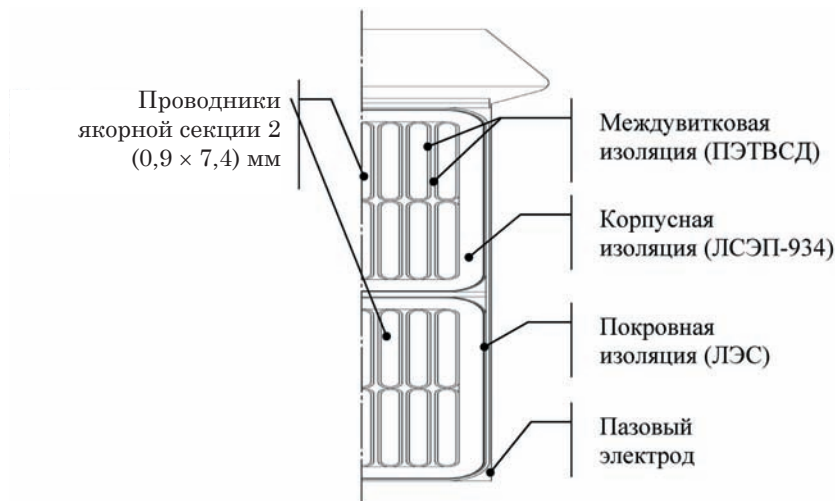


Рис. 2. Расчетная модель паза якоря тягового электродвигателя ТЛ-2 К1

Таблица 1

Физические характеристики изоляционных материалов

Марка образцов изоляции	Толщина, мм	Плотность, кг/м ³	Удельная теплоемкость, Дж/(кг·К)	Коэффициент теплопроводности, Вт/(м·К)
ПЭТВСД	0,14	2250	846	0,125
ЛСЭП-934	0,10	2900	864	0,100
ПЭТФ	0,02	1350	1000	0,023
ЛЭС	0,08	2250	846	0,063
«Изофлекс»	0,16	1200	1692	0,307

видно, что при установившейся температуре нагрева якорных проводников около 105°C температурный перепад на толщине изоляции составляет $25\text{--}30^{\circ}\text{C}$.

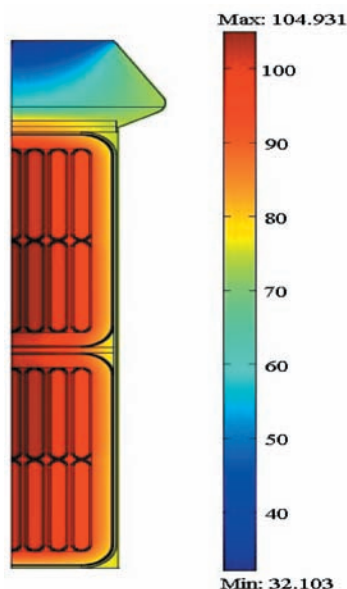


Рис. 3. Распределение установившихся температурных потенциалов ($^{\circ}\text{C}$) в пазу якоря электродвигателя ТЛ-2 К1 в номинальном режиме

Расчет электрической напряженности производился для номинальной величины корпусного напряже-

ния тяговых двигателей в электро-возах постоянного тока 3000 В. Температурные зависимости относительной диэлектрической проницаемости и удельной электрической проводимости изоляционных лент принимались согласно [5].

Результаты расчетов напряженности электрического поля в пятикомпонентной якорной изоляции электродвигателя ТЛ-2 К1 с учетом неоднородного характера распределения поля и нестационарности процессов межслоевой поляризации представлены на рис. 4 для широкой грани якорных проводников.

Уникальность полученных результатов состоит в том, что они учитывают поточечное температурное распределение в рассчитываемой многокомпонентной изоляционной среде. Значения относительных диэлектрических проницаемостей и удельных электрических проводимостей, изменяясь с ростом температуры, обуславливают перераспределение потенциальной нагруженности как между функциональными группами элементов (витковой, корпусной и покровной изоляциями), так и между отдельными слоями внутри каждого из них.

Полученные результаты, демонстрирующие принципиальную воз-

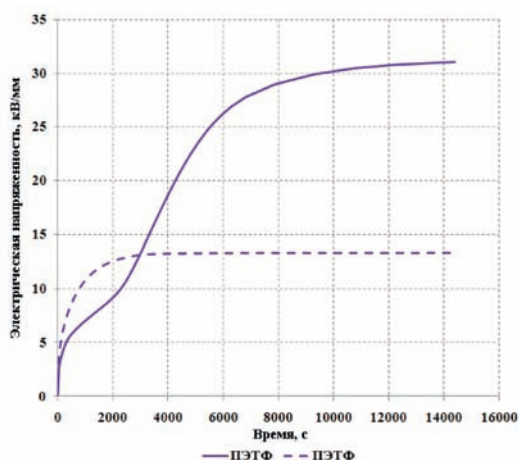
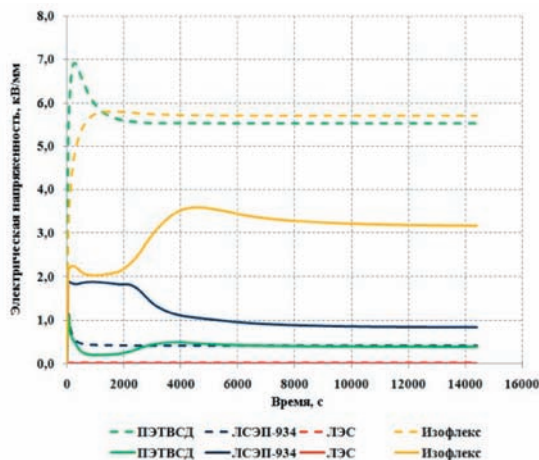


Рис. 4. Поляризационные процессы в компонентах пазовой изоляции якоря двигателя ТЛ-2 К1 с учетом (сплошные линии) и без учета (пунктирные) распределения температурных потенциалов

возможность расчета композиционных изоляционных покрытий для условий комплексного воздействия эксплуатационных факторов нагружения в полном объеме постановки задачи, не только научно значимы, но также представляют очевидный практический интерес.

Из представленных диаграмм видно, что и в переходных процессах, и в установившихся режимах при рабочих уровнях корпусного напряжения распределение потенциальной нагруженности изоляционных компонент происходит крайне неравномерно.

Парадоксально, но наиболее нагруженными оказываются бандажи из лавсановой ленты ПЭТФ, обладающие наименьшей активной проводимостью и выполняющие технологические функции по скреплению стяжки якорных проводников одной якорной секции. Другие компоненты изоляционной системы оказываются нагруженными на порядок меньшими уровнями потенциальных нагрузок. Предназначенные же для создания основного электрического барьера ленты ЛСЭП-934 корпусной изоляции оказываются наименее нагруженными в структуре якорной изоляции. В итоге, только 30% корпусного напряжения воспринимается слоями корпусной изоляции, а остальные 70% распределяются по компонентам с другим функциональным назначением.

Диаграммы рис. 4 наглядно демонстрируют значимость учета теплового фактора в расчетах многослойных изоляционных композиций. Расхождение значений напряженности поля в компонентах якорной изоляции без учета (пунктирные линии) и с учетом (сплошные линии) температурного распределения составляет от двух до десяти раз.

Кроме того, проведенные расчеты обращают внимание на еще один проблемный участок в структуре якорной изоляции тяговых электродвигате-

лей. На рис. 5 представлена цветовая диаграмма распределения напряженности электрического поля в корпусной части пазовой изоляции полусекций обмотки якоря.

Из диаграммы видно, что распределение поля характеризуется однородным повышением значений напряженности при продвижении от нижних слоев корпусной изоляции к верхним, что объясняется понижением температурных потенциалов и, соответственно, падением активной проводимости изоляционных лент ЛСЭП-934.

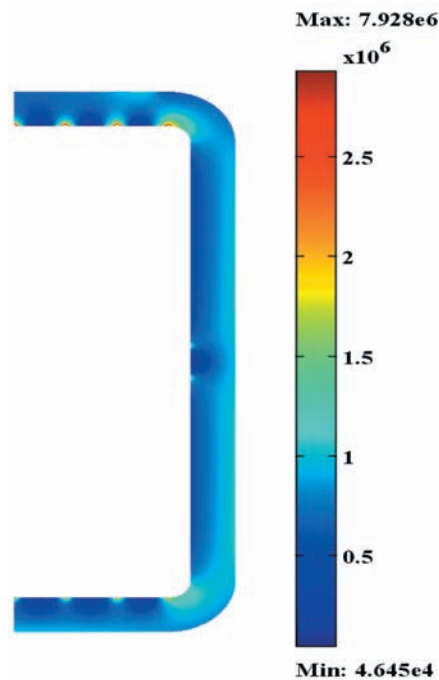


Рис. 5. Распределение электрической напряженности в корпусной изоляции обмотки якоря двигателя ТЛ-2 К1

Однако на диаграмме также хорошо видны следы локальных всплесков напряженности в области торцов якорных проводников. На первый взгляд, их появление закономерно обусловлено пространственной неоднородностью поля вблизи кромок медных проводников с малым

радиусом закругления. Однако более тщательное исследование показало, что отмеченные всплески напряженности поля в большей степени относятся к воздушным включениям между якорными проводниками в местах их торцевых скруглений.

На рис. 6 в укрупненном виде представлено распределение напряженности поля на торцах якорных проводников нижней полусекции обмотки якоря двигателя ТЛ-2 К1.

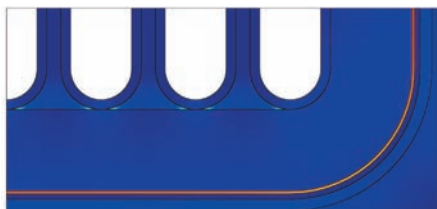


Рис. 6. Локальные всплески напряженности в воздушных зазорах между активными проводниками обмотки якоря

На однородном фоне общего распределения электрической напряженности хорошо видны значительные всплески в клиновидных воздушных карманах, образующихся от скруглений соседних якорных проводников. Расчеты показывают, что при постоянном характере приложенного напряжения в воздушных микровключениях напряженность может достигать 350 кВ/мм. Поскольку пробивная прочность воздуха не превышает 3 кВ/мм, то в данных локальных областях неизбежно образование внутренних частичных разрядов и их постоянное воздействие на прилегающие области корпусной и межвитко-

вой изоляций уже при рабочих уровнях корпусного напряжения.

Проведенное моделирование пазовой части изоляции якорей тяговых электродвигателей доказывает, что даже в номинальных режимах нагружения силового электромашиного оборудования его высоковольтная изоляция используется крайне неэффективно. Несоответствие воспринимаемых электрических нагрузок элементами изоляционных покрытий их функциональному назначению существенно снижает ресурс работы тяговых электродвигателей в эксплуатации.

Методика расчета многослойных изоляционных структур с использованием программной среды COMSOL Multyphysics позволяет с большой точностью моделировать реальные условия загрузки электрической изоляции для большого класса тяговых электрических машин не только по электрическим и тепловым видам нагружения, но и с учетом их взаимного влияния. Ее применение позволяет уже на уровне проектирования новых видов изоляционных покрытий или при модернизации существующих образцов всесторонне оценивать их эксплуатационные возможности и надежность качества. Появляется возможность отказаться от интегрально-усредняющего принципа расчета сложносоставных изоляционных покрытий на основе коэффициентов запаса прочности и перейти к проектированию сбалансированных изоляционных композиций равнопрочной структуры, исходя из точного расчета уровней ожидаемых нагрузок. ■

Литература

1. Рапорт О. Л., Хомченко Д. Н. Нужна система мониторинга теплового состояния тяговых двигателей // Локомотив, 2009, № 5. С. 31. ISSN 0869–8147.
2. Дурандин М. Г. Расчет электрических полей в изоляционных структурах тяговых электродвигателей локомотивов // Транспорт Урала, 2006, № 1 (8). С. 50–56. ISSN 1815–9400.
3. Дурандин М. Г., Кузьминых И. А. Обоснование методики расчета электрических полей в многослойных изоляционных покрытиях // Транспорт Урала, 2009, № 3 (22). С. 77–81. ISSN 1815–9400.

4. Бочаров В.И. Магистральные электровозы: Электрические машины и трансформаторное оборудование электровозов / В.И. Бочаров, П.А. Золотарев., М.А. Козорезов, Ю.В. Куприянов и др. — М. : Машиностроение, 1968. — 444 с.
5. Фролов Н.О. Оптимизация изоляционных структур тяговых электродвигателей локомотивов — Дисс... на соиск. уч. ст. канд. техн. наук. — Екатеринбург : УрГУПС, 2004. — 167 с. Защищена 25.02.2005.
6. Находкин М.Д. Проектирование тяговых электрических машин / М.Д. Находкин, Г.В. Василенко, М.А. Козорезов, Д.М. Лупкин. М. : Транспорт, 1967. — 536 с.

References

1. Rapoport O. L., Khomchenko D. N. Is it necessary the monitoring system of traction engines thermal condition // Lokomotiv, 2009, № 5. P. 31. ISSN 0869–8147.
2. Durandin M. G. Calculation of electric fields in insulating structures of locomotives' traction engines // Transport of the Urals, 2006, № 1 (8). P. 50–56. ISSN 1815–9400.
3. Durandin M. G., Kuzminykh I. A. The justification of electric fields calculation method in multilayers insulating surfaces // Transport of the Urals, 2009, № 3 (22). P. 77–81. ISSN 1815–9400.
4. Bocharov V. I. Mainline electric locomotives. Electric machines and transforming equipment of electric locomotives / V. I. Bocharov, P. A. Zolotarev, M. A. Kozorezov, Y. V. Kuprianov and others. — M. : Mechanical engineering, 1968. 444 p.
5. Frolov N. O. Optimization of insulating structures of locomotive traction engines — PhD candidate's thesis. — Ekaterinburg : USURT, 2004. — 167 p. Defended 25.02.2005.
6. Nakhodkin M. D. Designing of traction electric machines / M. D. Nakhodkin, G. V. Vasilenko, M. A. Kozorezov, D. M. Lupkin. M. : Transport, 1967. — 536 p.

References (transliteration)

1. Rapoport O. L., Khomchenko D. N. Nuzhna sistema monitoringa teplovogo sostoyaniya tyagovykh dvigatelej // Lokomotiv, 2009, № 5. S. 31. ISSN 0869–8147.
2. Durandin M. G. Raschet elektricheskikh polej v izolyatsionnykh strukturakh tyagovykh elektrodvigatelej lokomotivov // Transport Urala, 2006, № 1 (8). S. 50–56. ISSN 1815–9400.
3. Durandin M. G. Kuzminykh I. A. Obosnovanie metodiki rascheta elektricheskikh polej v mnogoslojnykh izolyatsionnykh pokrytiyakh // Transport Urala, 2009, № 3 (22). S. 77–81. ISSN 1815–9400.
4. Bocharov V. I. Magistralnye elektrovozy: elektricheskie mashiny i transformatornoe oborudovanie elektrovozov / V. I. Bocharov, P. A. Zolotarev, M. A. Kozorezov, Yu. V. Kuprianov i dr. — M. : Mashinostroenie, 1968. — 444 s.
5. Frolov N. O. Optimizatsiya izolyatsionnykh struktur tyagovykh elektrodvigatelej lokomotivov — Diss... na soisk. uch. st. kand. tekhn. nauk. — Ekaterinburg : UrGUPS, 2004. — 167 s. Zashchishchena 25.02.2005.
6. Nakhodkin M. D. Proektirovanie tyagovykh elektricheskikh mashin / M. D. Nakhodkin G. V. Vasilenko, M. A. Kozorezov, D. M. Lupkin. M. : Transport, 1967. — 536 s.

Статья сдана в редакцию 19 октября 2010 г.

И. А. Иванов, И. Г. Киселев

Исследование термических процессов при индукционном нагреве железнодорожных колес при ремонте

UDC 629.4.027

I. A. Ivanov, I. G. Kiselyov

Investigation of thermal processes by the induction heat of railway wheels

Аннотация

Приведены результаты теоретического и экспериментального исследования эволюции температур по ободу цельнокатаного колеса при его индукционном нагреве в процессе ремонта для восстановления механических свойств металла обода.

Проблема заключается в недоиспользовании возможностей технологий термической обработки колес при их ремонте для восстановления механических свойств металла обода колеса.

В литературе отсутствуют теоретические исследования проблем теплопроводности в ободе и диске колеса в такой постановке. Чаще всего задачи рассматриваются как одномерные со значительными упрощениями формы колеса и большим объемом допущений: теплофизические свойства не зависят от температуры, охлаждение колеса в момент нагрева не учитывается, колесо неподвижно и др.

Сравнение расчетных данных с результатами эксперимента показало расхождение на 10–15 % в сторону завышения температуры. Несовпадение расчетных с опытными данными можно объяснить неточностью задания граничных условий на поверхностях колеса. Можно предположить, что действительное значение коэффициента теплоотдачи носит переменный характер, связанный с его лучистой составляющей. Ее величина зависит от температуры колеса. Поэтому в первые моменты времени, когда колесо начинает нагреваться, лучистая составляющая коэффициента теплоотдачи незначительна, и общее его значение меньше принятого в расчете. Затем, по мере нагрева колеса, его температура увеличивается до значений, когда лучистая составляющая будет играть определяющую роль в процессе теплообмена колеса с окружающей средой.

Для получения действительного характера изменения коэффициента теплоотдачи необходимо решение ряда обратных задач.

Ключевые слова:

колесо, восстановление механических свойств, индукционный нагрев, коэффициент теплоотдачи.

Abstract

The article gives the results of theoretical and experimental research of temperature evolution by its induction heat in the repair process for regeneration of crown metal mechanical characteristics.

The problem is incomplete use of technologies of wheels heat treatment in the repair process for regeneration of crown metal mechanical characteristics.

There are no theoretical investigations of heat conduction problems in the wheel crown and disk in the literature in such statement. More often such tasks are studied as one-dimensional problems with considerable simplifications of wheel form and big volume of assumptions: heat-transfer properties don't depend on temperature, wheel cooling during heat process isn't taken into consideration, the wheel is motionless etc.

The comparison of calculation data with the experiment's results showed the deviation by 10–15% to the temperature increase. The deviation of calculation data with experimental data can be explained by inaccuracy of providing of boundary conditions on a wheel surface. It can be supposed that the real value of heat output coefficient is variable, which is connected with its radiative component. Its value depends on wheel temperature. Therefore during the first moments when the wheel gets warm the radiative component of heat output coefficient is insignificant and its total value is less than the one received in the calculation. Then, in the process of wheel heating its temperature increases to the values when the radiative component will play the significant role in the process of wheel heat exchange with the environment.

In order to get the real characteristic of heat output coefficient change it is necessary to solve some inverse problems.

Key words:

wheel, regeneration of mechanical characteristics, induction heat, heat output coefficient.

Игорь Александрович Иванов — д-р техн. наук, профессор; кафедра «Технология металлов» Санкт-Петербургского государственного университета путей сообщения; Санкт-Петербург, Россия. E-mail: ivanov_1_7@mail.ru.

Игорь Георгиевич Киселев — д-р техн. наук, профессор; кафедра «Технология металлов» Санкт-Петербургского государственного университета путей сообщения; Санкт-Петербург, Россия.

Igor Aleksandrovich Ivanov — DSc, Professor; «Process metallurgy» department of Saint-Petersburg State University of Railway Transport; Saint-Petersburg, Russia. E-mail: ivanov_1_7@mail.ru

Igor Georgievich Kiselyev — DSc, Professor; «Process metallurgy» department of Saint-Petersburg State University of Railway Transport; Saint-Petersburg, Russia.

На большинстве ремонтных предприятий осуществляется восстановление только геометрических параметров профиля поверхности катания колес и редко ставится вопрос о восстановлении механических свойств обода колеса. В то же время технология термической обработки колес обеспечивает убывающую твердость металла по сечению обода, но не регламентирует прокаливаемость. То есть срезаемый при ремонте слой металла обода не только уменьшает диаметр колеса, но и определяет снижение его твердости и, соответственно, износостойкости. Восстановление при ремонте механических свойств металла обода до уровня новых колес позволит повысить износостойкость и срок службы колес и снизить затраты на приобретение новых колес. Стоимость металла новых колес, прошедших все стадии металлургического передела, значительно выше стоимости металла обода с восстановленными при ремонте механическими свойствами.

Проблема заключается в недоиспользовании возможностей технологий термической обработки колес при их ремонте для восстановления механических свойств металла обода колеса.

Восстановить механические свойства поверхностного слоя металла обода колес с целью повышения их износостойкости и срока службы можно путем индукционной термообработки ТВЧ, плазменной модификации, электродуговых методов наплавки, газопламенной обработки и др. Каждая из этих технологий имеет свои особенности и некоторый опыт применения.

Мы провели изучение тепловых явлений при индукционной термической обработке обода цельнокатанных колес [1] при ремонте.

Тот или иной технологический процесс должен проходить в пределах заданных температур, чтобы обеспечить у колесной пары или элементов

ее поверхностей необходимые качественные и количественные характеристики (структура, твердость и т. д.) [1, 2]. Знание температурных полей колеса, подвергаемого термической обработке ТВЧ [3], позволяет правильно выбрать режим работы всей технологической системы и получить необходимые показатели обрабатываемых поверхностей.

Экспериментальные методы исследования теплового состояния колес методом термометрирования связаны с большими затратами времени и средств. Часто оказывается, что получить полную картину температурных полей в реальном процессе затруднительно. В таком случае удобны расчетные методы исследования. Целесообразно использовать расчетные методы, позволяющие получать многовариантные полные картины изучаемых процессов; эксперимент же проводится только для контроля и сопоставления с результатами теоретических исследований.

Краевая задача теплопроводности формулируется одинаково для любых объектов. Конкретизация возникает при записи условий однозначности, то есть граничных и временных условий [4].

Сформулируем нестационарную задачу теплопроводности применительно к колесу, подвергающемуся нагреву ТВЧ индуктором (рис. 1).

В соответствии с предложенной расчетной схемой, основные дифференциальные уравнения параболического типа для тела цилиндрической формы имеют вид, представленный на рис. 2.

Для зоны колеса, подвергающейся воздействию ТВЧ:

$$\begin{aligned} \frac{\partial T(r, \varphi, z)}{\partial \tau} \bar{C}(r, \varphi, z, T) \rho(r, \varphi, z, T) = \\ = \frac{\partial}{\partial r} (\lambda(T) \frac{\partial T(r, \varphi, z, \tau)}{\partial r}) + \\ + \frac{1}{r} (\lambda(T) \frac{\partial T(r, \varphi, z, \tau)}{\partial r}) + \end{aligned}$$

$$\begin{aligned}
 & + \frac{1}{r^2} \frac{\partial}{\partial \varphi} \left(\lambda(T) \frac{\partial T(r, \varphi, z, \tau)}{\partial \varphi} \right) + \\
 & + \frac{\partial}{\partial z} \left(\lambda(T) \frac{\partial T(r, \varphi, z, \tau)}{\partial z} \right) + \\
 & + W_v(r, \varphi, z, \tau),
 \end{aligned}$$

где W_v — мощность внутренних источников теплоты, Вт/м³,

$$\left(W_v = \frac{P_o}{\xi} \right);$$

P_o — плотность потока теплоты на поверхности колеса под воздействием ТВЧ, Вт/м²; ξ — глубина активного слоя, м; C — удельная теплоемкость материала, Дж/кг·К; λ — коэффициент теплопроводности материала, Вт/м·К; ρ — плотность материала, кг/м³; τ — время, с; r, z, φ — координаты.

Для основной части металла колеса, где отсутствуют внутренние источники теплоты W_v :

$$\frac{\partial T(r, \varphi, z)}{\partial \tau} C(r, \varphi, z, T) \rho(r, \varphi, z, T) =$$

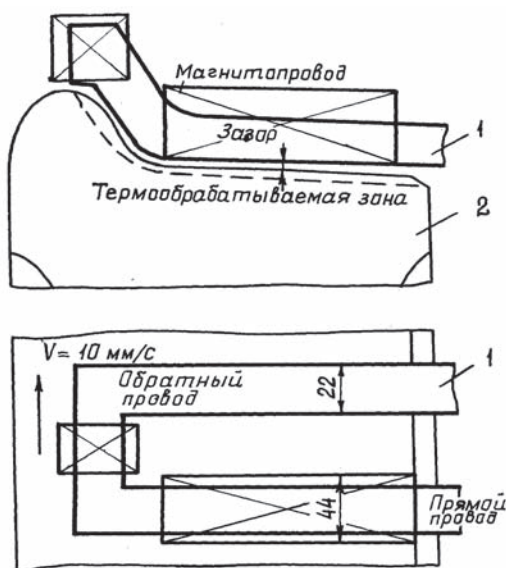


Рис. 1. Эскиз системы «индуктор – колесо»
1 — индуктор; 2 — колесо

$$\begin{aligned}
 & = \frac{\partial}{\partial r} \left(\lambda(T) \frac{\partial T(r, \varphi, z, \tau)}{\partial r} \right) + \\
 & + \frac{1}{r} \left(\lambda(T) \frac{\partial T(r, \varphi, z, \tau)}{\partial r} \right) + \\
 & + \frac{1}{r^2} \frac{\partial}{\partial \varphi} \left(\lambda(T) \frac{\partial T(r, \varphi, z, \tau)}{\partial \varphi} \right) + \\
 & + \frac{\partial}{\partial z} \left(\lambda(T) \frac{\partial T(r, \varphi, z, \tau)}{\partial z} \right).
 \end{aligned}$$

Граничные условия:

на боковых поверхностях диска и ступицы

$$\alpha'(T - T_{cp.}) = -\lambda(T) \frac{\partial T}{\partial z};$$

на торцевых поверхностях рассматриваемого элемента колеса (см. рис. 2):

$$\frac{\partial T}{\partial \varphi} = 0;$$

в районе ступицы:

$$\frac{\partial T}{\partial \varphi} = 0;$$

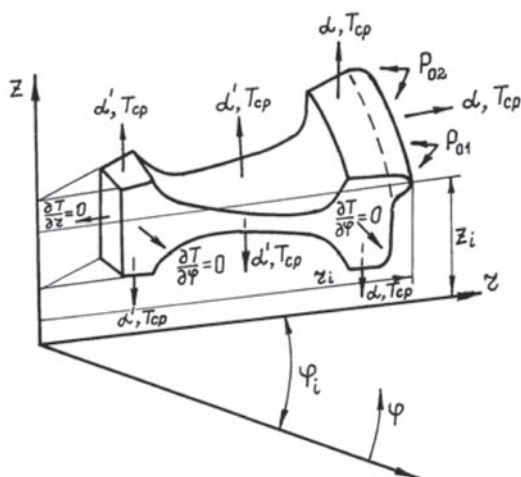


Рис. 2. Схема к постановке краевой задачи теплопроводности
 α — коэффициент теплоотдачи с учетом излучения;
 α' — коэффициент теплоотдачи без учета излучения;
 $T_{cp.}$ — температура среды; P_{o1}, P_{o2} — плотность потока теплоты на поверхности катания и гребне соответственно

на гребне и поверхности катания свободных от нагрева:

$$\alpha(T - T_{cp.}) = -\lambda(T) \frac{\partial T}{\partial z}; \quad \alpha = \alpha_k + \alpha_p,$$

где α_k , α_p — конвективная и радиационная (лучистая) составляющая коэффициента теплоотдачи.

Начальные условия имеют вид

$$T(r, \varphi, z, 0) = T_1(r, \varphi, z).$$

Размер элемента колеса в направлении координаты φ может быть $0 < \varphi < 360$. Выбор размера элемента колеса в окружном направлении определяется отсутствием градиента температуры или условием

$$\frac{T(\varphi)}{T'(\varphi)} \leq 0,01,$$

где $T(\varphi)$ — температура в точке i на торцевой поверхности; $T'(\varphi)$ — температура в точке $i-1$ по координате φ .

Следует учесть, что рассматриваемая область имеет подвижные границы, так как колесо вращается со скоростью 10 мм/с.

В литературе отсутствуют теоретические исследования проблем теплопроводности в ободе и диске колеса в такой постановке. Чаще всего задачи рассматриваются как одномерные, со значительными упрощениями формы колеса и большим объемом допущений: теплофизические свойства не зависят от температуры, охлаждение колеса в момент нагрева не учитывается, колесо неподвижно и другие.

Приведем некоторые исходные данные, необходимые для расчета.

Плотность теплового потока под прямым проводом индуктора, полученная расчетом с использованием рекомендаций [5], — $P_{01} = 1,08 \cdot 10^7$ Вт/м². Под обратным проводом индуктора — $P_{02} = 0,198 \cdot 10^7$ Вт/м². Скорость движения поверхности колеса относительно индуктора — 10 мм/с. За-

зоры между колесом и индуктором: под прямым проводом — 3 мм, под обратным — 9 мм. Продолжительность тепловых импульсов: первого (под прямым проводом индуктора) — 3,4 с, второго (под обратным проводом) — 5,0 с. Остывание между импульсами — 2,4 с.

Коэффициент теплопроводности колесной стали λ , полученный экспериментально и расчетным путем в соответствии с рекомендациями [6, 7], меняется близко к линейной зависимости от 20 до 850 °С в пределах: $\lambda_{20} \approx 45$ Вт/м · К, $\lambda_{850} \approx 24$ Вт/м · К.

Принято допущение [8], что в любой точке рассматриваемой среды соблюдается равенство произведения удельного сопротивления ρ и магнитной проницаемости μ ($\rho\mu = \text{const}$), так как их зависимости от глубины после появления нагретого слоя носят взаимопротивоположный характер. Удельное сопротивление на границе сред (температура точки магнитных превращений) уменьшается с ростом глубины. Магнитная проницаемость в области температур, близких к точке Кюри, изменяется резко (скачкообразно) и растет с увеличением глубины.

Глубина активного слоя ξ под прямым проводом индуктора, полученная расчетом [5], $\xi = 0,00475$ м. Глубина слоя, прогретого выше точки магнитных превращений, $\Delta_k = 0,003$ м.

Плотность и удельную теплоемкость колесной стали можно принять постоянными, не зависящими от температуры [9]: $\rho_{ст.} = 7850$ кг/м³, $C = 0,467$ кДж/кг · К.

Конвективная составляющая коэффициента теплоотдачи $\alpha_k = 22$ Вт/м² · К.

Радиационная (лучистая) составляющая коэффициента теплоотдачи α_p зависит от температуры [6]:

$$\alpha_p = \frac{C_o \varepsilon_k (T_n / 100)^4}{T_n - T_{cp.}},$$

где ε_k — степень черноты полного нормального излучения колесной

стали, $\varepsilon_k = 0,8 - 0,9$ [8]; C_0 — константа излучения абсолютно черного тела, $C_0 = 5,7 \text{ Вт/м}^2 \cdot \text{К}$; T_n , T_{cp} — температура поверхности и воздуха соответственно, $^\circ\text{К}$.

Рассматривая задачу в осесимметричной постановке, введем равномерную сетку в области $D\{(r_i, \varphi_i, \tau_i)\}$, руководствуясь при выборе шагов сетки Δr , $\Delta \varphi$, $\Delta \tau$ соображениями: сеточный контур должен достаточно точно описывать границу области; при повороте узлов сетки (r_i, φ_i) за один шаг по времени они занимают положение узлов (r_i, φ_{i+1}) ; соотношение шагов должно обеспечивать устойчивость разностной схемы, для построения которой вводится сетка. В качестве такого соотношения можно использовать условие Куранта, которое для рассматриваемой задачи имеет вид

$$1 + \frac{\Delta r}{R} \left(\frac{\Delta r}{R(\Delta \varphi)^2} + \frac{1}{2} \right) \leq \frac{(\Delta r)^2}{2 \frac{\lambda}{c_p} \Delta \tau}.$$

Указанным требованиям удовлетворяют следующие значения шагов сетки:

$$\Delta r = 0,5 \text{ мм}; \Delta \varphi = 0,0042 \text{ рад}; \Delta \tau = 0,4 \text{ с}.$$

Приводимые далее результаты расчетов получены с использованием системы Matlab.

В расчете моделировался следующий натурный эксперимент. В тонком приповерхностном слое в точках отрезка 00_1 , расположенных на расстоянии 0,5 мм друг от друга, фиксируются значения температуры через равные промежутки времени (рис. 3).

Полученные результаты показывают (рис. 4), что после нагрева поверхности катания вращающегося колеса под первым витком индуктора до температуры 820°C и несколько выше с принятой скоростью нагрева 170°C/с в результате теплоотвода в тело холодного колеса происходит падение температуры. Затем за счет нагрева под вторым витком индуктора температура возрастает и далее начинает постепенно снижаться. В верхних слоях металла при этом образуются структуры, обеспечивающие твердость 340–400 НВ в зависимости от времени неконтролируемого охлаждения на массу после выхода из-под второго витка индуктора. В подстилающих слоях обеспечивается твердость основного металла обода. Кроме того, в результате индукционного нагрева поверхности катания и гребня до температур $820\text{--}840^\circ\text{C}$ твердые участки поверхности катания колес (ползуны и т. п.) претерпевают фазовые превращения и их твердость выравнивается с твердостью остального металла.

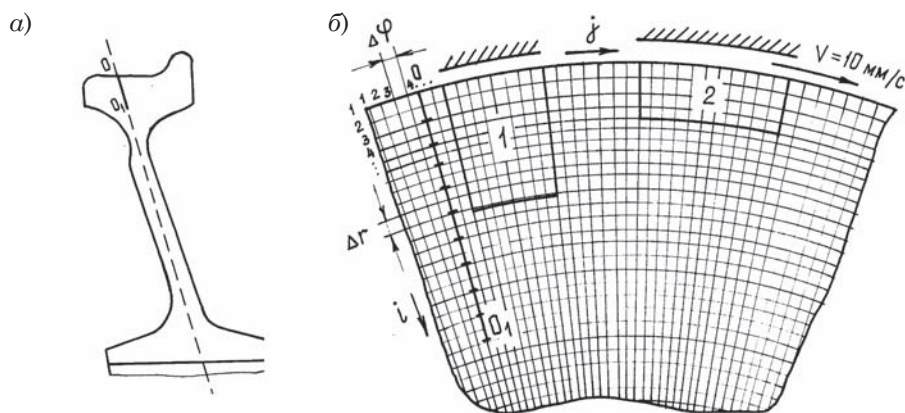


Рис. 3. Отрезок 00_1 поверхностного слоя колеса (а) и сеточный контур (б)
1 — зона нагрева под прямым проводом индуктора; 2 — под обратным проводом

Для сопоставления результатов расчета температурных полей с экспериментальными данными были произведены замеры температур, возникающих при индукционной термообработке колеса.

На рис. 5 приведены результаты замеров изменения температур в цельнокатаном колесе (0, 2, 4, 6 мм — точки 0, 1, 2, 3).

Сравнение расчетных данных с результатами эксперимента показало расхождение в пределах 10–15% в сторону завышения температуры. Несовпадение расчетных данных с опытными можно объяснить неточностью задания граничных усло-

вий на поверхностях колеса. Можно предположить, что действительное значение коэффициента теплоотдачи носит переменный характер, связанный с его лучистой составляющей. Ее величина зависит от температуры колеса. Поэтому в первые моменты времени, когда колесо начинает нагреваться, лучистая составляющая коэффициента теплоотдачи незначительна и общее его значение меньше принятого в расчете. Затем, по мере нагрева колеса, его температура увеличивается до значений, когда лучистая составляющая будет играть определяющую роль в процессе теплообмена колеса с окружающей

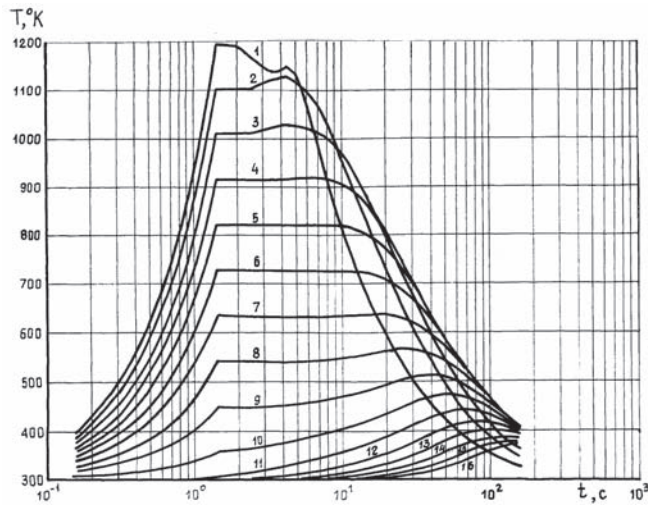


Рис. 4. Эволюция распределения температур по отрезку обода 00₁

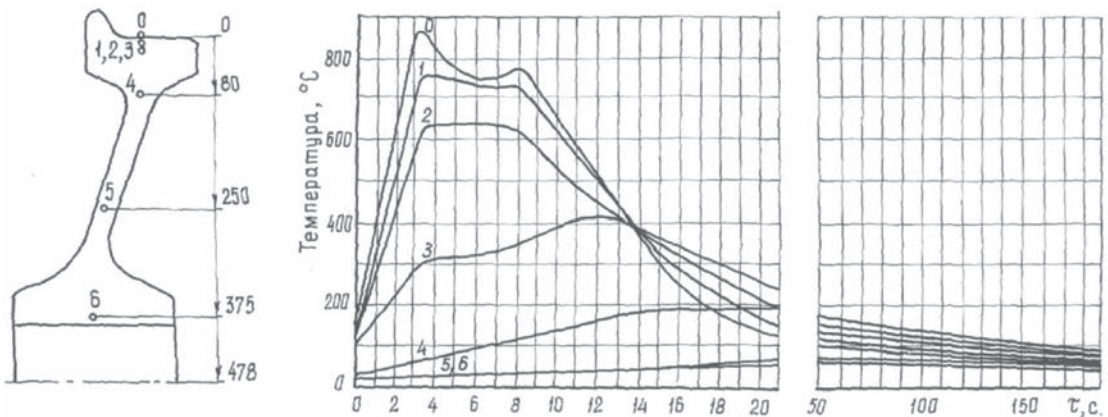


Рис. 5. Результаты эксперимента по замерам температур в цельнокатаном колесе

средой. Для получения действительного характера изменения коэффициента теплоотдачи необходимо решение ряда обратных задач.

Рациональное использование технологии индукционного нагрева ко-

лес при ремонте с целью восстановления механических свойств позволит повысить эффективность использования подвижного состава за счет заметного снижения количества закупок новых колесных пар. ■

Литература

1. А. с. № 1608234. Способ восстановления профиля поверхности катания колес рельсового транспорта.
2. Богданов А. Ф. и др. Восстановление профиля поверхности катания колесных пар / А. Ф. Богданов, И. А. Иванов, М. Ситаж / Под ред. И. А. Иванова. СПб : ПГУПС, 2000. 128 с.
3. Иванов И. А. и др. О постановке краевой задачи теплопроводности при индукционном нагреве обода колеса / И. А. Иванов, И. Г. Киселев, В. И. Родин, С. В. Урушев // Конструктивно-технологическое обеспечение надежности колес рельсовых экипажей. Сб. научн. тр. СПб : ПГУПС, 2009. С. 63–70.
4. Киселев И. Г. Теплотехника на подвижном составе железных дорог. М. : Транспортная книга, 2008. 278 с.
5. Установки индукционного нагрева / Под ред. А. Е. Слухоцкого. Л. : Энергоиздат, 1981. 328 с.
6. Кутателадзе С. С., Боришанский В. М. Справочник по теплопередаче. М. : Госэнергоиздат, 1957. 367 с.
7. Резников А. Н., Резников Л. А. Тепловые процессы в технологических системах: учебник для вузов. М. : Машиностроение, 1990. 288 с.
8. Нейман Л. Р. Поверхностный эффект в ферромагнитных телах. Л. : Гостехиздат, 1949. 187 с.
9. Чиркин В. С. Теплофизические свойства материалов (Справочное руководство). М. : Гос. Изд-во физ.-мат. лит., 1959. 356 с.

References

1. A. s. № 1608234. The method of profile reconstruction of wheel surface roll of rail transport.
2. Bogdanov A. F. and others. Profile reconstruction of wheel pairs' surface / A. F. Bogdanov, I. A. Ivanov, M. Sitazh / Edited by I. A. Ivanova. SPb : PGUPS, 2000. 128 s
3. Ivanov I. A. and others. About boundary problem of thermal conduction at induction heating of wheel tread / I. A. Ivanov, I. G. Kiselev, V. I. Rodin, S. V. Urushev // Construction- technological support of wheel rail vehicles. Collection of scientific. proceedings. SPb : PGUPS, 2009. P. 63–70.
4. Kiselev I. G. Heat engineering on the rolling stock of railroads. M. : Transport book, 2008. 278 p.
5. Induction heating plants / Edited by A. E. Slukhotskogo. L. : Energoizdat, 1981. 328 p.
6. Kutateladze S. S., Borishansky V. M. Manual on heat transfer.: M. : Gosenergoizdat, 1957. 367 p.
7. Reznikov A. N., Reznikov L. A. Thermal processes in technological systems: textbook for Universities. M. : Electrical engineering, 1990. 288 p.
8. Neiman L. R. Surface effect in ferromagnetic bodies. L. : Gostekhizdat, 1949. 187 p.
9. Chirkin V. S. Materials' heat-transfer properties (Reference manual). M. : State publishing house of fiz.-mat. lit., 1959. 356 p.

References (transliteration)

1. A. s. № 1608234. Sposob vosstanovleniya profilya poverkhnosti kataniya koles relsovogo transporta.
2. Bogdanov A. F. i dr. Vosstanovlenie profilya poverkhnosti kataniya kolesnykh par / A. F. Bogdanov, I. A. Ivanov, M. Sitazh / Pod red. I. A. Ivanova. SPb : PGUPS, 2000. 128 s.

3. Ivanov I. A. i dr. O postanovke kraevoy zadachi teploprovodnosti pri induktsionnom nagreve oboda kola / I. A. Ivanov, I. G. Kiselev, V. I. Rodin, S. V. Urushev // Konstruktsionno-tekhnologicheskoe obespechenie nadezhnosti koles relsovykh ekipazhej. Sb. nauchn. tr. SPb : PGUPS, 2009. S. 63–70.
4. Kiselev I. G. Teplotekhnika na podvizhnom sostave zheleznykh dorog. M. : Transportnaya kniga, 2008. 278 s.
5. Ustanovki induktsionnogo nagreva / Pod red. A. E. Slukhotskogo. L. : Energoizdat, 1981. 328 s.
6. Kutateladze S. S., Borishanskij V. M. Spravochnik po teploperedache. M.: Gosenergoizdat, 1957. 367 s.
7. Reznikov A. N., Reznikov L. A. Teplovye protsessy v tekhnologicheskikh sistemakh: uchebnik dlya vuzov. M.: Mashinostroyeniye, 1990. 288 s.
8. Neiman L. R. Poverkhnostnyy effekt v ferromagnitnykh telakh. L. Gostekhizdat, 1949. 187 s.
9. Chirkin V. S. Teplofizicheskie svoystva materialov (Spravochnoe rukovodstvo). M. : Gos. Izd-vo fiz.-mat. lit. 1959. 356 s.

Статья сдана в редакцию 29 октября 2010 г.

УПРАВЛЕНИЕ. ЭКОНОМИКА

УДК 656.078.1

М. Корнашевски, М. Хшан, В. Новаковски

ETCS как способ унификации систем управления железнодорожным движением в Польше и в Европе

UDK 656.078.1

M. Kornaszewski, M. Chrzan, W. Nowakowski

ETCS as a method of systems' unification of controlling train movement in Poland and Europe

Аннотация

Развитие рынка железнодорожных перевозок — стимул для введения технических новинок. Появляется необходимость приспособления технологических решений к эксплуатационным требованиям в трансграничном движении. Европейский Союз подчеркивает необходимость введения полной интероперабельности в рельсовом транспорте. Примерами могут служить европейская система управления железнодорожным движением (ERTMS), европейская система управления движением поездов (ETCS) и глобальная система мобильной радиосвязи для железных дорог (GSM-R). В этом контексте внедрение европейской системы управления железнодорожным движением (ERTMS, ЕСУЖД), начатое в первой половине девяностых годов, главным образом, благодаря совместным исследовательским программам, а затем поддерживаемое благодаря финансовым средствам, предназначенным для трансевропейских сетей, является большим прогрессом в области развития интероперабельности и безопасности сети. В настоящее время ЕСУЖД состоит из двух основных подсистем: GSM-R, опирающаяся на стандарт GSM, использующая, однако, соответствующие для железных дорог частоты и другие развивающиеся функции. Это радиосистема, применяемая с целью обмена информацией (голос и данные) между наземными и бортовыми устройствами; европейская система управления поездом, которая дает возможность не только передавать машинисту поезда информацию, касающуюся допускаемой скорости, но также ведет непрерывный контроль над тем, выполняет ли водитель эти указания.

Ключевые слова:

GSM-R, ETRMS, ETC, системы управления железнодорожным движением, сигнализационные системы.

Abstract

The development of railway transportation market is a huge impulse for implementing technical novelties. There is a need to adapt technological solutions to operational requirements in the international move. The European Union is putting a large emphasis on introduction of full interoperability in rail transport. The examples could be European Rail Traffic Management System (ERTMS), European Train Control System (ETCS) and Global System for Mobile Communication — Railway (GSM-R).

In this context, the introduction of the European Rail Traffic Management System (ERTMS), begun in the first half of the 90-s, mainly due to the joint research programs, and then supported by funds intended for the trans-European networks is a big progress in the development and interoperability network security.

Currently ERTMS consists of two major subsystems: GSM-R, based on standard GSM, but uses the appropriate rate for the railways and other emerging features. This radio system is used to exchange information (voice and data) between ground and on-board devices; ETCS-European Train Control System makes it possible both to pass a train driver the information relating to permissible speed, and to maintain continuous control if the driver follows these instructions.

Key words:

GSM-R, ETRMS, ETCs, Rail Traffic Management System, Signaling Systems.

Корнашевски Мечислав — канд. техн. наук, доцент Радомского государственного технического университета; Радом, Польша. E-mail: m.kornaszewski@pr.radom.pl.

Хшан Мартин — канд. тех. наук; Радомский государственный технический университет; Радом, Польша. E-mail: m.chrzan@pr.radom.pl.

Новаковски Вальдемар — канд. техн. наук; завод железнодорожной автоматики KOMBUD S.A; Радом, Польша. E-mail: nowal@go2.pl.

Kornaszewski Mieczysław — PhD, Associate professor; Faculty of Transport and electrical engineering of Radom State Technical University; Radom, Poland. E-mail: m.kornaszewski@pr.radom.pl.

Chrzan Marcin — PhD, Associate professor; Faculty of Transport and electrical engineering of Radom State Technical University; Radom, Poland. E-mail: m.chrzan@pr.radom.pl.

Nowakowski Waldemar — PhD, Associate professor; railway automation plant KOMBUD S.A; Radom, Poland. E-mail: nowal@go2.pl.

Железнодорожный транспорт, несмотря на введение революционных изменений, с самого начала своего существования воспринимается как тяжелый, консервативный и неподдающийся новшеству сектор экономики. Изменение такого облика отвечает интересам железнодорожного дела, особенно во времена расширения Европы и растущей конкуренции в транспорте. Открытие железнодорожной сети для широкой конкуренции, начатой ЕС, стремится к созданию единого европейского железнодорожного пространства.

Системы класса АТР (автоматическая защита поезда) необходима для введения на польских железных дорогах скоростей 200–250 км/ч. Их необходимо установить на линиях важных международных транспортных коридоров, и поэтому они должны соответствовать ETCS. Это связано с приспособлением железнодорожной сети в Польше к международным стандартам и обеспечением так называемой европейской интероперационности железнодорожной сети. Стандартная европейская система передачи информации путь — транспортное средство и контроля движения поезда ETCS (европейская система управления движением поездов — European Train Control System) является основной составляющей европейской системы управления железнодорожным движением ERTMS (European Rail Traffic Management System).

Необходимо обеспечить плавное пересечение границ железнодорожного управления без долгой стоянки во время замены локомотива, а также уменьшение инвестиционных и эксплуатационных расходов путем расширения рынка и введения рыночных правил конкуренции между производителями систем управления для железной дороги благодаря предъявлению потенциальным производителям полной документа-

ции интерфейсов между модулями системы и функциональных и системных требований относительно отдельных модулей.

Интероперационность не является целью самой по себе и должна рассматриваться отдельными железнодорожными перевозчиками разных государств с точки зрения расходов и прибыли. Скорейшее внедрение интероперационности оправдано в областях, в которых расходы могут окупиться относительно в достаточно короткое время (напр., GSM-R).

В настоящее время в Европе существуют одновременно 20 различных сигнализационных систем. Эти системы, как правило, развиты в сфере государственной железнодорожной сети, очень дифференцированы относительно их летных качеств (оптимизация расстояния между поездами и возможности данных линий) и степени безопасности. Высокие издержки, которые являются причиной действующих систем, свидетельствуют также, что часть железнодорожных сетей все еще не имеет систем контроля скорости.

В 1989 году Европейская комиссия приняла решение о начале исследований и работ над развитием ERTMS. Европейская комиссия обратилась к железнодорожным властям отдельных государств с вопросом разработки требований для системы управления. С этой целью Международный союз железных дорог (МСЖД) выдвинул проект A200, известный как проект ETCS. Декларация проекта ETCS была подписана европейскими государствами в 1992 г. Польская государственная железная дорога намерена, в первую очередь, применить систему ERTMS/ETCS на участке маршрута линии Е-30 (Легница — Нижняя Белява) и на Центральной железнодорожной магистрали, являющейся фрагментом международного пути Е-65 [5].

Европейская система управления железнодорожным движением

включает в себя унифицированную европейскую поездную радиосвязь GSM-R (Global System for Mobile Communication — Railway) и унифицированную европейскую систему безопасного контроля движения поездов ETCS. Обе системы являются существенными компонентами европейской политики ликвидации барьеров в транспорте как в области технических барьеров на железнодорожных сетях в пределах ЕС, так и в сфере создания общего рынка продуктов и услуг для нужд железной дороги.

ETCS основан на цифровой передаче «путь — транспортное средство». Передача может осуществляться посредством путевых приемопередатчиков, коротких, средних или длинных петель, цифрового радиоканала или специализированных трансляционных модулей. Данные, описываю-

щие путь, и данные, описывающие транспортное средство, предназначены для вычисления статических и динамических профилей скорости. Вычисленный профиль постоянно сравнивается с актуальной скоростью в функции положения. Необходимая для этого функция локализации основана на однозначно различаемых (благодаря уникальному номеру) и точно локализуемым устройствах для точечной передачи (путевых приемопередатчиках или маркерах конца петли) [2].

Благодаря возможности системы ERTMS наступит значительное улучшение способа провоза и размещения грузов и их безопасности на транспортных составах. Самое существенное — процессы погрузки и разгрузки товаров подлежат соответствующему контролю [6].

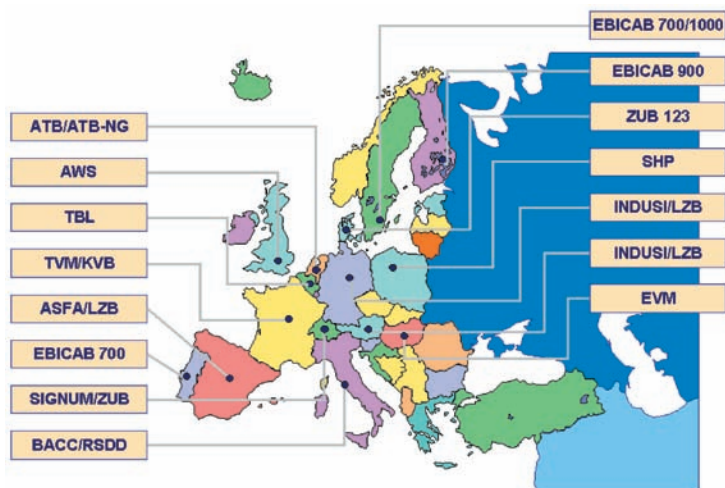


Рис. 1. Размещение различных сигнализационных систем в Европе



Рис. 2. Архитектура системы ERTMS

Сегодня государства-члены Европейского Союза заменяют применяемые до сих пор радиосистемы, которые в эпоху цифровых технологий типа GSM оказались устаревшими, системой GSM-R. Эти изменения происходят очень быстро почти во всей Европе. На основе стандартов общественной сети GSM эта система по отношению к предыдущим системам, развиваемым обычно исключительно в национальном масштабе, дешевле и гарантирует высшее качество. GSM-R в настоящее время внедряется на территории Франции, Испании, Италии, Швеции, Швейцарии, Великобритании и Германии. Тамосние железнодорожные корпорации решили применять эту систему в своих поездах.

Система мобильной радиосвязи для железных дорог GSM-R является частью европейской системы управления железнодорожным движением и разработана для требований создания стройной и трансъевропейской железнодорожной системы. GSM-R в странах Евросоюза заменяет ряд систем государственной железнодорожной радиосвязи. Внедрение системы GSM-R — это не только повышение качества мобильной радиосвязи, но также ликвидация

барьеров из-за применения множества решений в Еврооюзе для разговорной связи и передачи данных согласно требованиям железнодорожных приложений [2].

Основанная на технологии мобильной связи GSM железнодорожная платформа связи GSM-R вводится теперь в качестве европейского стандарта в системы железнодорожной связи. Платформа GSM-R содержит приложения, обслуживающие передачу голоса и данных по радио согласно требованиям движения поездов, что до сих пор осуществлялось исключительно при помощи разных аналоговых и цифровых систем. Эта технология является международным стандартом связи GSM-R железнодорожного транспорта и уже внедрена в Германии и в нескольких европейских странах.

В Польше строительство началось в 2009 году. Проект предусматривает строительство и запуск полной инфраструктуры для GSM-R пилот на E-65.

Планы внедрения системы GSM-R в Польше представлены на карте, на которой разными цветами обозначено ее внедрение в ближайшие годы (рис. 3).

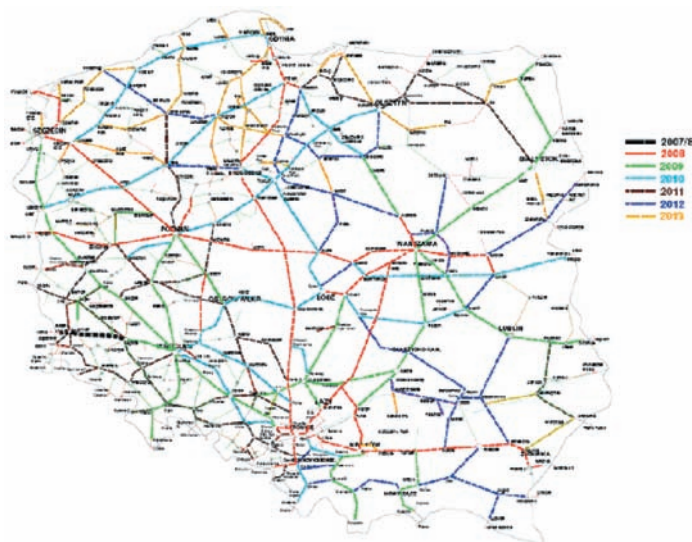


Рис. 3. Шкалы и заказ оборудования железнодорожных дорог в Польше в систему GSMR [5]

GSM-R использует GSM 900 и кроме ведения разговоров открывает пользователям доступ (вместе с разговорным каналом) к цифровому радиоканалу для отправления данных, доступ к групповым вызовам, определению приоритета вызовов, функциональной адресации, адресации, зависимой от размещения и другим специализированным функциям, предназначенным для железной дороги.

С помощью ETCS наземная система передает в бортовую систему информацию, позволяющую постоянно вычислять максимальную допустимую скорость. Так как требования управления зависят от типа железнодорожной линии, спецификация предусматривает три уровня внедрения системы ETCS, причем для каждого уровня возможно еще выделение разных конфигураций оборудования.

Уровень 1 (без актуализации) основан на передаче посредством путевого приемопередатчика разрешения на движение, выдаваемого световыми сигнализаторами. К сигнализатору посредством кодера присоединяется переключаемый путевой европриемопередатчик (рис. 5), передающий разрешение на движение в зависимости от показания сигнализатора бортовому устройству ETCS, которое на основе полученной информации контролирует машиниста: управляет ли он поездом согласно показанию сигнализатора.

Уровень 1 (с актуализацией) можно реализовать в разных конфигурациях оборудования, причем актуализация может иметь точечный (дополнительные путевые приемопередатчики) или частичный характер (европетля). Возможна также актуализация информации через особый трансляционный модуль в национальную систему, например, использование передачи посредством кодированных рельсовых цепей системы КНР.



Рис. 4. Радио GSM-R [1]

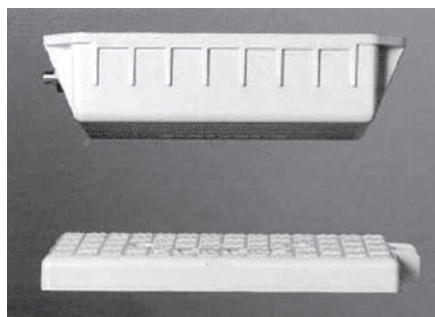


Рис. 5. Строение и способ крепления путевого европриемопередатчика (ETCS) [3]

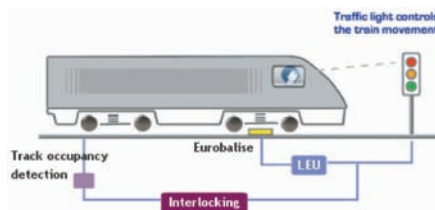


Рис. 6. Общая схема первого уровня ERTMS/ETCS [3]

Уровень 2 основан на радиосвязи GSM-R для передачи разрешения на движение и конвенциональ-

ной технике контроля занятости путей для подготовки разрешения на движение на основе существующего устройства srk (управление железнодорожным движением) основного слоя.

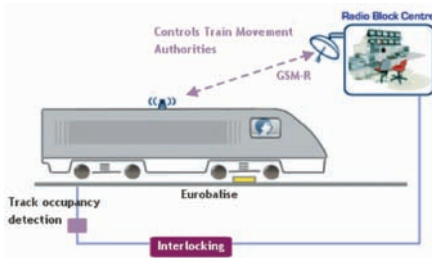


Рис. 7. Общая схема второго уровня ERTMS/ETCS [3]

Уровень 3 основан на радиосвязи GSM-R для передачи разрешения на движение и замещении конвенциональной техники контроля занятости путей комбинацией контроля положения поездов и контроля непрерывности составов. Благодаря этому возможна подготовка разрешения на движение по принципу путевой блокировки.

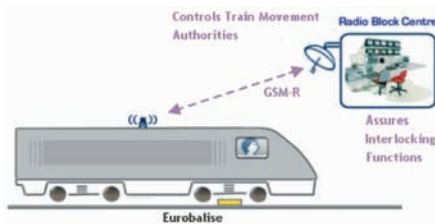


Рис. 8. Общая схема третьего уровня ERTMS/ETCS [3]

На всех уровнях бортовой компьютер поезда сравнивает скорость поезда с максимальной допустимой скоростью движения и в случае ее превышения автоматически тормозит поезд [2].

Ввиду того, что на польской железной дороге будет устанавливаться система ERTMS только на международных линиях и учитывая факт, что слишком много различных кон-

фигураций в пределах одного железнодорожного управления затрудняло бы управление вагонным парком, было принято решение, что в Польше на линии Е-30 будет установлен второй уровень ERTMS [4].

Второй уровень ERTMS/ETCS использует два канала передачи «путь – транспортное средство»: цифровой радиоканал GSM-R и передачу с помощью путевого европриемоответчика. Радиоканал является очень хорошим трансляционным медиумом, однако не позволяет определить актуальное положение поезда на основе принимаемой информации. Тем временем, точное и актуальное определение положения поезда необходимо для контроля его движения. Для этого была использована цепь путевых европриемоответчиков. Путевые европриемоответчики устанавливаются на путях между рельсами и прочно прикрепляются в определенных местах. Отдельная группа в зависимости от потребностей может содержать от одного до восьми путевых приемоответчиков. Для второго уровня применяются группы по два путевых приемоответчика или же группа одного путевого приемоответчика. Применение большего количества групп не является необходимым, так как достаточен информационный объем отдельного путевого приемоответчика (приблизительно 1000 битов пользователя). Применение группы (двух и больше путевых приемоответчиков) служит более быстрому определению направления движения поезда. Для второго уровня используются пассивные приемоответчики, для которых не требуются никакие кабели (ни информационные, ни для питания).

Поезд передает в Центр радиоблока (Общая служба пакетной радиопередачи) свою характеристику и положение. Центр определяет статические профили скорости для данного поезда и вычисляет результирующий статический профиль скорости.

Этот профиль передается поезду с целью вычисления так называемого динамического профиля, который, благодаря сравнению его с актуальным положением и актуальной скоростью поезда, контролирует управление поездом [1].

Внедрение систем ETCS и GSM-R — это, главным образом, стремление к развитию железнодорожного транспорта, сохранение его высокой безопасности, а также повышение его производительности и качества услуг для клиентов. Темп введения современной системы ETCS зависит, прежде всего, от финансовых возможностей Евроюза и отдельных стран.

Преимущество внедрения европейской системы управления железнодорожным движением ERTMS по отношению к подсистеме ETCS — это, прежде всего, повышение пропускной способности, которая, в зависимости от локальных условий, может повыситься на 2–8%, повышение безопасности движения поездов (теперь безопасность движения поездов и помощь машинистам обеспечи-

вают более 20-ти различных систем, которые несовместимы друг с другом) и большая вероятность безошибочности железнодорожных устройств.

В 2007 году в странах Евроюза система GSM-R была принята или контрактována примерно на 100 тыс. км линии.

Преимущество внедрения ERTMS по отношению к подсистеме GSM-R: обновление устройств для связи и переход к международным стандартам (государства-члены ЕС заменяют теперь применяемые до сих пор радиосистемы, которые в эпоху цифровых технологий типа GSM немного устарели, системой GSM-R). Эти изменения происходят почти во всей Европе. На основе стандартов общественной сети GSM система GSM-R по отношению к предыдущим системам, развиваемым, как правило, исключительно в национальном масштабе, дешевле и гарантирует высокое качество перевозок в связи с возможностью запуска дополнительных услуг при использовании GSM-R как платформы для дополнительных аппли-



Рис. 9. Шкалы и заказ оборудования железных дорог в Польше в систему ETCS [5]

каций (системы дистанционного мониторинга, системы бронирования, системы информации для пользователей, связь в сигнальных системах и т.п.), контролирование тяговых транспортных средств и вагонов, а благодаря этому — лучшее использование парка подвижного состава и снижение капиталоемкости перевозной деятельности.

Внедрение ETCS тормозят технические и финансовые проблемы. Система ETCS может быть принята исключительно на полностью обновленных линиях в сфере управления.

Такой модернизации должны предшествовать изменения рельсовой системы. Поэтому внедрение ETCS должно стать последней фазой модернизации железнодорожных линий в отдельных государствах Европы.

Проблемой при внедрении ETCS в польских условиях являются большие инвестиционные издержки на линейные и бортовые устройства в тяговых транспортных средствах. Кроме того, при большом разнообразии вагонного парка значительно увеличиваются расходы на оснащение тягового состава. ■

Литература

1. Chrzan M. Современные системы связи для станции. Железнодорожные проблемы, Центр научно-технической, Варшава, 2006. [На польском языке].
2. Dyduch J., Kornaszewski M. Сигнализации : Системы. Радом: Издатель университета Радом, 2007 [На польском языке].
3. http://ertms.uic.asso.fr/2_etcs.html.
4. Kornaszewski M. Интеграция европейских железнодорожных систем в качестве примера ЕРТМС. Транспорт и связи 1/2009. [На польском языке].
5. Комиссия европейских сообществ, Сообщение Комиссии Европейскому парламенту и Совету о разворачивании европейской железнодорожной сигнализации ERTMS/ETCS. COM (2005) 298 окончательный, Брюссель, 2005.
6. Национальный план выполнения Европейской системы управления железнодорожным движением в Польше — документ, принятый Советом министров, Варшава, 2007. [На польском языке].
7. Ромашкова О. Н. Перспективы адаптации сотовой системы мобильной связи на железнодорожном транспорте // Телекоммуникации и управления движением. EMI-PRESS 4/2004.

Literatura

1. Chrzan M. Nowoczesne systemy łączności dla potrzeb PKP. Problemy Kolejnictwa, Centrum Naukowo-Techniczne Kolejnictwa, Warszawa, 2006.
2. Dyduch J., Kornaszewski M. Systemy sterowania ruchem kolejowym. Wydawnictwo Politechniki Radomskiej, Radom, 2007.
3. http://ertms.uic.asso.fr/2_etcs.html.
4. Kornaszewski M. Integracja europejskich systemów kolejowych na przykładzie systemu ERTMS. Transport i Komunikacja, 1/2009.
5. Komisja wspólnot europejskich: Komunikat Komisji dla Parlamentu Europejskiego i Rady w sprawie rozmieszczenia europejskiego systemu sygnalizacji kolejowej ERTMS / ETCS. COM (2005) 298 końcowy. Bruksela, 2005.
7. Narodowy Plan Wdrażania Europejskiego Systemu Zarządzania Ruchem Kolejowym w Polsce — dokument przyjęty przez Radę Ministrów, Warszawa, 2007.

References

1. Chrzan M. Modern communication systems for the station. Railway Problems, Center for Scientific and Technical, Warsaw, 2006. [in Polish].
2. Dyduch J., Kornaszewski M.: Signalling Systems. Publisher University of Radom, Radom 2007. [in Polish].
3. http://ertms.uic.asso.fr/2_etcs.html.
4. Kornaszewski M. Integration of European railway systems as an example of ERTMS. Transport and Communications 1/2009. [in Polish].

5. Commission of the European communities, Communication from the Commission to the European Parliament and the Council on the deployment of European rail signaling system ERTMS/ETCS. COM (2005) 298 final. Brussels, 2005.

6. The National Implementation Plan of the European Rail Traffic Management System in Poland — a document adopted by The Council of Ministers. Warsaw, 2007. [in Polish].

7. Romashkova O. Perspectives on Adaptation of cellular mobile communications systems for rail transport. Magazine: Consumer and motion control. EMI-PRESS 4/2004.

References (transliteration)

1. Chrzan M. Sovremennye sistemy svyazi dlya stantsii. Zheleznodorozhnye problemy, Tsentr nauchnotekhnicheskoy. Varshava, 2006. Na polskom yazyke.

2. Dyduch J., Kornaszewski M. Signalizatsii sistemy. Izdatel universiteta Radom. Radom 2007. Na polskom yazyke.

3. http://ertms.uic.asso.fr2_etcs.html.

4. Kornaszewski M. Integratsiya evropejskikh zheleznodorozhnykh sistem v kachestve primera ERTMS. Transporta i svyazi 1 2009. Na polskom yazyke.

5. Komissiya evropejskikh soobshchestv, soobshchenie komissii evropejskomu parlamentu i sovetu o razvertyvanii evropejskoj zheleznodorozhnoj signalizatsii ERTMS. ETCS. COM (2005) 298 okonchatelnyj. Bryussel, 2005.

6. Natsionalnyj plan vypolneniya evropejskoj sistemy upravleniya zheleznodorozhnym dvizheniem v Polshe — document, prinyatyj Sovetom Ministrov. Varshava, 2007 goda. Na polskom yazyke.

7. Romashkova O. N.: Perspektivy adaptatsii sotovoj sistemy mobilnoj svyazi na zheleznodorozhnom transporte. Zhurnal: Telekommunikatsii i upravleniya dvizheniem. EMI-PRESS 4, 2004.

Статья сдана в редакцию 1 октября 2010 г.

М. Б. Петров

Некоторые проблемы территориального освоения и транспортного развития севера Урала и Западной Сибири

М. B. Petrov

Some problems of territories assimilation and transport development of northern Urals and Western Siberia

Аннотация

Рассмотрена проекция сценариев развития экономики России на процессы освоения территорий Севера. Север для России — сфера стратегическая, тем более что сейчас усиливается международное соперничество за контроль над ресурсами Арктики.

Россию во многом лишил свободы маневра именно навязанный ресурсно-экспортный путь в глобальную экономику. Преодоление такого положения сняло бы с российского Севера ту излишнюю нагрузку, тот императив, задаваемый сложившимися экономическими противоречиями, который существенно обостряет комплекс социальных и экологических проблем, ограничивает возможности рационального природопользования.

Цели инициирования больших транспортных проектов в зоне Урала связаны со стремлением полнее задействовать геоэкономический потенциал срединных регионов страны, которые должны со временем получить развитый веер транспортных коммуникаций для реализации своей интеграционной и транзитной роли. Ныне самым большим проектом освоения северных ресурсных территорий является создание транспортного коридора «Урал промышленный – Урал Полярный» вдоль Уральского хребта.

В отношении развития этих территорий выделены две группы приоритетов. Первая касается населенных зон. Вторая — новых ресурсных территорий.

Ключевые слова:

стратегия территориального освоения; транспортное обеспечение; инфраструктура освоения; Север Урала и прилегающие регионы; инфраструктура; ресурсно-экспортный и модернизационный сценарии.

Abstract

The author examined the scenario projection of Russian economy development on the processes of northern territories' assimilation. The North is the strategic area for Russia, the more so because in the modern world the international competition to control the resources of the Arctic is increasing.

The dictated resource and export way to the global economy deprived Russia of maneuver freedom. Overcoming such state would reduce the extra load from Russian North, which was set by the existing economic contradictions and which worsens the complex of social and economic problems, limits the possibilities of rational use of natural resources.

The aims of initiating big transport projects in the Urals are connected with the determination to use more the geo-economic potential of country middle regions, which should later get the developed network of transportation links to realize their integration and transit role. Today the largest project of northern resource territories' assimilation is the development of transport corridor «Ural industrial — Ural polar» along the Ural mountain range.

There are two groups of priorities for these territories' development. The first group applies to inhabited areas. The second one concerns resource territories.

Key words:

Strategy of territories' assimilation; transport support; assimilation infrastructure; Northern Urals and neighboring areas; infrastructure; resource and export modernization scenario.

Михаил Борисович Петров — д-р техн. наук, руководитель Центра развития и размещения производительных сил Института экономики Уральского отделения Российской академии наук; Екатеринбург, Россия. michpetrov@mail.ru.

Mikhail Borisovich Petrov — DSc, Head of development centre and productive forces distribution of Economics Institute of Russian Academy of Sciences Ural Branch; Ekaterinburg, Russia. E-mail: michpetrov@mail.ru.

Статья подготовлена при финансовой поддержке УрО РАН, проект 09-П-46–2001.

На протяжении длительных периодов практического освоения Россией своих северных территорий главными мотивами оставались поиск дополнительных природных ресурсов и геостратегическая организация пространств. В современной России эти процессы продолжают в условиях последствий резких перемен в базисных общественных отношениях и новых глобальных вызовов. Поиск национальной стратегии стал ареной острой борьбы, в которую вовлечены как внутренние, так и внешние силы, а стратегические сценарии долгосрочного освоения Севера определяются ходом и исходом этой борьбы.

В любом случае, Север для России — сфера стратегическая, тем более, что в современном мире усиливается международное соперничество за контроль над ресурсами Арктики. Стратегия опирается на определенную социально-экономическую парадигму, проявление которой связано с прогрессом фундаментального экономического знания. Кроме того, нужно обеспечивать своевременное обновление экономических отношений для последовательного проведения провозглашаемых государственных стратегий как в текущем, так и долгосрочном контекстах. За период рыночных реформ экономические преобразования и механизмы, в основном, преподносились обществу как самоцель, но это лишь средство достижения желаемых перемен в обществе. Необходимо рассматривать мероприятия экономической политики как инструмент для решения поставленных стратегических задач.

Освоение северных и приполярных территорий в России XXI века следует рассматривать как долгосрочный планомерный процесс в контексте выхода страны на новые циклы развития и в соответствии с определяемой для этих циклов генеральной национальной стратегией. Размещение и развитие производительных

сил на северных уральских территориях определяется ресурсно-сырьевым потенциалом этих территорий (месторождения твердых полезных ископаемых, лесные ресурсы). Освоение этих пространств неизменно сопряжено с социально-демографическими и экологическими проблемами.

В отношении развития рассматриваемых территорий выделим две группы приоритетов.

Первая касается относительно населенных зон, где нужно при соблюдении некоторых ограничений создавать условия для усиления экономической связности с освоенными территориями соответствующих регионов путем сближения уровней обеспеченности всеми видами инфраструктур и повышения комфортности жизни населения. Здесь необходимо решать ряд структурных экономических проблем: инфраструктурные диспропорции; исключительно сырьевая специализация хозяйства; межтерриториальная дезинтеграция и нарастание экономического расслоения; монофункциональность территориальных систем.

Значительная часть территориальных экономических систем России, возникших в северных и приполярных широтах в связи с успешным решением прежних геополитических задач, не нашла себя в новой экономике, испытывая наибольшие трудности социально-экономического характера. Это относится к монопрофильным центрам, полностью зависящим от технологий градообразующих предприятий.

Вторая группа приоритетов — в отношении новых ресурсных территорий, где освоение подчинено целям вовлечения в хозяйственный оборот природных ресурсов, в первую очередь, ископаемого сырья и энергии. Размещение производительных сил на таких территориях направлено на эти ресурсы, но их освоение должно вестись комплексно

и сопровождаться созданием в рамках социально-экономической целесообразности диверсифицирующих производств.

Сама постановка вопроса о развитии и размещении производительных сил на новых территориях обусловлена появлением определенных экономических возможностей крупномасштабного развития и является признаком возобновления развития. С другой стороны, внимание к таким территориям связано с новой геополитической реальностью, когда обостряются противоречия (неравномерность глобального расселения и распределения природных ресурсов, усиление давления на страны с наибольшими природными ресурсами).

Развитие в сторону новых ресурсных территорий, таким образом, будет выходить на новый цикл. Но его направленность, масштабы, темпы и структура неоднозначны. Они определяются политикой и практикой мобилизации накопленных ресурсов, распределения и использования национального дохода. Стремление осуществить долгосрочные крупномасштабные инвестиции и тем самым обеспечить достаточную устойчивость, долговременность экономического роста приводит к инициированию крупнейших проектов, направленных на вовлечение новых природных ресурсов и создание инфраструктуры их освоения.

Эти проекты будут реализовываться под воздействием определенного типа политики развития, а их результаты соответствовать генеральному сценарию развития. Освоение новых ресурсных территорий может пойти на современном этапе развития страны в рамках экспортно-ресурсного либо модернизационного сценария.

Первый из них представляется инерционным (естественным) в условиях сложившихся экономических отношений. Естественное течение сформировавшихся социально-экономических процессов приведет к реали-

зации одного из двух сходных по своим результатам вариантов экспортно-ресурсного сценария развития Севера. Один заключается в точечном освоении ресурсов и создании комплексов по добыче, транспортировке, частичной переработке и экспорте сырьевых и энергетических ресурсов с вовлечением в этот процесс крупнейших, в том числе транснациональных корпораций. Другой вариант инерционного сценария аналогичен, но в нем освоение будет идти силами российского бизнеса, который из-за большей ограниченности инвестиционных возможностей будет ориентироваться, в первую очередь, на лидерство в издержках производства, что может означать большую экологическую и социальную нагрузку на регион нового освоения. Причем государственная поддержка отечественного товаропроизводителя может здесь выразиться в значительном снятии с него внешних эффектов, что неизбежно обострит противоречия корпораций и территорий в интересах владельцев этих корпораций.

Такой ход событий будет лишь усиливать сырьевую специализацию России в международном обмене. Объекты нового развития вольются в сформировавшийся и влиятельный рентоориентированный сектор хозяйства, в котором идет присвоение ресурсной ренты, извлекаемой при экспорте прежде всего. При этом фактор природного сырья испытывает повышенную нагрузку в формировании стоимости национального продукта. Сценарий инерционного сырьевого саморазвития будет продвигать по новым инфраструктурным коридорам (например, «Урал промышленный — Урал Полярный») процессы сырьевой глобализации. По существу, гарантирована полная конкурентоспособность многих видов дефицитных для внешнего мира природных ресурсов.

Необходимо менять характер включения страны в мирохозяйственные

связи и использования экспортных доходов. Источником их образования в значительной мере стала эксплуатация природных ресурсов Севера. В предкризисный период наиболее стабильно работала экспортно-ориентированная часть сырьевого и топливно-энергетического комплекса России, за счет которой поддерживалось положительное сальдо торгового баланса. Валютная выручка — основа образования доходов, а опосредованно — и импортных закупок, на которых держится потребительский, в том числе и продовольственный рынок. Присвоение выручки от экспорта ресурсов — материальная основа скоробогачества известных групп населения, а также основной экономической стимул в проведении политики ориентации страны на подчинение мировым рынкам, а не на самостоятельные цели и приоритеты.

Даже текущая добыча сырья и эксплуатация освоенных месторождений не везде смогли сохранить или более или менее успешно восстановить циклы своего воспроизводства. То есть природные ресурсы растрачиваются без надлежащего воспроизводства даже по нефти и газу. При уникальной конъюнктуре, которая выпала на предкризисные годы, нет существенного продвижения в вопросах комплексной подготовки и обустройства новых нефтегазоносных площадей для замещения месторождений, вступивших в фазу падающей добычи. Еще хуже положение с развитием минерально-сырьевой базы по твердым ископаемым, в том числе по рудам черных и цветных металлов.

Слом мировой конъюнктуры в ходе циклического кризиса 2008–2010 годов дает возможность снова критически оценить сформированный у нас способ включения в мировую экономику, включая и тезис о безальтернативности глобализации. Страны мира уже сейчас демонстрируют разную степень рецессии в зависимости от соотношения между глобализмом

и изоляционизмом в их экономике и политике. Россию именно навязанный ресурсно-экспортный путь в глобальную экономику во многом лишил свободы маневра. И сейчас крайне важен сценарий выхода страны из фазы рецессии и депрессии.

Между тем, крупнейшие проекты по вовлечению северных ресурсных территорий иницируются государственными структурами, в первую очередь, для восполнения минерально-сырьевой базы. Эти проекты рассматриваются, прежде всего, как способ смягчения зависимости традиционных ресурсопотребляющих отраслей промышленности от дальнепривозного сырья и энергоносителей при том, что возросла роль этих предприятий и отраслей в структуре национального производства и экспорта.

Однако системная экономическая проблема здесь в природе социально-экономического эффекта такого восполнения. Что дальше? Ведь будут приняты меры по освоению сравнительно доступных, но уже в большинстве случаев не столь богатых и крупных источников сырья как те, на базе которых долгие годы шла первичная индустриализация (например, на Урале). Их инерционное вовлечение без создания механизма получения стратегического национального эффекта будет означать новую растрату горно-ресурсной ренты. Именно это должно вызывать наибольшие опасения.

Преодоление такого положения сняло бы с российского Севера ту излишнюю нагрузку, тот императив, задаваемый сложившимися экономическими противоречиями, который существенно обостряет комплекс социальных и экологических проблем, ограничивает наши возможности рационального природопользования. Это возможно на путях осуществления модернизационного сценария.

Суть его в поэтапном и планомерном преодолении нарастающего отставания в технологическом разви-

тии, катастрофического износа системобразующих средств производства и сокращающихся производственных возможностей экономики путем технологической модернизации. Для ее осуществления нельзя обойтись без мобилизации и концентрации ресурсов на приоритетных направлениях прогресса, требующих системной организации государственной политики в области развития. Общую цель такой политики предлагается сформулировать как создание условий для перехода к новому циклу развития на основе следующего поколения базисных технологий. В этом сценарии освоение новых ресурсных территорий Севера ориентируется на возможно более полное использование новых ресурсов внутри страны с тем, чтобы радикально повысить степень выхода конечного продукта с вовлекаемых природных ресурсов, при максимальной национализации ресурсной ренты с экспортируемых природно-сырьевых товаров. Мобилизация рентных источников для концентрированного стратегического развития — решающее условие такого сценария.

Если будет поставлена задача ориентации развития производительных сил на новых территориях на стратегию возрождения на основе глубокой технологической модернизации, то станет востребованным стратегический подход к отбору и оценке мероприятий развития, отличный и не обязательно совместимый со скорейшей коммерческой окупаемостью вложений. В этом сценарии приходится делать главную ставку не на внешние инвестиции, а на мобилизацию собственных. В качестве ведущего критерия оценки стратегических мероприятий предлагается критерий наращивания ресурсно-технологического потенциала экономической системы. Стратегия может рассматриваться как системное, целесообразное, оптимизирующее развитие экономики.

Однако инвариантом всех сценариев остается ресурсный профиль северных территорий нового освоения. По каждому виду природного сырья необходимо находить оптимальные технологические стадии, до которых следует вести переработку вблизи добычи, то есть на вновь осваиваемых территориях, и на которых транспортировать эти ресурсы с этих территорий. Такое разделение процессов обусловлено дискретностью освоения этих территорий, для которых на протяжении всего обозримого периода будет оставаться значимым фактор удаленности, обособленности, точечного, позже — узлового, размещения производительных сил. Территориальные комплексы, образующие, в конечном счете, региональную специализацию, должны включать в себя кроме добычи первичную переработку и адекватную производственную и социальную инфраструктуру.

Производственная инфраструктура представлена как системными связующими отраслями — транспортной и энергетической, так и производствами по обслуживанию основного производственного оборудования. По своей структуре и уровню организации это и локальные, и региональные, и макрорегиональные инфраструктуры. К последним отнесем электроэнергетику и транспорт, однако только транспорт не имеет альтернативы в смысле наличия обязательного транспортного выхода на большую землю.

Социальная инфраструктура может создаваться в районах освоения в разных объемах и степени комплексности в зависимости от способа привлечения трудовых ресурсов на строительство и эксплуатацию. Для средних и крупных объектов с точечной локализацией, видимо, целесообразно ориентироваться на труд относительно постоянного населения, сводя к минимуму применение вахтового метода, предусматривая строительство поселков

для эксплуатационников, начинающих с пионерных поселков для строителей. Для рассредоточенных по территории объектов и для строительства магистралей придется определить базовые города, в которых целесообразно размещать обслуживающие производства и организации непроизводственной сферы. Состав и структура социального обустройства должны соответствовать статусу и рангу поселения.

Самый разрекламированный ныне пример нового большого проекта освоения северных ресурсных территорий — создание транспортного коридора «Урал промышленный — Урал Полярный» вдоль Уральского хребта. Этот проект получает поддержку администраций и бизнес-сообщества, в частности, Свердловской и, особенно, Челябинской областей, где развита металлургия и куда нарастает ввоз промышленного сырья и топлива. Так, уже свыше 40 южноуральских предприятий выразили готовность стать его инвесторами. По их ожиданиям, реализация проекта позволит резко снизить возможные угрозы глобальных сырьевых кризисов, политические спекуляции, а, порой, и сырьевой шантаж предприятий. В Челябинской области потребность в привозных железных рудах превышает 20 млн т в год. Годовой дефицит хромовых руд составляет 620 тыс. т, марганцевых — 282 тыс., цинковых концентратов — 180 тыс., кварцитов — 310 тыс. Несмотря на то, что все эти ожидания построены на оценках геологических ресурсов (а не запасов высоких категорий достоверности), утверждается, что реализация проекта позволит обеспечить промышленность необходимым сырьем как минимум на сто лет, а также сократить транспортное плечо почти в три раза.

В настоящее время выполнено технико-экономическое обоснование и ведутся проектно-изыскательские работы железнодорожной магистрали

Полуночное — Обская по трассе, проходящей вблизи Восточного склона Урала по территориям севера Свердловской области, Ханты-Мансийского и Ямало-Ненецкого округов. То есть новая магистраль ориентирована на ресурсы этих территорий.

Цели инициирования больших транспортных проектов в зоне Урала связаны со стремлением полностью задействовать геоэкономический потенциал срединных регионов страны, которые должны со временем получить развитый веер транспортных коммуникаций для реализации своей интеграционной и транзитной роли. Сейчас после очень длительного перерыва ставится в практическую плоскость задача транспортного обустройства так называемого северного широтного экономического пояса (Архангельск — Коми — север Урала — Сибирь). Его формирование предполагает решение в качестве первоочередных следующих транспортно-экономических задач:

1) дальнейшее транспортное обустройство Западно-Сибирского нефтегазового комплекса и развитие его транспортных выходов на восточные регионы. На эту задачу в «Стратегии развития железнодорожного транспорта до 2030 г.» направлены Севсиб и Полярная железная дорога с ответвлениями по территории Тюменской области;

2) освоение новых источников промышленного сырья и топлива на Севере — вдоль Уральского хребта, на Тимане, в Печерском регионе, а в последующем и на севере Сибирского региона для его переработки на предприятиях промышленного пояса страны. Этому отвечает проект «Урал промышленный — Урал Полярный» и отдельные пионерные линии на Северном Урале и прилегающих территориях;

3) организация магистральных транспортных связей по большим северным диагоналям. Приоритетным примером такой диагонали мо-

жет быть транспортное направление Урал — северо-запад для транспортировки, в первую очередь, на предприятия Урала угля и бокситов Тимано-Печерского региона и создания кратчайшего магистрального пути с Урала к портам Баренцева и Белого морей (Белкомур). Это направление сыграет важную роль и для кратчайшего международного транзита из Северной Европы в страны Азии;

4) долгосрочная системная задача — поэтапный переход от сети с преимущественно древовидной конфигурации к большой транспортной решетке. Все локальные задачи развития без этого будут создавать дополнительную нагрузку на Транссиб при сохранении удлиненного плеча перевозок по потокам, зарождаемых в районах нового освоения. Формирование в перспективе северного сквозного широтного хода — Севсиба, сопрягаемого с транспортной сетью северо-запада страны, будет способствовать разгрузке Транссиба, его лимитирующих узлов и участков, спрямлению маршрутов перевозок массовых грузов. В конечном счете, новый широтный ход станет мощнейшим фактором размещения производства и пространственного развития России. При обосновании отдельных проектов эта системная задача должна всегда учитываться, поскольку большие проекты без учета их взаимодействия и вписания в существующую сеть неизбежно становятся конкурирующими как друг с другом, так и с основной сетью за ресурсы на развитие.

Эти транспортно-экономические задачи отражают транзитную и обеспечивающую роль Урала, то есть связи и ресурсы.

Спонтанно реализуемый до сих пор ресурсно-экспортный сценарий порождает наиболее острые сетевые диспропорции в развитии инфраструктуры железнодорожного транспорта. Доступ к любым новым ресурсным базам будет означать бо-

лее быстрый рост грузопредъявления по сравнению с экономическим ростом при нарастании неравномерности в развитии сети. Приоритет во вложениях будут получать грузообразующие участки, опорная сеть будет воспринимать грузопотоки с нарастающим напряжением.

Вместе с тем, в современных условиях возможности привлечения корпоративных инвестиций в развитие сети обусловлено именно дополнительными грузопотоками в интересах инвесторов. Это остро проявляется в отношении сооружения магистрали «Урал промышленный – Урал Полярный». Она обосновывалась потоками сырьевых грузов, которые будут зарождаться почти исключительно на новых месторождениях Северного, Приполярного и Полярного Урала. В этих грузах особенно велика заинтересованность уральской металлургии, а в освоении и создании горно-промышленных предприятий — ХМАО и ЯНАО. Но слишком велики риски. Дело в том, что все месторождения зоны новой магистрали находятся на ранних этапах геологического изучения, что делает особенно высокими неопределенность и риски. С позиции эксплуатационной загрузки новой линии эти риски можно смягчить тщательной проработкой схемы интеграции будущей магистрали в сеть. Так, на формирование транзитных грузопотоков по трассе «Урал промышленный – Урал Полярный» первостепенное влияние будут оказывать объекты Газпрома на п-ве Ямал. С появлением в перспективе моста через Обь, прямой железнодорожный выход на Урал получит восстанавливаемая Ямальской железнодорожной компанией Полярная железная дорога, функционирующая сейчас в режиме рабочего движения на участках Коротчаево – Ягельная – Новый Уренгой – Надым и Ягельная – Ямбург.

Важнейшая проблема нашего времени — организация и управление

осуществления стратегий. Целесообразно сформировать систему управления развитием как единой транспортной системой страны, так и транспортными системами на уровне макрорегионов. Она должна включать

циклический процесс подготовки схем развития и размещения транспортных систем на основе взаимной увязки решений по развитию разных видов транспорта, и межрегионального сопряжения. ■

Литература

1. Стратегия и генеральная схема развития железнодорожного транспорта РФ до 2030 г. Официальное издание. — М., 2008.
2. Петров М. Б. Геополитический аспект ресурсной специализации и ресурсной обеспеченности региона // Вестник УГТУ-УПИ; Сер.: Экономика, 2010, № 2. С. 113–125.
3. Петров М. Б. Приоритеты развития в условиях кризиса и после него // Вестник УрГУПС, 2009, № 4. — С. 12–18. ISSN 2079–0392.

References

1. Strategy and master plan of Russian Federation Railway transport development till 2030. Official edition. — M., 2008.
2. Petrov M. B. Geopolitics aspect of resource specialization and region's resource procurement // Vestnik of USTU, Series: Economics, 2010, № 2. P. 113–125.
3. Petrov M. B. Development priorities in crisis and after it // Herald of USURT, 2009, № 4. P. 12–18. ISSN 2079–0392.

References (transliteration)

1. Strategiya i generalnaya skhema razvitiya zheleznodorozhnogo transporta RF do 2030 g. Ofitsialnoe izdanie. — M., 2008.
2. Petrov M. B. Geopoliticheskij aspekt resursnoj spetsializatsii i resursnoj obespechennosti regiona // Vestnik UGTU-UPi; Ser.: Ekonomika, 2010, № 2. S. 113–125.
3. Petrov M. B. Prioritety razvitiya v usloviyakh krizisa i posle nego // Vestnik UrGUPS, 2009, № 4. — S. 12–18. ISSN 2079–0392.

Статья сдана в редакцию 15 октября 2010 г.

СТРОИТЕЛЬНЫЕ КОНСТРУКЦИИ

УДК 624.046.012/072:626/027:550.343:539.4

*С. М. Скоробогатов, В. А. Хомяков,
О. Н. Морданов, Е. С. Морданова*

Классификация катастроф железобетонных конструкций

UDK 624.046.012/072:626/027:550.343:539.4

*S. M. Skorobogatov, V. A. Khomyakov,
O. N. Mordanov, E. C. Mordanova*

Classification of catastrophes of reinforced concrete structures

Аннотация

Статья посвящается дальнейшей разработке элементов технических катастроф. Термины предложенной классификации строительных катастроф заимствованы из классификации природных катастроф, включающих три типа катастроф: «тренд», «экстремум» и «срыв». Оказалось, что использованная классификация более оправдана и предметна для строительных катастроф, чем для природных.

Основной предвестник — предсказуемость и другие физические свойства искусственных катастроф были подробно рассмотрены и табулированы. Чтобы выявить отличительные черты и более доходчивые формы концепции катастроф, авторы использовали стадии работы из двух групп известной методики предельных состояний для строительных конструкций.

Ключевые слова:

классификация, типы катастроф, «тренд», «экстремум», «срыв», живучесть, трещина, меры предотвращения.

Abstract

The paper is devoted to further elaboration of technical disasters elements. Terms of the proposed classification of building disasters were taken from one of natural disasters' classifications including three types of disasters: «Trend», «Extremum» and «Stripping». The used classification appears to be more justified and objective for building disasters than for natural ones.

The main indicator — predictability and other physical properties of artificial disasters were fully described and tabulated. To find out the distinctive features and more comprehensive formulation of disasters' concepts, the authors used work stages of two groups of the limit condition method for building structures.

Key words:

Classification, Types of Catastrophes, «Trend», «Extremum», «Stripping», Serviceability, Crack, Preventive Measures.

Семен Макеевич Скоробогатов — д-р техн. наук, профессор, член-корреспондент Российской академии архитектурных и строительных наук, заслуженный деятель науки Российской Федерации; кафедра «Строительные конструкции» Уральского государственного университета путей сообщения; Екатеринбург, Россия. S.Skorobogatov@sksp.usurt.ru.

Валерий Александрович Хомяков — инженер; директор Департамента менеджмента конструкторской группы «Active Forms»; Екатеринбург, Россия.

Олег Николаевич Морданов — инженер; главный специалист архитектурно-строительного контроля Свердловской области; Екатеринбург, Россия.

Елена Семеновна Морданова — инженер; Екатеринбургский монтажный колледж; Екатеринбург, Россия.

Semen Makeevich Skorobogatov — DSc, professor, correspondent member of Russian Academy of Architecture and Construction Sciences, Honoured Science Worker of Russian Federation, «Building structures» department of the Ural State University of Railway Transport, Ekaterinburg, Russia, S.Skorobogatov@sksp.usurt.ru.

Valery Alexandrovich Khomyakov — engineer, director of Active Forms design group management Department; Ekaterinburg, Russia.

Oleg Nikolaevich Mordanov — engineer, key specialist of Sverdlovsk region architectural-building control, Ekaterinburg, Russia.

Elena Semenovna Mordanova — engineer, Ekaterinburg assembly college, Ekaterinburg, Russia.

Brief contents were published in Russian journal. «Concrete and Reinforced Concrete», 2008, № 1, in proceedings of Russian Academy of Architecture and Building Sciences and in other reports.

Overwhelming majority of dwelling houses, bridges, viaducts and other engineering buildings was built from reinforced concrete in the 20th century, especially after the Second World War, and is approaching its age-limit in the 21st century. Historically, concrete is a new building material. Its properties at its age-limit were almost not studied though the problems of its durability and serviceability are urgent and of importance. Numerous technical catastrophes, which happened in the last century, are strongly motivating its analysis, synthesis and creation of a classification of technical building catastrophes.

There is no ideal for catastrophe classifications. To create a classification, the author applied to the advanced experience of natural catastrophes. Terms of the proposed classification of building catastrophes were taken from one of the classifications of natural catastrophes, including three types of catastrophes: «Trend», «Extremum» and «Stripping» (V.I. Kuznetsov and others, 1998). The «Trend» and the «Extremum» belong to slow catastrophes, but the «Stripping» belongs to a quick one. The used classification appears to be a more justified and objective for building catastrophes than for natural ones.

To work out a special-purpose tabulated form for the classification (see tables 1 and 2), the main indicator — predictability and other concomitant physical properties of concrete buildings were taken into consideration for widely accurate presentation. There are indistinct boundaries between slow catastrophes of «Trend» and «Extremum». To create more distinctive features and more comprehensive formations of catastrophe concepts, the author has used various limit states of structure behaviour from the well-known groups of the limit design techniques for building structures.

Catastrophes of the type of «Trend»

Physical hotbeds of catastrophe «Trend» are unexpected but predict-

able after the plastic strain in reinforcement bars had been revealed. The visual forerunner of such catastrophes is determined at the time of exceeding of ultimate sagging and width of cracks. The reasons of these catastrophes may be determined with the help of the calculation on the second group of the limit state techniques (sagging, cracks), as the calculation permits to verify the value of the acting load being compared with the normal (service) and design loads, especially, with the theoretical failure load.

Naturally, catastrophes of the «Trend» type may be easily noticed by factory and office workers and the more so as householders. For example, the increasing of sagging of load-bearing structures being more than the limit values, i.e. 1/50 of the span, and opening cracks under a long-term load being more than 0,3 mm can be easily noticed.

Gradual increasing of sagging and opening cracks over years leads to excessive increase of stresses both in working reinforcement and in the compression concrete zone. In the long run, this phase of behaviour approaches inadmissible deformation and plastic demolition because of yield of steel. Predictability of the moment of time of the demolition increases if there are routine condition surveys or monitoring based on experimental data.

We refer to the following buildings as to prominent, clearly defined examples of slow approaching catastrophes:

1. The acclivous reinforced concrete shell for the roof structure (66×36 m) for the building over sport ice-field. In the corner zones of this shell there were dangerous diagonal cracks with their width of even about 2 mm;

2. The bearing reinforced concrete ring (annular girder), $D = 80$ m, with normal cracks with the width of 0,4 mm under the dome made from acute arches over the building of the sport palace.

The main reason of unfavourable states of the above-mentioned because

Table 1

Classification of technical catastrophes for reinforced concrete buildings with degree of predictability

A visual forerunner of the catastrophe	A physical hotbed of the catastrophe	Nature of damage and demolition of elements or buildings
Catastrophes of the type of «Trend». Great predictability		
Slow, excessive and noticeable sagging and noticeable formation of cracks in tensile elements and tensile zones of buildings	Plastic deformation in longitudinal reinforcements. Dangerous formation of normal cracks in concrete as consequence of overloading of floor plates, girders and other bending and tensile elements	Local plastic damage of separate elements because of excessive deformation in working reinforcement
Catastrophes of the type of «Extremum». Weak predictability		
Noticeable cracks but in hand accessible places: inclined cracks in high beams, vertical cracks above supports in bridge beams. Noticeable sagging of structures is absent	Excessive stresses in compressive inclined stripes of concrete. Excessive stresses in concrete from crushing over beam supports. Development of micro cracks in compressive concrete under bending and action of aggressive surroundings	Avalanche-type brittle damage in elements because of unexpected damage of compressive concrete under elastic phase of longitudinal working reinforcement
Catastrophes of the type of «Stripping». Predictability is absent		
A forerunner of the catastrophe under the normal or service loads is absent. Unpredictability is increased by the fact of adequate exploitation until appearing the design load. Noticeable sagging of a structure is absent	Excessive stresses in concrete from crushing (local failure) in joints between compressive elements of columns. Excessive stresses of compressive concrete in beams and shells under long design loads. Stress concentration because of fatigue failure and stress corrosion in reinforcement	Avalanche-type brittle damage in elements of a building because of unexpected damage of compressive concrete in joints, columns and compressive inclined stripes and from brittle damage in longitudinal tensile reinforcement from stress concentration

Table 2

Conditions of detection and accident preventive measures

Conditions of detection and prediction of a catastrophe	Accident preventive measures	Some examples of approaching and existent catastrophes
Catastrophes of the type of «Trend». Great predictability		
They can be revealed by a householder and factory workers. The date of demolition can be prognosticated through increasing of sagging and cracking	Traditional measures of strengthening structures. Traditional stages of design calculation. Using prestressed reinforcement in accordance with modern tendency and practice in construction	Acclivous shells for roof structures (with cracks in corner zones for the building (over sport ice-field). Bearing ring (annular girder) with normal cracks under the dome made from acute arches. Roof structure, floor structures with lack of reinforcement
Catastrophes of the type of «Extremum». Weak predictability		
They can be revealed by a householder, but they can be analyzed only by a specialist-investigator. Because of brittle damage the date of demolition cannot be prognosticated	Traditional stages of design calculation, including a new calculation on longitudinal crack resistance of compressive zones. Receptivity of the main tensile forces. Strengthening of compressive zones in bending elements, including foundation slabs	High girder web with inclined crack from wave impact action. Viaducts with vertical cracks above bearing supports. Thin foundation slabs. Walls and floors in reservoirs with aggressive condition
Catastrophes of the type of «Stripping». Predictability is absent		
Physical hotbed and noticeable forerunner are not revealed by all-known engineering methods, excluding the seismometry profiling and seismotomography for the through sounding of concrete and longitudinal reinforcement.	Use of various structural models, above design actions (battering-rams of an airplane, explosions, impacts). Creation of serviceable space systems. Necessity of strengthening buildings during exploitation does not appear	Demolition of a metal and reinforced concrete bridge over the river of Pyshma. Demolition of a roof structure over the building of «Aqua-park». Demolition of roof structures over some indoor pools. Failure of roof beams with site welding of reinforcement. Failure of joints in columns

of the absence of the traditional prestressing for working tensile reinforcements in tensile elements and in tensile zones of bending beams.

As is customary, in modern construction all the floor precast slabs, roof trusses and eaves girders are made with prestressed reinforcements. The catastrophes of the "Trend" may also develop in bending precast and monolithic floor structures working on beam-and-slab floor system and space structures.

Catastrophes of the type of «Extremum»

Physical hotbeds of catastrophes of «Extremum» are unexpected, but tolerably predictable in tensile or compression concrete because of accumulation of concrete degradation. For example, this can be under excessive opening of inclined cracks from the main tensile forces, and opening of vertical cracks from the local failure of concrete over the bearing supports in bridge beams. Beside that, the physical hotbed can be longitudinal cracks from overstresses in the compression zones of over-reinforced bending elements because of inadequate longitudinal crack resistance in concrete.

Under opening inclined and longitudinal cracks the stresses in the working reinforcement even illogically exist in the elastic state. But the damage of concrete from these processes above is usually brittle and unexpected with time. It is unfavourable for the analysis that the damage of these processes above does not have a big sagging. That is why, their emergency states can be determined only by specialists-inspectors. Hence, the forerunner of the catastrophe is weak predictable. The catastrophe is also caused by lack of calculation which provides the requirements of the second group of the design limit states (inclined and longitudinal crack resistance).

Let us explain the effect of overstresses in the compression zone of bending elements with average or

over-reinforcement on their longitudinal crack resistance or the serviceability as a whole. Stresses in extreme fibres even under design load can exceed the value of the design strength, R_b , if the stress block is taken as rectangular stress distribution differing from the actual one. Overstresses in the extreme compression fibres can cause further gradual evolution of micro-, mezo- and macrocracks completing with brittle failure and consequently unexpected damage. Aggressive sphere in the process of maintenance, in addition, impairs the porous disturbed discontinuous concrete composition, decreases the concrete strength and increases the stress-strain state in the compression zone of the cross section in bending elements. If the latter is case, then the shorting of the design working life can be more or less determined with numerous techniques. Among them (in particular) are techniques by L. V. Pukhonto, 2001; A. M. Podvalniy, 2004; N. K. Rozental, G. V. Chekhniy, 2002; A. V. Vasilyev, 2000; V. P. Chirkov, 1999; A. I. Popesko and others, 2006.

For bending elements over reinforced transversal, normal cracks located in the tensile zone cannot be strongly opened. Presence of such cracks can be revealed by a householder, but the analysis of these cracks to search for a catastrophe forerunner is possible by a specialist with a special technique. To predict this specific state, the author of the paper has worked out the technique of the serviceability [1, 2] which can obtain the longitudinal crack resistance in the compression concrete zone of bending elements. This technique makes it possible predict catastrophe even under the condition of the absence of building history and under aggressive surroundings.

As an example, we refer to cast-in-place and precast slab floors in the drop shafts and aeration tank of the north aeration sewage station of Ekaterinburg. Because of disturbed porous concrete in the compression zone in slab

the actual working life of this building was sharply shortened.

Example of an approaching catastrophe of the type of «Extremum» has been found in the deep concrete eaves beams (deep = 3,36–3,66 m and with 7–10 m span) in roof over the building of the circus. In the thin webs of these beams there had been inclined cracks with width of 0,1–1,0 mm which appeared from the action of the main tensile forces from wave impact action. In such case of the action the compression and tensile chords had not been touched. There was a real danger of brittle damage along the inclined compressive stripes. The deep bearing beams did not give great sagging. Besides, they were concealed by the suspended ceiling. The inclined cracks were revealed accidentally. The weak predictability because of absence of noticeable sagging permits referring this kind of failure to the catastrophe of the type of «Extremum».

Catastrophes of the type of «Stripping»

Physical hotbeds of the catastrophe of «Stripping» occurs from overstresses of concrete in joints of compression columns, in reinforced concrete roof shells and from stress concentration in reinforcement because of fatigue weakness or corrosion under even the elastic work of reinforcement. A forerunner of the catastrophes under the normal or service load is absent because of failure of the compression concrete, or failure of working reinforcement occurs brittle, suddenly and, that is why, unpredictably. In this case of catastrophes, noticeable sagging is absent. But the structures can work under the service load during even some years till then the design load appears the so more the theoretical failure load is further.

Such pattern of a latent period of the physical hotbeds without the visual forerunner appeared in the concrete joints between elements of a compression column. The concealed hotbed had appeared in the metal-concrete bridge

over the river of Pyshma. The upper chord of the bridge was composed from precast reinforced concrete plates with about 2 m length. Between plates there must be connected joints in the form of a concrete seam of grade 600. Instead of strong concrete, the seams with the width of 140 mm had probably been filled with plaster mortar. Nevertheless, the bridge had successfully been operated within some years under comparatively light load and was damaged under the load not exceeding the design load.

One more example of the stripping catastrophe was found in reinforced concrete columns of almost complete multi-storied building (V.I. Veits, 1984). The availability of using weak mortar in the joints of the columns resulted in the brittle damage.

Mistakenly adopted the structural space diagram caused overstress in the concrete of compression elements and the brittle demolition of the well-known building «Aqua-park» in Moscow. This catastrophe happened after the long period of the working life.

Cases of the brittle damage of roof reinforced concrete beams are possible because of the stress concentration in welded joints of the working longitudinal rebars after the temperature gradient, especially in the north region of the country. The corrosion fissuring in the working welded reinforcement of roof structures over some indoor pools because of dangerous evaporation is very harmful.

The inadequate cover depth of concrete is the most frequent reason of corrosion in the main reinforcement. This deficiency of the cover depth is common reason both in many old cast-in-place concrete structures and bridges and in many up-to-date cast-in-place and precast structural elements. The increased porosity in concrete resulting from low quality of concrete elements causes a concealed hotbed of a catastrophe which can arise many years later, after successful long maintenance. There

were cases of revealing dangerous chlorides and sulfates in the cement mortar with injection for the grouted tendon in beams that is impermissible.

Possible combination of some types of catastrophes

It is possible that all hotbeds of all three types of catastrophes can really be revealed in multi-storied reinforced concrete carcass for high-rise buildings for the general purpose (see figure).

The hotbeds of catastrophe «Stripping» can appear as a result of unreliably designed columns, especially under the ground floor. The weak columns can successfully work under the normal service load till the appearance of the actual design long-term load. The columns of the bottom floors are really responsible for well-being of the whole concrete carcass. Their unreliability can cause the avalanche-type growing of all structural elements of a building. An observable, noticeable forerunner of the catastrophe is usually absent. That is why, this possible unexpected damage should be related to the type of «Stripping».

Hotbeds of catastrophe «Extremum» can exist in unjustifiably thin concrete foundation plates under the multi-storied concrete carcass of a building. Non-uniform settlements of concrete supports of the carcass and the degradation of concrete in the foundation plates usually proceed slowly. The forerunner of this degradation is the inclined cracks in a vertical plate of the diaphragm between the columns of a carcass. At the same time, the revealing of such forerunner is only possible with the help of inspectors.

The timely presence of dangerous cracks and the disrupted concrete composition in the oversize foundation plates can only be determined with the help of the throughout seismometry profiling or seismotomography [5, 6].

The weak predictability and the sudden brittle damage of concrete can cause avalanche-type demolition of the

whole carcass of the building. That is why, these circumstances refer such a damage of the foundation plate and, by the way, the vertical diaphragm of stiffness to the possible catastrophe of the type «Extremum».

Hotbeds of the catastrophe of the «Trend» are concealed in the oversize plastic strain in the working reinforcement of beams or floor plates because of the overloading. The deterioration or the demolition of a separate cast-in-place or precast concrete floor structure (plate or girder) in one of the spans cause the cessation of the exploitation of one or two storeys, but not the whole carcass. That is why, such a damage has local character, i.e. not avalanche-type. In this case the degree of responsibility is lowered in comparison with the other types of catastrophes. Consequently, the damage described above may be referred to the type «Trend».

Elaboration of classification of catastrophes is favorable and helps for more active searches of their physical hotbeds in the process of the design, revealing the forerunner during the time of exploitation and for perspective accumulation of materials for development of real space diagrams and structural models of a bearing carcass of complicated unique buildings for the sport, administrative, social and other purposes (figure 1).

Some administrative and technical measures for the prevention of catastrophes

At the present time, the following recommendations, which were based on the recent scientific papers and modern building codes, can be enumerated with assurance:

1. Monitoring of the stress-strain and technical state in unique buildings in the processes of construction and exploitation (V.A. Ilyichev, 1999; S.A. Ambursumyan, N.G. Nersesyan, 2005);

2. Determination of the residual reserve for old buildings using the spe-

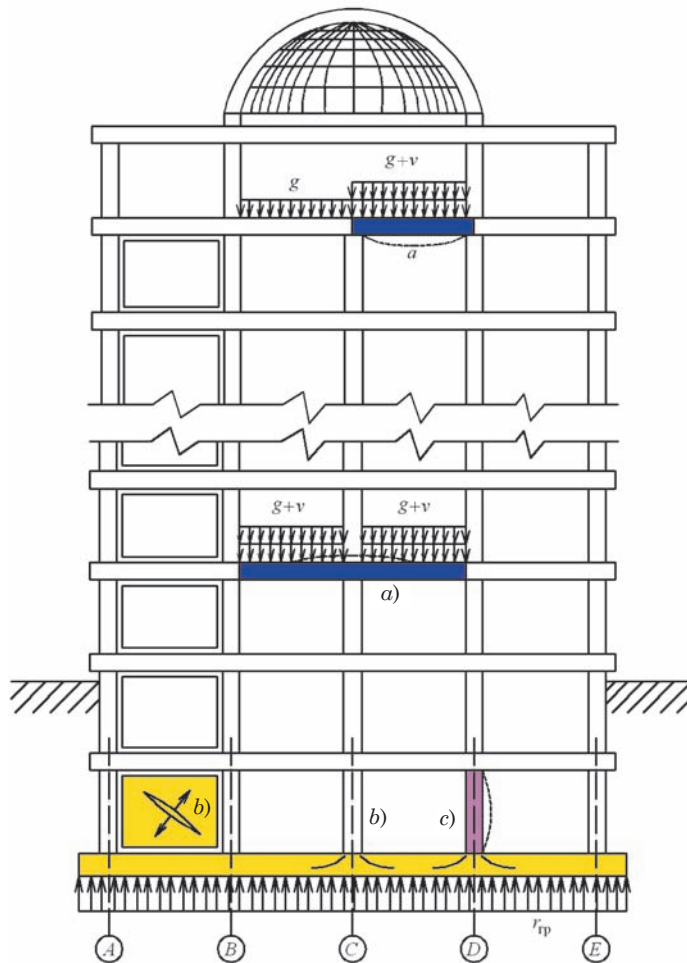


Fig. 1. Possible physical hotbeds of technical catastrophes of the types of «Trend (a)», «Extremum (b)» and «Stripping (c)» as an example of elements of a reinforced concrete carcass

cial techniques of the power resistance of the compression concrete zones in bending elements (V.M. Bondarenko and others, 2002);

3. Determination of the mutual effect of foundation plates and a multi-storied reinforced concrete carcass (V.I. Solomin and others, 1986).

4. Design of a carcass of a high building from a blow of airplane (V.A. Ilyichev, 2000);

5. Application of the program complexes with various algorithms for the solution of some design diagrams of unique buildings (A.V. Perelmutter, V.I. Slivker, 2005);

6. Implementation of techniques of the serviceability (the long crack resistance) for bending reinforced concrete elements, especially under the condition of the aggressive environment and absence of the construction history [1, 2];

7. Design of the bearing capacity of a carcass on over-design loads under the sudden damage of a separate element (girder, plate) (V.I. Kolchunov, 2005);

8. Application of the viability space carcass for unique buildings under the condition of the indeterminacy of the value of loading from external

effects (N.P. Abovskiy, L.V. Endzhievskiy, 2005);

9. Application of special accident proof megastructures used in the high-rise buildings in Kuala-Lumpur, the capital of Malaysia;

10. Using the seismometrical profiling and seismotomography for the through sounding of concrete and longitudinal reinforcement in massive and extensive structures [4].

Conclusions

1. The results of the proposed classification of technical building catastrophes can be used for further researches, for further development and im-

provement. Nevertheless, relying on the presented classification of the catastrophes, the following preliminary conclusions can be given;

2. The first and the second recommendations provide the prevention of catastrophes of the types of «Trend» and partially «Extremum»;

3. The third, the fourth, the fifth and the sixth recommendations above increase the probability of prevention of catastrophes of the type «Extremum»;

4. The seventh, the eighth, the ninth and the tenth recommendations above reduce the probability of the quick catastrophes, i.e. of the type of «Extremum». ■

Литература

1. Кузнецов В. И., Писаренко В. Ф., Родкин М. В. К проблеме классификации катастроф: параметризация воздействий и ущерба // Геоэкология. 1998, № 1. — С. 16–29.

2. Скоробогатов С. М. Живучесть как основы для определения долговечностигибаемых железобетонных конструкций в процессе обследования // Бетон и железобетон, 2006, № 5. — С. 18–22.

3. Скоробогатов С. М. Принцип информационной энтропии в механике разрушения инженерных сооружений и горных пластов. Екатеринбург : УрГУПС, 2000. 419 с.

4. Скоробогатов С. М. Принцип информационной энтропии для описания разрушений в условиях трехразмерности в реальных материалах (бетон, скала) в сооружениях и горных пластах // Международный журнал разрушений // Академические публикации Клувера. Нидерланды : Клувер, 2004, № 128. — С. 335–343.

5. Скоробогатов С. М. Ускоренное обследование устаревших железобетонных виадуков. Ремонт, реновация и усиление бетона // Тр. Международ. семинара при университете в Данди, Шотландия, 5–6 сентября, 2002. Томс Темфорд. — С. 199–206.

6. Скоробогатов С. М. Катастрофы и живучесть железобетонных конструкций (классификация и элементы катастроф). Екатеринбург : Изд-во УрГУПС, 2009. — 511 с. ISBN 978–5–94614–114–7.

References

1. Kuznetsov V. I., Pisarenko V. F., Rodkin M. V. To the problem of classification of catastrophes: parameterization of action and damage // Geocology (in Russian), 1998, № 1. — P. 16–29.

2. Skorobogatov S. M. Serviceability as basis for determination of durability of bending reinforced concrete structures under site inspection // Concrete and reinforced concrete (in Russian), 2006, № 5. — P. 18–22.

3. Skorobogatov S. M. The principle of information entropy in fracture mechanics of buildings and rock seams. — Ekaterinburg, 2000, 419 p.

4. Skorobogatov S. M. The principle of information entropy for the description of fracture at multiple dimensions in real materials (concrete, rock) of buildings and rock seams // International Journal of Fractures, №. 128. P. 335–343. Kluwer Academic Publishers, 2004.

5. Skorobogatov S.M. Accelerated examination of long-standing reinforced concrete viaducts//Repair, rejuvination and enhancement of concrete//Proceedings of the International Seminar held at the University of Dundee, Scotland, UK on 5–6 September, 2002. Thomas Telford. — P. 199–206.

6. Skorobogatov S.M. Catastrophes and serviceability of reinforced concrete buildings (classification and elements of theory). Ekaterinburg : UrGUPS, 2009. — 511 pp.

References (transliteration)

1. Kuznetsov V. I., Pisarenko V. F., Rodkin M. V. K probleme klassifikatsii katastrof: parametrizatsiya vozdeystvij i ushcherba//Geoekologiya. 1998, № 1. — S. 16–29.

2. Skorobogatov S.M. Zhivuchest kak osnovy dlya opredeleniya dolgovechnosti izgibaemykh zhelezobetonnykh konstruksij v protsesse obsledovaniya//Beton i zhelezobeton, 2006, № 5. — S. 18–22.

3. Skorobogatov S.M. Printsip informatsionnoj entropii v mekhanike razrusheniya inzhenernykh sooruzhenij igornykh plastov. Ekaterinburg : UrGUPS, 2000. 419 s.

4. Skorobogatov S.M. Printsip informatsionnoj entropii dlya opisaniya razrushenij v usloviyakh trekhrazmernosti v realnykh materialakh (beton, skala) v sooruzheniyakh i gornyx plastakh//Mezhdunarodnyj zhurnal razrushenij//Akademicheskie publikatsii Klyuvera. Niderlandy: Klyuver, 2004, № 128. — S. 335–343.

5. Skorobogatov S.M. Uskorennoe obsledovanie ustarevshikh zhelezobetonnykh viadukov. Remont, renovatsiya i usilenie betona // Tr. Mezhdunarod. seminara pri universitete v Dandi, Shotlandiya, 5–6 Sentyabrya, 2002. Tomss Temford. — S. 199–206.

6. Skorobogatov S.M. Katastrofy i zhivuchest zhelezobetonnykh konstruksij (klassifikatsiya i elementy katastrof). Ekaterinburg : Izd-vo UrGUPS, 2009. — 511 S. ISBN 978-5-94614-114-7.

Статья сдана в редакцию 1 ноября 2010 г.

ИССЛЕДОВАНИЯ МОЛОДЫХ УЧЕНЫХ

Д. И. Югова

УДК 658.71 (043)

Моделирование продолжительности логистических цепей при организации контейнерных перевозок

D. I. Yugova

UDC 658.71 (043)

Simulation of logistic chains duration at container shipment organization

Аннотация

Рассматривается современное состояние контейнерного рынка уральского региона и предлагается организационно-технологическая схема региональной системы контейнерных перевозок, которая представляет собой совокупность функциональных и обеспечивающих звеньев, интегрированных единым управлением.

Предлагается модель, позволяющая прогнозировать с заданной вероятностью надежность вывода продолжительность логистических цепочек доставки груза в контейнерах. Данная модель учитывает наличие множества альтернативных вариантов организации доставки и вероятностный характер протекания операций. В качестве математического аппарата для разработки модели используется метод статистических испытаний (Монте-Карло).

Ключевые слова:

контейнерные перевозки; логистика; транспортно-логистическая система; логистическая цепь; прогнозирование.

Abstract

There is viewed the modern condition of container market of the Ural region and there is offered the organizational-technological scheme of container shipment regional system that is the complex of functional and protective parts integrated by the unified management.

There is offered the model that allows to forecast with the specified probability the conclusion reliability of cargo delivery logistic chains' duration in containers. The given model takes into account many alternative variants of shipment organization and probabilistic nature of process character. There is used the method of statistical tests (Monte Carlo) as the body of mathematics for model simulation.

Key words:

containers' shipment, logistics, transport-logistics' system, logistics' chain, forecasting.

Дарья Ивановна Югова — аспирант; кафедра «Логистика и коммерция» Уральского государственного университета путей сообщения; Екатеринбург, Россия. E-mail: dana_rich@mail.ru.

Daria Ivanovna Yugova — post-graduate, «Logistics and commerce» Department of the Ural State University of Railway Transport, Ekaterinburg, Russia. E-mail: dana_rich@mail.ru.

В настоящее время одним из самых перспективных направлений развития перевозок является контейнеризация. Использование контейнеров позволяет не только значительно сократить транспортные расходы, но и гарантирует высокую сохранность груза, что является весомым конкурентным преимуществом на современном логистическом рынке [1].

Уральский регион обладает высоким потенциалом в развитии контейнерных перевозок. Это объясняют такие факторы, как транзитное географическое положение региона, высокая концентрация промышленного производства, а также появление на уральском рынке крупных международных компаний и торговых сетей.

Лидером российского рынка контейнерных перевозок (и уральского рынка в частности) является ОАО «ТрансКонтейнер» — дочерняя компания ОАО «РЖД». На балансе ОАО «ТрансКонтейнер» состоит 48 тыс. универсальных контейнеров, 24 тыс. фитинговых платформ и 47 контейнерных терминалов. Основные направления деятельности «ТрансКонтейнер» — предоставление контейнеров и подвижного состава, транспортно-экспедиционное обслуживание клиентов, контроль за использованием контейнеров другими компаниями [2]. Доля перевозок в контейнерах ОАО «ТрансКонтейнер» составляет 64 % от общего объема контейнерных перевозок страны.

ОАО «РЖД» — полноценный участник контейнерного рынка, специализируется, в основном, на отправлениях в малотоннажных контейнерах, а также на мелких и сборных отправлениях крупнотоннажных контейнеров. Для управления контейнерными терминалами в структуре ОАО «РЖД» создана Центральная дирекция по управлению терминально-складским комплексом — филиал ОАО «РЖД».

Среди других участников регионального рынка контейнерных пе-

ревозок — крупные национальные («Русская тройка», «Национальная контейнерная компания», «Северстальтранс») и международные операторы (Maersk Sea Land, Panalpina World Transport), региональные экспедиционные компании («Урал-контейнер», «Транспортная компания «Контейнерный сервис»), а также автомобильные перевозчики (например, «Автоколонна-1212»).

В целом, по оценкам экспертов, на уральском контейнерном рынке работают до 80 различных по величине логистических компаний, 10 из них обладают собственным контейнерным парком [4].

В современных условиях важным аспектом развития регионального рынка контейнерных перевозок становится интеграция участников перевозочного процесса на взаимовыгодной основе, формирование единого информационного пространства и развитие транспортной инфраструктуры. Идея интеграции является ключевой для многих теоретических исследований в области логистики и развивается в понятиях транспортно-логистической системы, комплекса, кластера [5–11].

Наиболее близкое автору понятие транспортно-логистической системы раскрывается в работе [11]: «Региональная логистическая транспортно-распределительная система представляет собой совокупность логистических функциональных и обеспечивающих подсистем региональной товаропроводящей сети, состоящей из звеньев, интегрированных материальными и сопутствующими потоками для получения максимального синергетического эффекта на основе установления партнерских отношений между участниками транспортно-логистического процесса».

Приведем авторское графическое и вербальное представление региональной транспортно-логистической системы контейнерных перевозок.

На рис. 1 представлена схема транспортно-логистической системы (сети) контейнерных перевозок в Уральском регионе, которая состоит из некоторого ядра, представляющего собой сеть транспортно-логистического грузодвижения и окружения ядра обеспечивающего его функционирование [12, 13].

Функциональное ядро системы включает объекты, выполняющие основной вид деятельности. К ним относятся владельцы инфраструктуры (контейнерного парка, терминалов, подвижного состава), перевозчики (ОАО «РЖД» и автотранспортные предприятия), а также предприятия, оказывающие транспортно-экспедиторские услуги.

Обслуживающая подсистема объединяет объекты, наличие которых обязательно, но их деятельность не всегда напрямую связана с организацией контейнерных перевозок. Подсистема автомобильного обслуживания выполняет функцию внутритехнологических перевозок. К другим обслу-

живающим предприятиям относятся страховые компании, таможенные брокеры, ремонтные депо и др.

Особо следует выделить системного интегратора как координатора всех субъектов участвующих в процессе организации контейнерных перевозок в регионе. В качестве интегратора может выступать региональный логистический центр, созданный на основе партнерских соглашений между участниками рынка. Цель выделения такой структуры — не увеличение прибыли отдельных звеньев, а достижение максимального синергетического эффекта от функционирования системы в целом [10–12].

Региональная транспортно-логистическая система контейнерных перевозок обеспечивает связь потребителей и отправителей региона с потребителями и отправителями других регионов и координирует как входящие, так и выходящие грузопотоки. В связи с этим целесообразно биполярное представление системы (см. рис. 1).

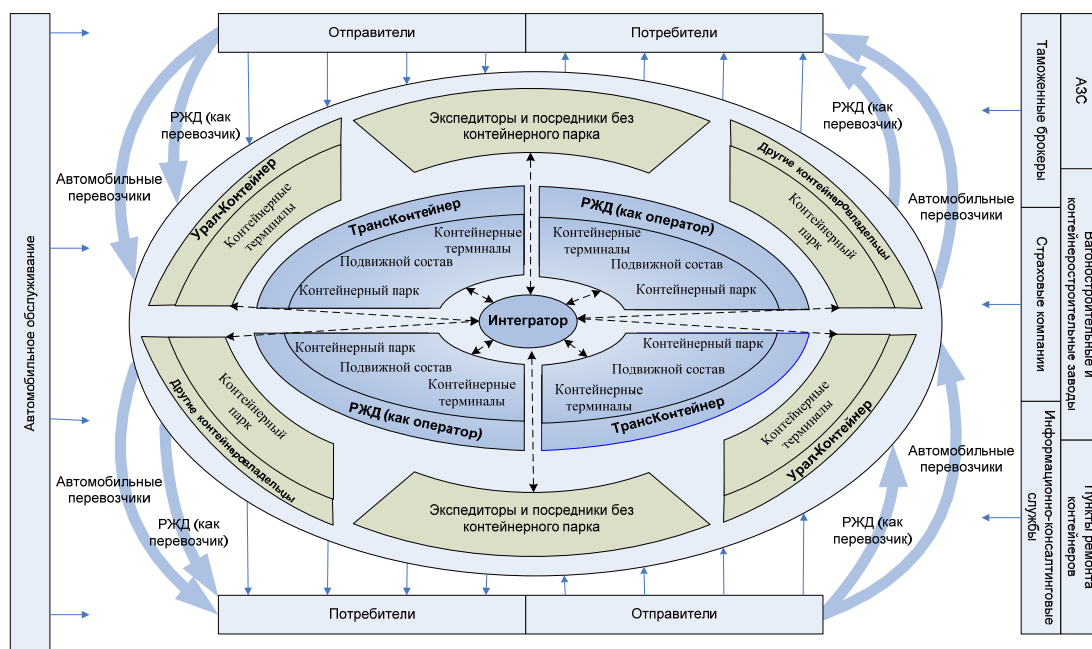


Рис. 1. Региональная организационно-технологическая схема транспортно-логистической системы контейнерных перевозок

На основе определений, приведенных в работах [7,11,12], и авторского графического представления региональной организационно-технологической схемы контейнерных перевозок сформулируем авторское определение региональной транспортно-логистической системы контейнерных перевозок.

Региональная транспортно-логистическая система контейнерных перевозок — это совокупность функциональных и обеспечивающих элементов системы, взаимодействующих между собой и интегрированных единым управлением для достижения максимального синергетического эффекта, совместно участвующих в продвижении генерируемых в регионе, поступающих в регион и транзитных контейнеропотоков.

На предложенной организационно-технологической схеме транспортно-логистической сети контейнерных перевозок (см. рис. 1) можно проложить множество логистических цепочек доставки грузов и оборота контейнеров.

На рис. 2 показан фрагмент множества альтернативных логистических цепей доставки контейнеров.

Выбор звеньев логистической цепи зависит от объемов перевозок, наличия подъездных путей к месту выгрузки (погрузки) контейнеров, объемов контейнерных терминалов, наличия погрузочно-разгрузочных машин и их производительности и т. д.

Сегодня экспедиторские фирмы в своей практической деятельности при определении стоимости и продолжительности доставки контейнеров опираются, в основном, на результаты расчетов, выполненных с помощью автоматизированной системы «Этран» [14]. В программу вносятся данные, соответствующие заявке клиента (характеристика груза, тип контейнера, наименование станции отправления и назначения и другая информация). Система в автоматическом режиме выдает оперативные документы (вагонные листы, наряды на завоз-вывоз контейнеров, наряды крановщику) и рассчитывает провозную плату. На основе участковой нормативной скорости движения поездов программа определяет продолжительность доставки контейнеров, а также учитывает суммарное время на другие операции (добавляет как нормативное время на операции), связанные с отправлением и прибытием.

Однако, как показывает опыт организации контейнерных перевозок, продолжительность работы, выделенной в отдельное звено логистической цепи, величина случайная. Значит, и фактическая продолжительность доставки контейнера также является величиной случайной.

Таким образом, возникает насущная проблема разработки имитационной модели доставки грузов в кон-

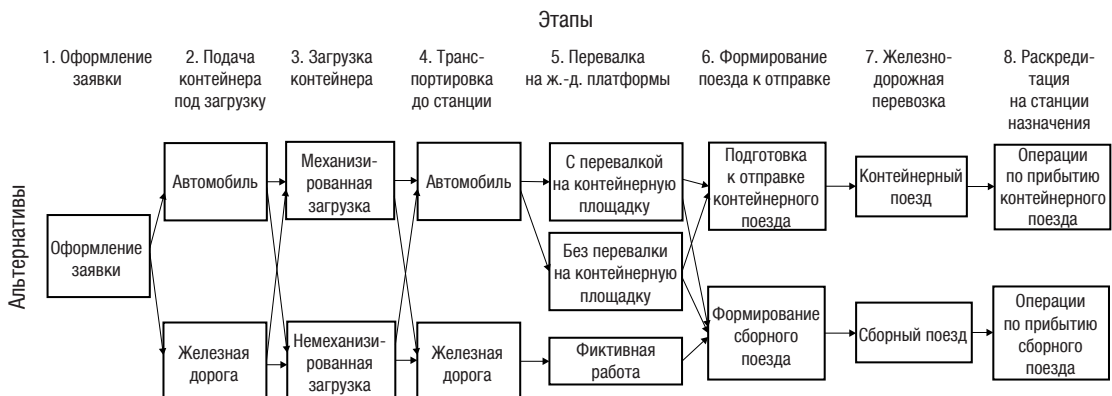


Рис. 2. Варианты организационных схем контейнерных перевозок (фрагмент)

тейнерах, позволяющая прогнозировать с заданной вероятностью надежности вывода продолжительность логистических цепочек, то есть время доставки груза «от двери до двери».

При разработки имитационной модели в качестве математического аппарата может быть использован метод статистических испытаний (Монте-Карло). На рис. 3 представлен гипотетический граф логистических цепочек состоящей из $n = 12$ звеньев при наличии m_i альтернативных работ на каждом звене, где на вершинах расположены альтернативные операции (звенья) организации доставки, а стрелками обозначены связи между последовательными опера-

циями. Продолжительность операций t_{ij} представлена вариационным рядом из N наблюдений.

Число альтернативных цепочек ограничивается матрицей связности вида

$$A = (a_{ij}^{ij}),$$

где $a_{ij}^{ij} = 1$ (связь между операциями есть), $a_{ij}^{ij} = 0$ (связь отсутствует). Для нашего примера матрица связности примет вид (табл. 1).

В результате обработки статистических данных региональных контейнерных операторов были установлены законы распределения продолжительностей операций, входящих

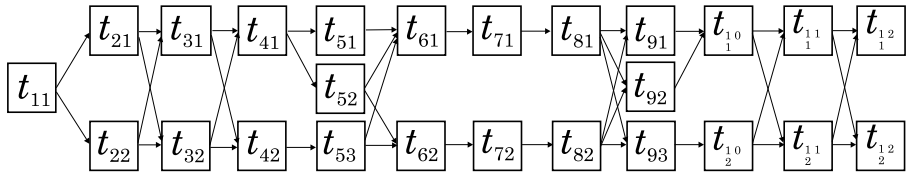


Рис. 3. Граф альтернативных логистических цепочек (фрагмент)

Таблица 1

Матрица связности для графа логистических цепей

1.1.	0	1	1	0	0	0	0	0	0	0	0	0	0	0	0	0	0	0	0	0	0	0	0		
2.1.	1	0	0	1	1	0	0	0	0	0	0	0	0	0	0	0	0	0	0	0	0	0	0		
2.2.	1	0	0	1	1	0	0	0	0	0	0	0	0	0	0	0	0	0	0	0	0	0	0		
3.1.	0	1	1	0	0	1	1	0	0	0	0	0	0	0	0	0	0	0	0	0	0	0	0		
3.2.	0	1	1	0	0	1	1	0	0	0	0	0	0	0	0	0	0	0	0	0	0	0	0		
4.1.	0	0	0	1	1	0	0	1	1	0	0	0	0	0	0	0	0	0	0	0	0	0	0		
4.2.	0	0	0	1	1	0	0	0	0	1	0	0	0	0	0	0	0	0	0	0	0	0	0		
5.1.	0	0	0	0	0	1	0	0	0	0	1	0	0	0	0	0	0	0	0	0	0	0	0		
5.2.	0	0	0	0	0	1	0	0	0	0	1	1	0	0	0	0	0	0	0	0	0	0	0		
5.3.	0	0	0	0	0	0	1	0	0	0	1	1	0	0	0	0	0	0	0	0	0	0	0		
6.1.	0	0	0	0	0	0	0	1	1	1	0	0	1	0	0	0	0	0	0	0	0	0	0		
6.2.	0	0	0	0	0	0	0	0	1	1	0	0	0	1	0	0	0	0	0	0	0	0	0		
7.1.	0	0	0	0	0	0	0	0	0	0	0	0	0	0	1	0	0	0	0	0	0	0	0		
7.2.	0	0	0	0	0	0	0	0	0	0	0	0	0	0	0	1	0	0	0	0	0	0	0		
8.1.	0	0	0	0	0	0	0	0	0	0	0	0	0	0	0	0	1	1	1	0	0	0	0		
8.2.	0	0	0	0	0	0	0	0	0	0	0	0	0	0	0	0	1	1	1	0	0	0	0		
9.1.	0	0	0	0	0	0	0	0	0	0	0	0	0	0	0	0	0	0	0	1	0	0	0		
9.2.	0	0	0	0	0	0	0	0	0	0	0	0	0	0	0	0	0	0	1	0	0	0	0		
9.3.	0	0	0	0	0	0	0	0	0	0	0	0	0	0	0	0	0	0	0	0	1	0	0		
10.1.	0	0	0	0	0	0	0	0	0	0	0	0	0	0	0	0	0	0	0	0	0	1	1		
10.2.	0	0	0	0	0	0	0	0	0	0	0	0	0	0	0	0	0	0	0	0	0	1	0		
11.1.	0	0	0	0	0	0	0	0	0	0	0	0	0	0	0	0	0	0	0	0	0	0	1		
11.2.	0	0	0	0	0	0	0	0	0	0	0	0	0	0	0	0	0	0	0	0	0	0	1		
12.1.	0	0	0	0	0	0	0	0	0	0	0	0	0	0	0	0	0	0	0	0	1	1	0		
12.2.	0	0	0	0	0	0	0	0	0	0	0	0	0	0	0	0	0	0	0	0	1	1	0		
	1.1.	2.1.	2.2.	3.1.	3.2.	4.1.	4.2.	5.1.	5.2.	5.3.	6.1.	6.2.	7.1.	7.2.	8.1.	8.2.	9.1.	9.2.	9.3.	10.1.	10.2.	11.1.	11.2.	12.1.	12.2.

в логистическую цепь доставки контейнера.

В таблице 2 приведены выражения для определения продолжительности операций, полученные на основе рассчитанных статистических характеристик.

Общая модель расчета продолжительности логистических цепочек формируется с учетом ограничений связности. Алгоритм расчета представлен на рис. 4.

Далее, в соответствии с приведенным алгоритмом расчеты продолжительности каждой альтернативной цепочки повторяются N раз. На рис. 5 представлен фрагмент работы алгоритма.

После заданного числа испытаний можем определить математическое ожидание времени по каждой логистической цепочке.

С заданной вероятностью надежности вывода определяются оптимистическая и пессимистическая продолжительности выбранной логистической цепочки:

$$T_{\min, \max} = T_{\text{ср.}} \pm \lambda \sigma,$$

где $T_{\text{ср.}} = \sum_1^N T_i$ — математическое ожидание; σ — среднее квадратическое отклонение; λ — нормирующий множитель.

Таблица 2

Расчет продолжительности операций логистических цепочек

Операция	Продолжительность операции, сут
Оформление заявки	$t_{11} = 2,4631 \cdot e^{0,1542 \cdot \left(\sum_1^{12} Z - 6 \right)}$
Подача под загрузку контейнера автотранспортом	$t_{21} = \frac{l_{21}}{ 1100,4 \cdot \ln Z },$ l_{21} — расстояние автомобильной перевозки от терминала до склада погрузки
Механизированная загрузка среднетоннажного контейнера	$t_{31} = 0,0196 + 0,004 \cdot Z$
Немеханизированная загрузка среднетоннажного контейнера	$t_{32} = 0,0803 + 0,013 \cdot Z$
Транспортировка автотранспортом груженого контейнера до станции	$t_{41} = \frac{l_{41}}{ 1250,6 \cdot \ln Z },$ l_{42} — расстояние автомобильной перевозки от склада погрузки до станции отправления
Перевалка контейнера на железнодорожную платформу	$t_{51} = 0,0208 \cdot \sigma Z$
Железнодорожная перевозка (сборная отправка)	$t_{71} = \frac{l_7}{249,67 + e^{0,1968 \cdot \left(\sum_1^{12} Z - 6 \right)}}$
Железнодорожная перевозка (маршрутная отправка)	$t_{72} = \frac{l_7}{980,45 + 15,13 \cdot Z},$ l_7 — расстояние железнодорожной перевозки от станции отправления до станции назначения

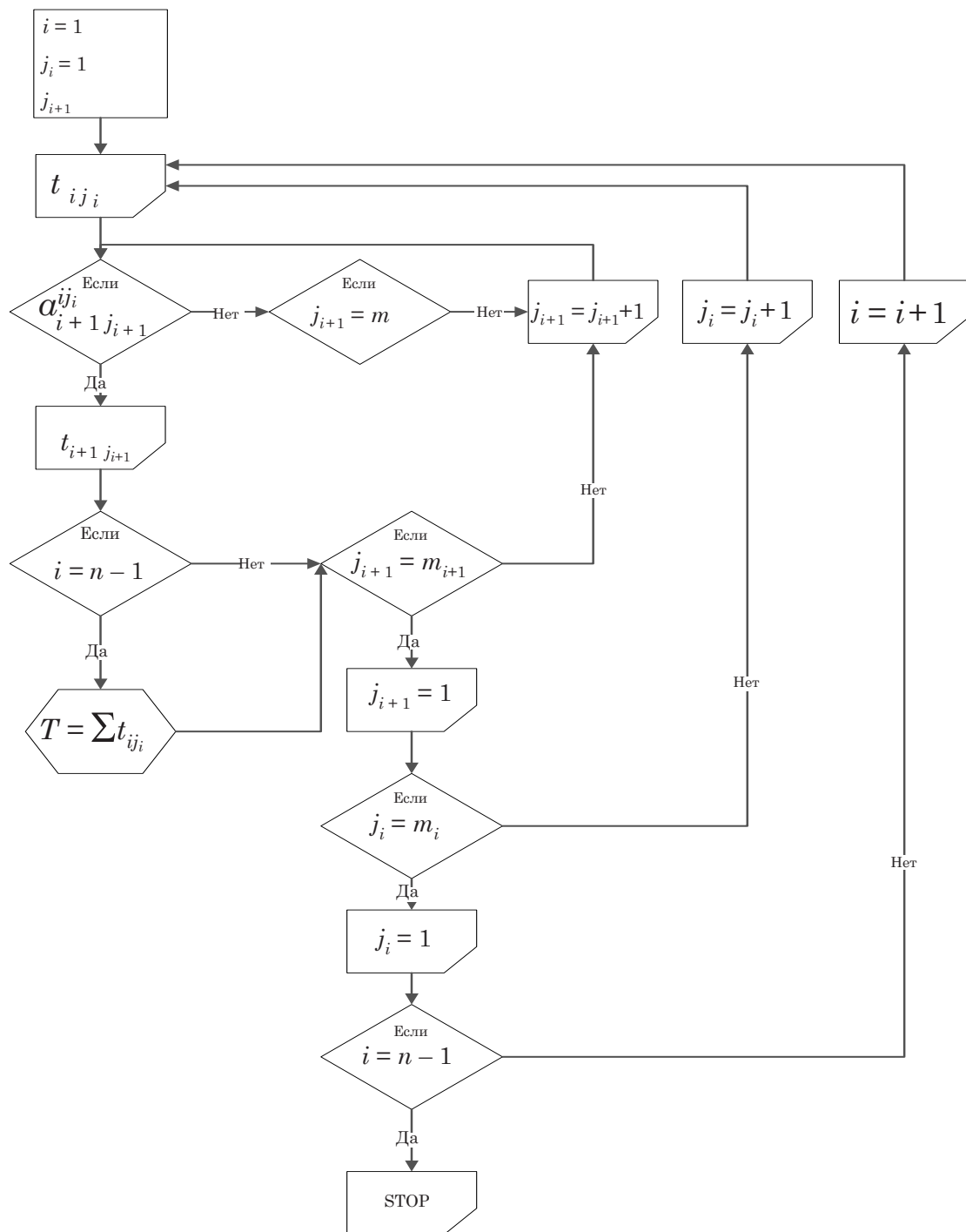


Рис. 4. Алгоритм расчета продолжительности логистических цепочек
 i — номера этапов, $i = 1, n$; j_i — номера операций на i -м этапе, $j_i = 1, m_i$

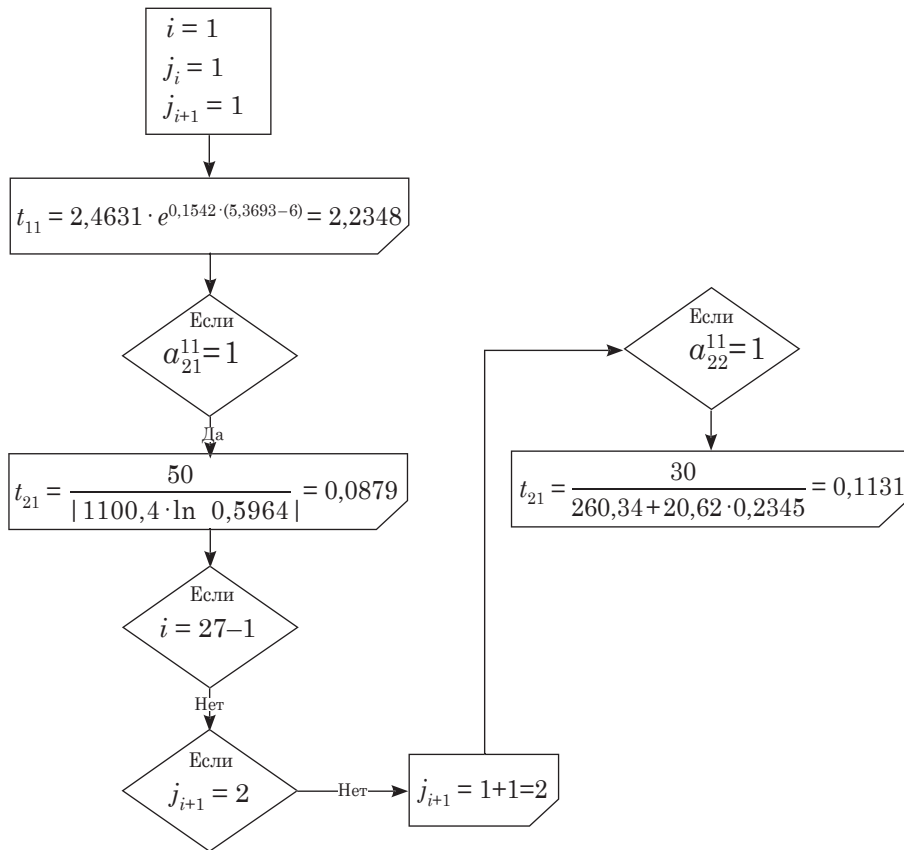


Рис. 5. Фрагмент работы алгоритма

$$\sigma = \sqrt{\frac{\sum (T_{\text{ср}} - T_i)^2}{N-1}}.$$

Таким образом, с заданной вероятностью надежности вывода можем прогнозировать, что T_i логистическая цепочка доставки контейнера «от двери до двери» не превысит T_{max} сут. При благоприятных условиях доставка может быть завершена через T_{min} сут.

Данная модель прогнозирования продолжительности логистических цепочек позволит обоснованно планировать оборот контейнеров и более эффективно управлять контейнерным парком. Кроме того, на основе данной модели могут быть выявлены наиболее эффективные, с точки зрения продолжительности, варианты организации доставки. ■

Литература

1. Николашин В.М. Логистические транспортно-грузовые системы. — М : Изд. центр «Академия». — 2003. — 304 с.
2. Официальный сайт ОАО «ТрансКонтейнер» www.trcont.ru.
3. Официальный сайт ОАО «РЖД». www.rzd.ru.
4. Официальный сайт ЗАО «Урал-Контейнер». www.ucont.ru.
5. Москвичев О.В. Кластерная политика в повышении конкурентоспособности контейнерно — транспортной системы страны // Транспорт: наука, техника, управление, 2009. № 1. — С. 28–31.

6. Николашин В.М. Логистические принципы контейнерных перевозок и оптимизация цепей поставок товаров // Транспорт: наука, техника, управление. — М. : ВНИТИ РАН, 2009, № 1. — С. 28–31.
7. Шатилов С.В. Международные интермодальные контейнерные перевозки // Железнодорожный транспорт, 2009, № 2. — С. 20–24.
8. Прокофьева Т.А. Логистические центры в системе транспортно-экспедиционного обслуживания. — М. : Интекст. — 2003 г.
9. Резер С.М. Логистические центры как организационная основа новых форм взаимодействия // Железнодорожный транспорт, 2007, № 6. — С. 44–47.
10. Резер С.М. Новые формы взаимодействия железной дороги и портов на базе логистических центров // Транспорт: наука, техника, управление: Сборник обзорной информации, 2007, № 8. — С. 37–39.
11. Сергеев В.И. Корпоративная логистика. 300 ответов на вопросы профессионалов. — М. : ИНФРА-М, 2008.
12. Сай В.М. Планетарные структуры управления железнодорожным транспортом // Транспорт, наука, техника, управление. — М. : ВНИТИ РАН, № 4, 2002. — С. 8–18.
13. Сай В.М. Планетарная структура: корпоративные варианты // Мир транспорта, 2003, № 1. — С. 96–102.
14. Ушенин Е. Связанные одной сетью // РЖД-Партнер, 2008, № 15 (139). — С. 35–39.

References

1. Nikolashin V.M. Logistic transport and freight systems. — Publishing house «Academy», 2003, 304p.
2. The official web-site of JSC «TransContainer». www.trcont.ru.
3. The official web-site of JSC «Russian Railways». www.rzd.ru.
4. The official web-site of «Ural-Container» close corporation. www.ucont.ru.
5. Moskvichev O.V. Cluster policy in the increase of competitiveness of country container and transportation system // Transport: science, engineering, management. — М. : VINITI RAN, 2009, № 1. — P. 28–31.
6. Nikolashin V.M. Logistic principles of container transportation and optimization of products' delivery chains // Transport: science, engineering, management. — М. : VINITI RAN, 2009, № 1. — P. 28–31.
7. Shatilov S.V. International intermodal container transportation // Railway transport, 2009, № 2. — P. 20–24.
8. Prokofjeva T.A. Logistic centers in the system of transport and dispatch service. — М. : Intext, 2003.
9. Rezer S.M. Logitic centers as organizational basis of new interaction forms // Railway transport, 2007, № 6. — P. 44–47.
10. Rezer S.M. New forms of interaction of railway and ports on the basis of logistic centers // Transport: science, engineering, management: Collection of review information, 2007, № 8. — P. 37–39.
11. Sergeev V.I. Corporate logistics. 300 answers to professionals' questions. — М. : INFRA-M, 2008.
12. Say V.M. Planetary structures of railway transport control // Transport: science, engineering, management. — М. : VINITI RAN, № 4, 2002. — P. 8–18.
13. Say V.M. Planetary structure: corporate variants // World transport, 2003, № 1. — P. 96–102.
14. Ushenin E. Connected by one network // Russian Railways—Partner, 2008, № 15 (139). — P. 35–39.

References (transliteration)

1. Nikolashin V.M. Logisticheskie transportno-gruzovye sistemy. — М. : Izdatelskij Tsentr «Akademiya». — 2003. — 304 p.
2. Ofitsialnyj sajt OAO «TransKontejner». www.trcont.ru.
3. Ofitsialnyj sajt OAO «RZhD». www.rzd.ru.
4. Ofitsialnyj sajt ZAO «Ural-Kontejner». www.ucont.ru.

5. Moskvichev O. V. Klasternaya politika v povyshenii konkurentosposobnosti kontejnerno — transportnoj sistemy strany // Transport: nauka, tehnika, upravlenie, 2009, № 1. — P. 28–31.
6. Nikolashin V. M. Logisticheskie printsiipy kontejnernykh perevozok i optimizatsiya tsepej postavok tovarov // Transport: nauka, tehnika, upravlenie. — M. : VINITI RAN, 2009, № 1. — P. 28–31.
7. Shatilov S. V. Mezhdunarodnye intermodalnye kontejnernye perevozki // Zheleznodorozhnyj transport, 2009, № 2. — P. 20–24.
8. Prokofjeva T. A. Logisticheskie tsentry v sisteme transportno-ekspeditzionnogo obsluzhivaniya. — M. : INTEKST, 2003.
9. Rezer S. M. Logisticheskie tsentry kak organizacionnaya osnova novykh form vzaimodejstviya // Zheleznodorozhnyj transport, 2007, № 6. — P. 44–47.
10. Rezer S. M. Novye formy vzaimodejstviya zheleznoj dorogi i portov na baze logisticheskikh tsentrov // Transport: nauka, tehnika, upravlenie. Sbornik obzornoj informatsii, 2007, № 8. — P. 37–39.
11. Sergeev V. I. Korporativnaya logistika. 300 otvetov na voprosy professionalov. — M. : INFARM, 2008.
12. Say V. M. Planetarnye struktury upravleniya zheleznodorozhnym transportom // Transport: nauka, tehnika, upravlenie. — M. : VINITI RAN, № 4, 2002. — P. 8–18.
13. Say V. M. Planetarnaya struktura: korporativnye varianty // Mir transporta, 2003, № 1. — P. 96–102.
14. Ushenin E. Svyazannye odnoj setyu // R ZhD-Partner, 2008, № 15 (139). — P. 35–39.

Статья сдана в редакцию 18 ноября 2010 г.

ИНТЕЛЛЕКТУАЛЬНАЯ СОБСТВЕННОСТЬ

Патент № 2386552

Патентообладатель: Уральский государственный университет путей сообщения

Авторы: **Ефимов А. В., Галкин А. Г., Паранин А. В.**

Устройство для подавления автоколебаний контактной подвески

Изобретение относится к устройствам электроснабжения транспортных средств, содержащим контактные провода, вспомогательные устройства для них, устройства демпфирования механических колебаний проводов.

Цель изобретения — повышение эффективности подавления автоколебаний контактной подвески.

Практическая актуальность

Предлагаемое устройство позволяет повысить эффективность подавления автоколебаний контактной подвески за счет использования аэродинамического стабилизатора, представляющего собой объемную узкую

длинную пластину высотой 0,5–1 диаметра провода, состоящего из двух частей, герметично соединенных друг с другом; нижняя часть имеет вогнутую форму, верхняя часть — плоскую форму. Внутри нижней части аэродинамического стабилизатора по всей длине установлены на равном расстоянии друг от друга поперечные ребра, прикрепленные к верхнему краю нижней части.

Ожидаемый результат

Использование данного устройства снизит интенсивность автоколебаний контактной подвески, что позволит пропускать поезда по данному участку без задержки в период «пляски» цепной подвески.

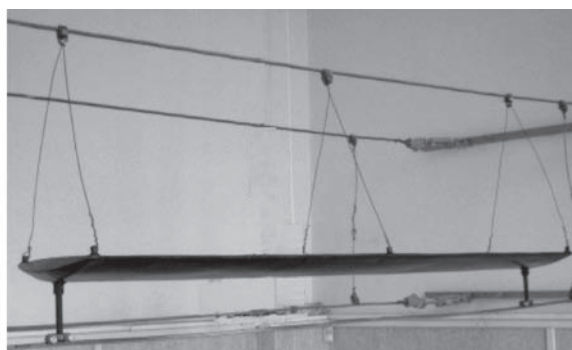
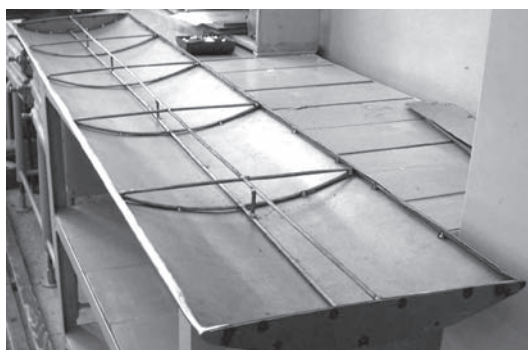


Рис. 1. Схема устройства для подавления автоколебаний контактной подвески

Патент № 2385812

Патентообладатель: Уральский государственный университет путей сообщения

Авторы: **Туранов Х. Т., Сумный А. Ю., Тимухина Е. Н.**

Устройство для проверки надежности креплений груза в железнодорожном вагоне

Изобретение относится к испытательной технике для железнодорожных транспортных средств, приспособленных для грузовых перевозок, а именно: к креплению грузов на транспортных средствах, например, на открытом железнодорожном подвижном составе.

Цель изобретения — ускорить, упростить и удешевить процесс испытания надежности креплений груза в вагоне при сдвиге груза поперек вагона.

Практическая актуальность

Для простоты контроля, ускорения и удешевления испытаний креплений грузов на вагоне вводят искусственно созданные поперечные переносные силы инерции, воздействующие на крепление груза посредством вращающейся фермы. Для этого в качестве приводного механизма фермы используют два противоположно направленных пневмоцилиндра, обеспечивающих угловое ускорение фермы не менее $12,82 \text{ рад/с}^2$, причем на круговом рельсовом пути устанавливают упоры, выполненные в виде подпятников, снабженных пружинами, предварительно сжатыми болтовыми соединениями, а колеса, прокатывающиеся по круговому рельсовому пути, оборудованы тормозными устройствами.

Ожидаемый результат

Использование предлагаемого устройства позволит проводить испытания надежности крепления груза в вагоне при сдвиге груза поперек вагона на стационарной установке, многократно повторять их, не выбирая на железной дороге специальные участки пути, имеющие несколько кривых участков с радиусом кривизны 350 м, не занимать перегоны железнодорожного пути, сократить материальные, временные и энергетические затраты. ■

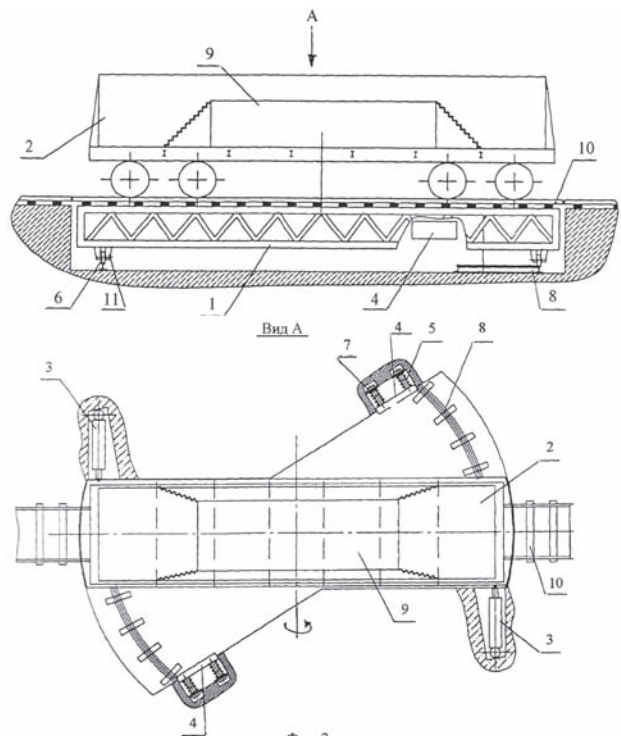


Рис. 1. Схема устройства для проверки надежности крепления груза в вагоне

Уважаемые коллеги!

Информирую вас о требованиях, предъявляемых к оформлению статей.

При наборе используйте Word-2003 или Word-2007; шрифт (по всему тексту, в том числе в рисунках и таблицах) — тип Times, размер шрифта — 14, межстрочное расстояние — 1,5, абзацный отступ — 1,25 (1,27) см, поля — 2 см; расстановка переносов по всему тексту — автоматическая.

Набор формул: простые формулы и сочетания символов ($x^2 < y^2$; $E = mc^2$; $a^2 + b^2 = c^2$; Q_{i-1} ; Ψ) — только в текстовом режиме, сложные

$$(s^2 = \frac{1}{n-1} \left[\sum_{j=1}^e x_j^2 n_j - \frac{1}{n} \left(\sum_{j=1}^e x_j n_j \right)^2 \right]; \left(\frac{\sigma_a}{[n]} \right)$$

или S_i^m) — только в редакторе формул (встроен в Word).

Написание букв: русские (а, б, в, А, Б, В), греческие (Θ, Σ, Ω, Ψ, α, β, δ, ε, λ, π), а также цифры и функции (1, 2, 3; I, II, III; max, lg, sin и т.п.) пишутся только прямо; латинские (a, b, n, A, B, N и т.д.) — только курсивом. Исключение — курсив во вспомогательном тексте (слова «Таблица» и «Рис.», примечания в рисунках и ссылки в тексте на эти примечания).

Оформление текста: левый верхний край — инициалы, фамилия; заголовков — все буквы ПРОПИСНЫЕ, жирные, расположение — по центру набора; таблиц и рисунков: в таблицах размер шрифта — на полтора-два размера меньше, чем в основном тексте (11,5–12), расположение текста в «шапке» таблицы — по центру, в столбцах — по ширине; межстрочное расстояние — 1; слово «Таблица» — курсивное начертание, в правый край таблицы; название таблицы — начертание нормальное (прямое), расположение — по центру таблицы. В рисунках (графиках, диа-

граммах): размер подрисовочной подписи — 14, расположение — по центру набора, слово «Рис.» — курсив, название рисунка — нормальное начертание, описание рисунка (экспликация) — нормальное начертание, условные обозначения — курсивное начертание, их расшифровка — нормальное. Расположение таблиц и рисунков — строго после ссылки на них.

Кроме того, рисунки обязательно прилагаются к материалу (один рисунок — один файл; формат — *.jpg).

Ссылки на литературу в тексте пишутся в квадратных скобках ([1], [1, 2] или [3–5]); нумерация сквозная. Список литературы/источников оформляется по ГОСТ 7.0.5–2008.

В конце статьи обязательно ставится дата отсылки материала в редакцию.

Объем статьи — не более 14-ти страниц.

Название файла: Фамилия. Первое слово заголовка. Многоточие. Последнее слово заголовка (Сидоров. Синтез... электроприводом).

К материалу (статье) обязательно прилагаются (отдельным файлом): УДК, сведения об авторе, аннотация, ключевые слова (название файла: УДК 000. Сидоров. Синтез... электроприводом).

Материалы для очередного номера журнала «Вестник УрГУПС» принимаются до 30 числа первого месяца квартала (до 30-го января, 30-го апреля, до 30-го июля, до 30-го октября). Материалы, поступившие в редакцию после 30-го числа, будут опубликованы только в следующем номере.

Успешной работы!

*Л. Барышникова,
литературный и выпускающий
редактор журнала «Вестник УрГУПС»*

